

PLAN REGULADOR COMUNAL DE CUREPTO

ESTUDIO DE RIESGOS



RODRIGO RAULD P.
GEÓLOGO
UNIVERSIDAD DE CHILE

RESUMEN

En el marco de la actualización del Plan Regulador Comunal de Curepto, se han revisado en el área urbana de Curepto y de Gualleco una serie de estudios científicos y antecedentes proporcionados por el mandante, además de incorporar información posterior al terremoto del 27 de febrero de 2010 y observaciones de terreno.

En este estudio se evaluó la ocurrencia de los procesos geológicos internos de la tierra (endógenos), que incluyen sismicidad y volcanismo, y los procesos geológicos externos (exógenos) que corresponden a inundaciones y remociones en masa. Para esto se realizó una línea base geológica y geomorfológica (a escala 1:5.000), una visita a terreno, un catastro de peligros histórico a partir de publicaciones científicas, y analizando los factores condicionantes y desencadenantes de los peligros analizados. A partir de esta información se generaron mapas de susceptibilidad para cada uno de los peligros zonificables a escala 1:5.000.

Debido a que la comuna de Curepto está ubicada sobre el área de ruptura del sismo del 27 de Febrero de 2010, no se espera que se produzca un terremoto de subducción de magnitud $M_w > 8$ con ruptura frente a la latitud de Curepto en los próximos 100 años. Sin embargo, la zona puede encontrarse dentro del área de influencia de terremotos cuyas zonas de ruptura se ubiquen más al Norte o más al Sur, o verse afectada por sismos superficiales asociados a zonas de falla no mapeadas o reconocidas al momento de la realización de este estudio.

Por otro lado, el área de estudio está ubicada a más de 130 km de distancia del arco volcánico actual, por lo que no está influenciada directamente por el peligro volcánico de coladas de lava y flujos piroclásticos. Sin embargo, el peligro asociado a volcanismo que podría afectar el área de estudio, aunque con una probabilidad muy baja, es la caída de tefra producto de la erupción de alguno de los volcanes activos ubicados entre los 33° y los 40°S.

Se reconoció además, los peligros de deslizamientos y caída de bloques. Se determinó que la ocurrencia de estos peligros es en zonas de altas pendientes, y se encuentran asociados principalmente a los intensos procesos de meteorización que presentan los materiales geológicos del área. Esta situación puede verse intensificada producto de la acelerada intervención antrópica de las laderas, esto es, la deforestación producida por la industria forestal en el área de estudio.

Los peligros de inundación por desborde de cauces naturales se asocian principalmente a los esteros principales, y en menor medida a las quebradas que drenan hacia ellos. Peligros de Anegamiento se reconocen en sectores deprimidos, algunos de origen natural y otros de origen antrópico.

Las principales recomendaciones de este estudio son: implementar un sistema de alerta temprana y planes de evacuación ante eventos de precipitaciones intensas que puedan generar inundaciones; controlar el escurrimiento de aguas superficiales, su intercepción, captación, conducción y descarga controlada hacia cauces establecidos, garantizando que tengan un diseño adecuado para periodos de retorno mayores a 10 años. Se recomienda, además, zonificar como no edificables los sectores ubicados sobre zonas de susceptibilidad muy alta y alta de generación de deslizamientos y caída de bloques y las zonas de susceptibilidad alta de alcance de estos fenómenos, además de capacitar a la población con respecto a los peligros geológicos.

ÍNDICE DE CONTENIDOS

1. INTRODUCCIÓN.....	6
1.1 Ubicación Área de Estudio.....	6
1.2 Objetivos.....	6
1.3 Alcance y limitaciones.....	8
1.4 Marco Jurídico.....	8
1.5 Aspectos Metodológicos.....	9
1.5.1 Elaboración de la línea de base geológica y geomorfológica.....	10
1.5.2 Visita técnica al área de estudio.....	11
1.5.3 Catastro de información relevante para los Peligros Geológicos en el área de estudio.....	14
2. MARCO CONCEPTUAL.....	16
2.1 Peligros Geológicos en Chile.....	16
2.2 Conceptos de Susceptibilidad, Peligros Geológicos y Riesgo.....	17
3. MARCO GEOLÓGICO Y GEOMORFOLÓGICO.....	19
3.1 Marco Geodinámico.....	19
3.2 Marco Geomorfológico.....	20
3.3 Marco Geológico.....	28
3.3.1 Unidades de Roca.....	28
3.3.2 Depósitos No Consolidados.....	31
4. DESCRIPCIÓN Y CATASTRO DE INFORMACIÓN HISTÓRICA Y PREHISTÓRICA DE LOS RIESGOS NATURALES ANALIZADOS EN EL ÁREA DE ESTUDIO.....	33
4.1 Procesos Internos o Endógenos de la Tierra – SISMICIDAD.....	33
4.1.1 Descripción del Peligro Geológico.....	33
4.1.2 Resultados del Catastro de Información Histórica de Sismicidad.....	39
4.2 Procesos Internos o Endógenos de la Tierra – VOLCANISMO.....	50
4.2.1 Descripción del Peligro Geológico.....	50
4.2.2 Resultados del Catastro de Información Histórica de Volcanismo.....	53
4.3 Procesos Externos o Exógenos de la Tierra – INUNDACIONES.....	56
4.3.1 Descripción del Peligro Geológico.....	56
4.3.2 Resultados del Catastro de Información Histórica de Inundaciones.....	59
4.4 Procesos Externos o Exógenos de la Tierra – REMOCIONES EN MASA.....	61
4.4.1 Descripción del Peligro Geológico.....	61
4.4.2 Resultados del Catastro de Información Histórica de Remociones en Masa.....	66

5. DIAGNÓSTICO Y ZONIFICACIÓN DE SUSCEPTIBILIDAD A LOS RIESGOS NATURALES QUE PUEDEN AFECTAR EL ÁREA DE ESTUDIO	68
5.1 Peligros No Zonificables	68
5.1.1 Peligro Sísmico	68
5.1.2 Peligro Volcánico	68
5.2 Peligros Zonificables	71
5.2.1 Peligro de Inundaciones	71
5.2.2 Peligro de Remociones en Masa	74
6. SÍNTESIS DE LOS RIESGOS NATURALES ANALIZADOS EN EL ÁREA DE ESTUDIO	78
7. RECOMENDACIONES	85
8. REFERENCIAS	87

INDICE DE FIGURAS

FIGURA Nº 1-1 Ubicación del área de estudio	7
FIGURA Nº 1-2 Puntos de control visita técnica del 29 de Marzo del 2011, localidad de Curepto	12
FIGURA Nº 1-3 Puntos de control visita técnica del 29 de Marzo del 2011, localidad de Gualleco ...	13
FIGURA Nº 2-1 Etapas de la evaluación de un evento geológico peligroso	18
FIGURA Nº 3-1 Vista en 3D donde se representa el marco geodinámico, se aprecia la Dorsal de Juan Fernández y el lugar donde es subductada frente a los 33º S. La línea verde señala la fosa, lugar donde subducta la placa de Nazca bajo la placa Sudamericana, las flechas muestran las direcciones y velocidades de convergencia entre ambas placas	20
FIGURA Nº 3-2 Carta de elevaciones y principales unidades morfoestructurales en el área de estudio	21
FIGURA Nº 3-3 Carta de elevaciones de la localidad de Curepto	22
FIGURA Nº 3-4 Carta de elevaciones de la localidad de Gualleco	23
FIGURA Nº 3-5 Carta de pendientes de la localidad de Curepto	24
FIGURA Nº 3-6 Carta de pendientes de la localidad de Gualleco	25
FIGURA Nº 3-7 Carta de exposición de ladera para la localidad de Curepto	26
FIGURA Nº 3-8 Carta de exposición de ladera para la localidad de Gualleco	27
FIGURA Nº 3-9 Afloramiento de basamento metamórfico, con desarrollo de meteorización en el límite sur de Curepto	28
FIGURA Nº 3-10 Mapa Geológico del área urbana de Curepto	29
FIGURA Nº 3-11 Mapa Geológico del área urbana de Gualleco	30
FIGURA Nº 4-1 Sismicidad mundial entre los años 1980 y 1990, se representan en puntos rojos los epicentros con magnitud >5. Nótese como la sismicidad "ilumina" los límites de las placas tectónicas, dibujados en amarillo	33
FIGURA Nº 4-2 Contexto geodinámico y margen de subducción de Chile	34
FIGURA Nº 4-3 Tipos de sismos que ocurren en un margen de subducción. Explicación en el texto	35
FIGURA Nº 4-4 Tipos de falla y esfuerzos asociados	36
FIGURA Nº 4-5 Tipos de ondas sísmicas	37
FIGURA Nº 4-6 Amplificación de la vibración generada por un terremoto	38

FIGURA N° 4-7 Terremotos de subducción históricos con magnitud estimada y calculada mayor a 7.2, y sus áreas de ruptura. En línea continua las zonas de ruptura bien identificadas, en línea discontinua las zonas de ruptura inferidas a partir de datos históricos	40
FIGURA N° 4-8 Mapa de intensidades reportadas producto del terremoto del 27 de febrero de 2010. La ubicación del epicentro está indicada en el mapa con una estrella. La comuna de Curepto está indicada por el círculo rojo	46
FIGURA N° 4-9 Profundidad de todos los sismos ocurridos entre los 34° 30' y 36° 30' de latitud sur, desde el año 1973 a febrero de 2011 (la estrella indica el epicentro del terremoto del 27 de Febrero de 2010). Línea discontinua indica perfil de la FIGURA N° 4-11	47
FIGURA N° 4-10 Sismos de magnitud > 5 ocurridos entre los 34° 30' y 36° 30' de latitud sur, desde el año 1973 a febrero de 2011 (la estrella indica el epicentro del terremoto del 27 de Febrero de 2010). La línea discontinua indica la ubicación del perfil de la FIGURA N° 4-11	47
FIGURA N° 4-11 Ubicación espacial de epicentros en profundidad a la latitud 35° S. Fuentes sísmicas que afectan al área de estudio	49
FIGURA N° 4-12 Peligros volcánicos asociados a la erupción de un volcán	50
FIGURA N° 4-13 Principales centros volcánicos y depósitos volcánicos entre los 33° S y 36° S	55
FIGURA N° 4-14 Mapa de Isópacas de erupción de 1.932 del Quizapu, donde se indica el espesor de ceniza acumulada asociado a la erupción en centímetros	56
FIGURA N° 4-15 Clasificación de los tipos de inundaciones	57
FIGURA N° 4-16 Estero Los Olivos luego de un período de precipitaciones intensas. Se observa llanura de inundación afectada por desborde del cauce del estero	60
FIGURA N° 4-17 Áreas de Inundación y Período de Retorno (PR). Las líneas discontinuas azules muestran la cota de inundación, las flechas verdes y rojas son referenciales para indicar el ancho del área de inundación y los límites	61
FIGURA N° 4-18 Clasificación de tipos de remoción en masa en relación al movimiento que lo origina y el material constituyente de la ladera	62
FIGURA N° 4-19 Ejemplos de deslizamientos. A. Deslizamiento Rotacional, B. Deslizamiento traslacional	64
FIGURA N° 4-20 A) Sector en el extremo sur de la vía Cancha Rayada. Talud (izquierda de la imagen) donde permanentemente ocurren caídas de bloques. Corresponde a la unidad del basamento metamórfico meteorizado. B) Basamento metamórfico meteorizado en sector sur de Cancha Rayada	67
FIGURA N° 4-21 Derrumbe en Villa Estadio desencadenado por el sismo del 27 de febrero del 2010	67
FIGURA N° 5-1 Mapa de distribución de Peligros Volcánicos. Observar que la comuna de Curepto se encuentra al Oeste de la figura, fuera del alcance de los peligros volcánicos aquí ilustrados	70
FIGURA N° 5-2 Zonas de susceptibilidad de inundaciones para la localidad de Curepto	72
FIGURA N° 5-3 Zonas de susceptibilidad de inundaciones para la localidad de Gualleco	73
FIGURA N° 5-4 Frecuencia de deslizamientos en función de la pendiente del terreno	75
FIGURA N° 5-5 Zonas susceptibles a la generación y alcance de deslizamientos y caída de bloques para la localidad de Curepto	76
FIGURA N° 5-6 Zonas susceptibles a la generación y alcance de deslizamientos y caída de bloques para la localidad de Gualleco	77
FIGURA N° 6-1 Áreas susceptibles a riesgos fundados, reconocidos en el área urbana de Curepto y zonificables a escala local	83
FIGURA N° 6-2 Áreas susceptibles a riesgos fundados, reconocidos en el área urbana de Gualleco y zonificables a escala local	84

INDICE DE CUADROS

CUADRO N° 4-1 Peligros asociados al volcanismo..... 52
CUADRO N° 4-2 Principales volcanes en sectores cercanos al área de estudio..... 53
CUADRO N° 4-3 Catastro de Inundaciones que han afectado la Comuna de Curepto 60
CUADRO N° 6-1 Sintesis de los riesgos naturales analizados para el área de estudio, descripción, catastro, metodología y zonificación 78
CUADRO N° 7-1 Resumen de Riesgos Fundados de las áreas urbanas de la Comuna de Curepto y Criterios utilizados para definir la zonificación de susceptibilidad y la zonificación urbana propuesta para cada caso 86

1. INTRODUCCIÓN

El Ministerio de Vivienda y Urbanismo, a través de la Secretaría Regional Ministerial de Vivienda y Urbanismo de la Región del Maule (SEREMI MINVU VII Región), solicitó la realización de un estudio de riesgos geológicos, con el objetivo de reunir información para la toma de decisión con respecto al uso del territorio en la comuna de Curepto, tanto para la homónima capital comunal y la localidad de Gualleco.

A raíz del sismo que afectó a nuestro país el 27 de Febrero de 2010, se decidió realizar nuevamente un estudio de riesgos geológicos para determinar cuáles son las áreas vulnerables a ser consideradas en la modificación del Plan Regulador Comunal de Curepto. Como consecuencia, la SEREMI del Ministerio de Vivienda y Urbanismo solicitó la elaboración de un informe técnico que permita disponer de un "Estudio fundado de Riesgos" en las zonas urbanas de la Comuna de Curepto. Este estudio delimita las áreas de riesgos que han de ser incorporadas y/o adecuadas en la modificación del Plan Regulador Comunal, con el objetivo de enfrentar la reconstrucción y mitigar los eventuales riesgos naturales en la zona de estudio, de acuerdo a lo señalado por el artículo 2.1.17 de la Ordenanza General de Urbanismo y Construcciones.

1.1 Ubicación Área de Estudio

La comuna de Curepto está ubicada en la Provincia de Talca, entre 34°48' y 35°06' de Latitud Sur, y entre 71°56' y 71°27' de Longitud Oeste en la VII Región del Maule. La comuna se encuentra en el límite Norte de la provincia, bordeando las comunas de Hualañé y Licantén, mientras que por el Sur colinda con las comunas de Constitución y Pencahue. La parte occidental de la comuna alcanza el borde costero, y en el sector oriental limita con la Comuna de Sagrada Familia. El área de estudio del presente trabajo incluye a dos sectores urbanos. Estos son el sector de Curepto, capital de la comuna, y la localidad de Gualleco, la cual se encuentra cercana al límite Sur de la comuna (FIGURA N° 1-1).

El acceso principal al área de estudio es a través de ruta 5 Sur, mediante la cual se accede a las ciudades de Curicó o Talca, y luego la ruta J-60, que cruza la comuna de Oeste a Este. Desde la localidad de Lora se debe tomar la ruta K-16, rumbo al Sur hasta llegar a la localidad de Curepto. Al área urbana de Gualleco se accede desde Curepto por las rutas K-268 y K-60, rumbo al Sur.

1.2 Objetivos

El objetivo principal de este trabajo es reconocer y delimitar las áreas de riesgos que han de ser incorporadas y/o adecuadas en la modificación del Plan Regulador Comunal de Curepto, con la finalidad de enfrentar la reconstrucción y mitigar los eventuales riesgos naturales en la zona de estudio (de acuerdo a lo señalado por el artículo 2.1.17 de la Ordenanza General de Urbanismo y Construcciones), generando un estudio fundado de Riesgos Geológicos en los sectores urbanos de la Comuna de Curepto.

Dentro de este estudio, como productos, deberán elaborarse cartas de peligro por efectos de terremotos, inundaciones causadas por desbordes de ríos y activación de líneas de quebradas, remoción en masa -en sus diferentes manifestaciones- (aluviones, derrumbes de rocas, deslizamiento de tierra, licuefacción de suelos u otros relevantes).

El objetivo específico de esta etapa del proyecto consiste en la elaboración de un catastro, descripción y reconocimiento de los principales peligros geológicos que pueden afectar al área de estudio, así como sus factores condicionantes y detonantes.

1.3 Alcance y limitaciones

Para esta etapa del trabajo se realizó una compilación de referencias bibliográficas, antecedentes históricos, revisión de fotografías aéreas, visitas a terreno y la evaluación de los distintos factores condicionantes para zonificar las áreas susceptibles a ser afectadas por un peligro geológico, a una escala 1:5.000 (considerando que la gran mayoría de la información geológica está a una escala mayor a 1:1.000.000). Se debe destacar que los resultados de este trabajo no deberían ser utilizados a una escala más detallada que la de referencia, ya que esto podría llevar a errores en la planificación territorial.

Por otro lado, no se llevó a cabo ningún análisis riguroso de periodos de retorno (**peligrosidad**) o de consideraciones socio-económicas (**riesgo**), por lo que los mapas entregados corresponden a mapas de susceptibilidad y de factores condicionantes (consultar sección 2.2).

El resultado de este estudio corresponde a mapas de factores condicionantes, principalmente morfológicos y geológicos y mapas inventarios. A partir del análisis de los anteriores, se generaron mapas de susceptibilidad para cada uno de los peligros geológicos reconocidos en la zona a escala 1:5.000.

1.4 Marco Jurídico

La Ordenanza General de Urbanismo y Construcción (OGUC), en su apartado 2.1.17 "Disposiciones complementarias" indica que: "En los planes reguladores podrán definirse áreas restringidas al desarrollo urbano, por constituir un riesgo potencial para los asentamientos humanos. Dichas áreas, se denominarán "zonas no edificables" o bien, "áreas de riesgo", según sea el caso, como se indica a continuación:

Por "zonas no edificables", se entenderán aquellas que por su especial naturaleza y ubicación no son susceptibles de edificación, en virtud de lo preceptuado en el inciso primero del artículo 60° de la Ley General de Urbanismo y Construcciones. En estas áreas sólo se aceptará la ubicación de actividades transitorias.

Por "áreas de riesgo", se entenderán aquellos territorios en los cuales, previo estudio fundado, se limite determinado tipo de construcciones por razones de seguridad contra desastres naturales u otros semejantes, que requieran para su utilización la incorporación de obras de ingeniería o de otra

indole, suficientes para subsanar o mitigar tales efectos. En el marco de este informe, "áreas de riesgo" son definidas como las zonas susceptibles a ser afectadas por un peligro geológico.

De acuerdo a la OGUC, las "áreas de riesgo" se determinarán en base a las siguientes características:

1. Áreas inundables o potencialmente inundables, debido entre otras causas a maremotos o tsunamis, a la proximidad de lagos, ríos, esteros, quebradas, cursos de agua no canalizados, napas freáticas o pantanos.

De acuerdo a las definiciones utilizadas en este informe, corresponde a los peligros geológicos de inundación, ya sea continental o costera. Este tópico que se explica conceptualmente en el capítulo 4.3 "Procesos Externos o Exógenos de la Tierra – INUNDACIONES", y el diagnóstico de estos peligros en el área de estudio es presentada en el Capítulo 4.3.2 "Resultados del Catastro de Información Histórica de Inundaciones".

2. Áreas propensas a avalanchas, rodados, aluviones o erosiones acentuadas.

Corresponde a los peligros geológicos de remociones en masa, caída de bloques y flujos de barro y detritos. Estos se explican conceptualmente en el capítulo 4.4 "Procesos Externos o Exógenos de la Tierra – REMOCIONES EN MASA". El diagnóstico de estos peligros en el área de estudio se presenta en el capítulo 4.4.2 "Resultados del Catastro de Información Histórica de Remociones en Masa".

3. Áreas con riesgo de ser afectadas por actividad volcánica, ríos de lava o fallas geológicas.

Dentro de este apartado definido por la OGUC se analizan conceptualmente los procesos endógenos internos de la tierra, descritos en los capítulos 4.1 "Procesos Internos o Endógenos de la Tierra – SISMICIDAD" y 4.2 "Procesos Internos o Endógenos de la Tierra – VOLCANISMO". El diagnóstico y zonificación de estos peligros en el área de estudio se presenta en los capítulos 4.1.2 "Resultados del Catastro de Información Histórica de Sismicidad" y 4.2.2 "Resultados del Catastro de Información Histórica de Volcanismo".

Para autorizar proyectos a emplazarse en áreas de riesgo, se requerirá que se acompañe a la respectiva solicitud de permiso de edificación un estudio fundado, elaborado por profesional especialista y aprobado por el organismo competente, que determine las acciones que deberán ejecutarse para su utilización, incluida la Evaluación de Impacto Ambiental correspondiente conforme a la Ley 19.300 sobre Bases Generales del Medio Ambiente, cuando corresponda"

1.5 Aspectos Metodológicos

El objetivo del Estudio de Riesgos de Curepto es generar mapas de susceptibilidad para las áreas urbanas de Curepto y Gualleco.

Como parte del proceso para generar los mapas de susceptibilidad para un peligro geológico dado, se realizaron las siguientes tareas durante el desarrollo de la etapa de recopilación de información:

1. Elaboración de una línea de base geológica y geomorfológica: El objetivo de este punto es identificar los distintos depósitos sedimentarios producto de procesos de remoción en masa e inundaciones, esto es, depósitos aluviales activos (actuales) e inactivos (procesos pasados), depósitos fluviales activos e inactivos, depósitos coluviales y las zonas de generación de coluvio.
2. Visitas técnicas de terreno al área de estudio.
3. Catastro de Peligros Geológicos Históricos: En esta tarea se recopiló los distintos peligros geológicos que han afectado los sectores urbanos de la comuna de Curepto, con la finalidad de identificarlos y ordenarlos cronológicamente.
4. Catastro de Factores Condicionantes: se reunió información acerca de los factores intrínsecos (propios del medio físico) que condicionan la ocurrencia de un peligro geológico.
5. Estudio de Factores Desencadenantes: se reunió información histórica acerca de los factores gatillantes de un peligro geológico dado, con el objetivo de realizar una estimación preliminar de la recurrencia de un evento a través de métodos estadísticos.

A continuación se detalla la metodología utilizada para la elaboración de cada uno de los puntos nombrados previamente.

1.5.1 Elaboración de la línea de base geológica y geomorfológica

La caracterización geológica y geomorfológica se realizó simultáneamente. Para el área de estudio, no existen trabajos geológicos de detalle, siendo la única fuente de información geológica, el mapa geológico de Chile a escala 1:1.000.000 (SERNAGEOMIN, 2003). Esta información se aumentó a una escala adecuada a partir de visitas a terreno, interpretación de fotografías aéreas e imágenes satelitales. Los mapas geológico y geomorfológico producidos para el área urbana son de 1:5.000. Para obtener estos mapas la escala de trabajo en terreno fue de 1:2.500.

La interpretación de fotografías aéreas e imágenes satélites permitió delimitar los principales contactos entre el basamento rocoso, y los depósitos no consolidados, tales como depósitos fluvio-aluviales activos, depósitos fluviales activos, depósitos coluviales, etc. Además, se identificaron las principales zonas de generación de material coluvial y las terrazas fluviales de los principales cauces ubicados en el área de estudio.

Simultáneamente, se construyó un Modelo de Elevación Digital (DEM, por sus siglas en inglés). El DEM corresponde a una matriz que contiene la información topográfica básica (elevación) que permite estimar los parámetros morfométricos utilizando Sistemas de Información Geográficos. Los parámetros morfométricos analizados son: cartas de pendiente, exposición de ladera, curvatura y relieve sombreado. Estos mapas fueron utilizados como apoyo para la identificación de los principales depósitos no consolidados y son considerados un factor condicionante para la elaboración de mapas de susceptibilidad.

Para las áreas urbanas de Curepto y Gualleco no se contó con la restitución completa de la cartografía del Plan Regulador Comunal previo, por lo que se utilizó el modelo de elevación ASTER GDEM que cubre toda el área de estudio.

1.5.2 Visita técnica al área de estudio

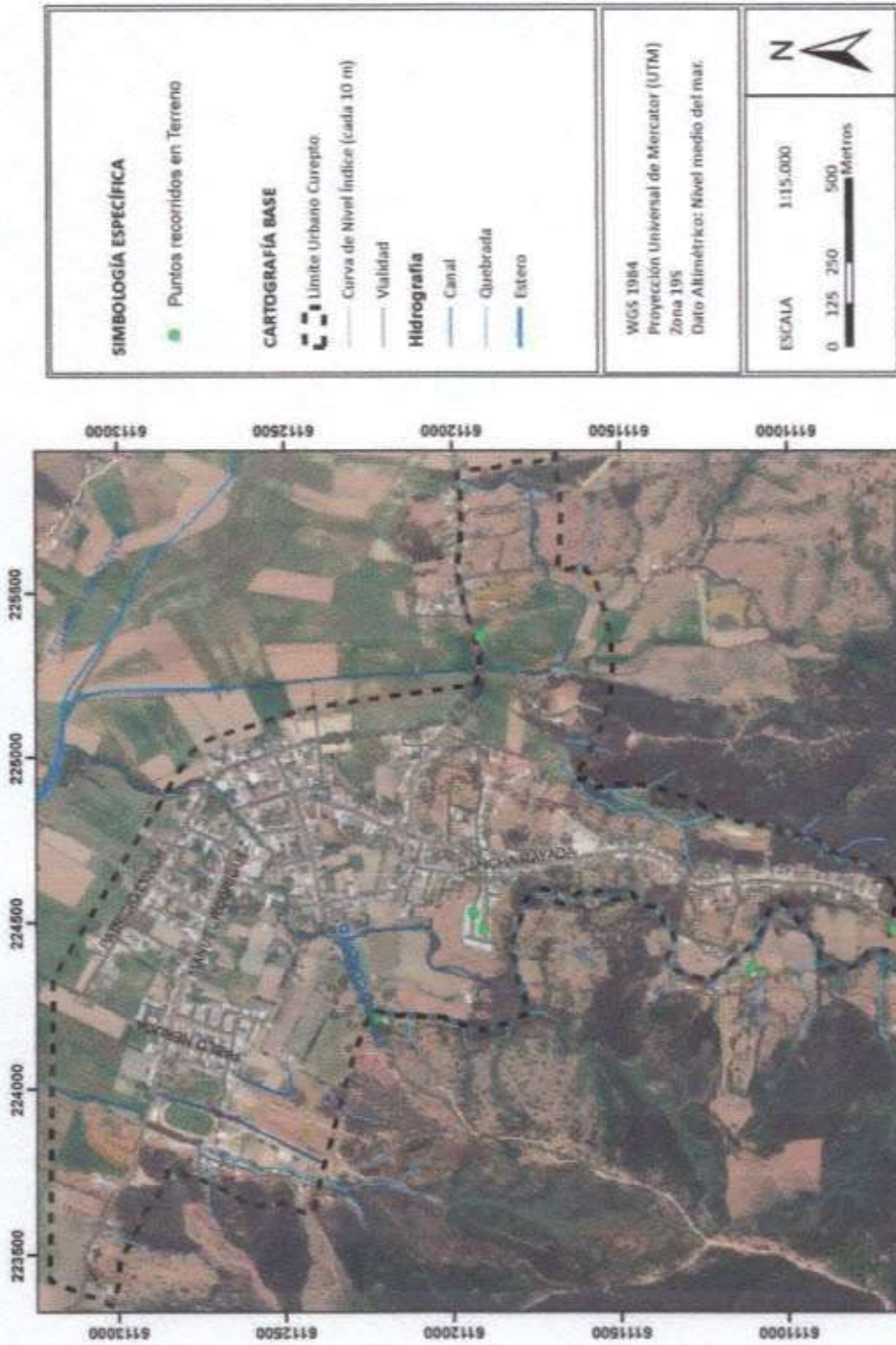
Durante esta etapa, se realizó una visita técnica en el área de estudio, con énfasis en los siguientes objetivos:

1. Complementar y afinar la cartografía geológica existente, con particular detalle de las unidades geológicas más recientes.
2. Identificar los peligros geológicos reconocidos en el área.
3. Complementar y validar la información obtenida en la recopilación bibliográfica
4. Revisar la interpretación de fotografías aéreas e imágenes satelitales realizada.
5. Reconocer y caracterizar los depósitos de remociones en masa.

La salida a terreno se realizó el 29 de Marzo de 2011, en compañía de personal de la SEREMI del Ministerio de Vivienda y Urbanismo de la VII Región, con el objetivo de identificar los principales problemas que afectan al área de estudio y presentar al equipo de trabajo del proyecto. Durante esta visita se sostuvo una reunión con personal de la Dirección de Obras de la Municipalidad de Curepto y se recorrieron los sectores urbanos de la comuna, identificando sectores susceptibles de ser afectados por remociones en masa e inundaciones de cauces naturales y artificiales (canales), entre otros peligros geológicos.

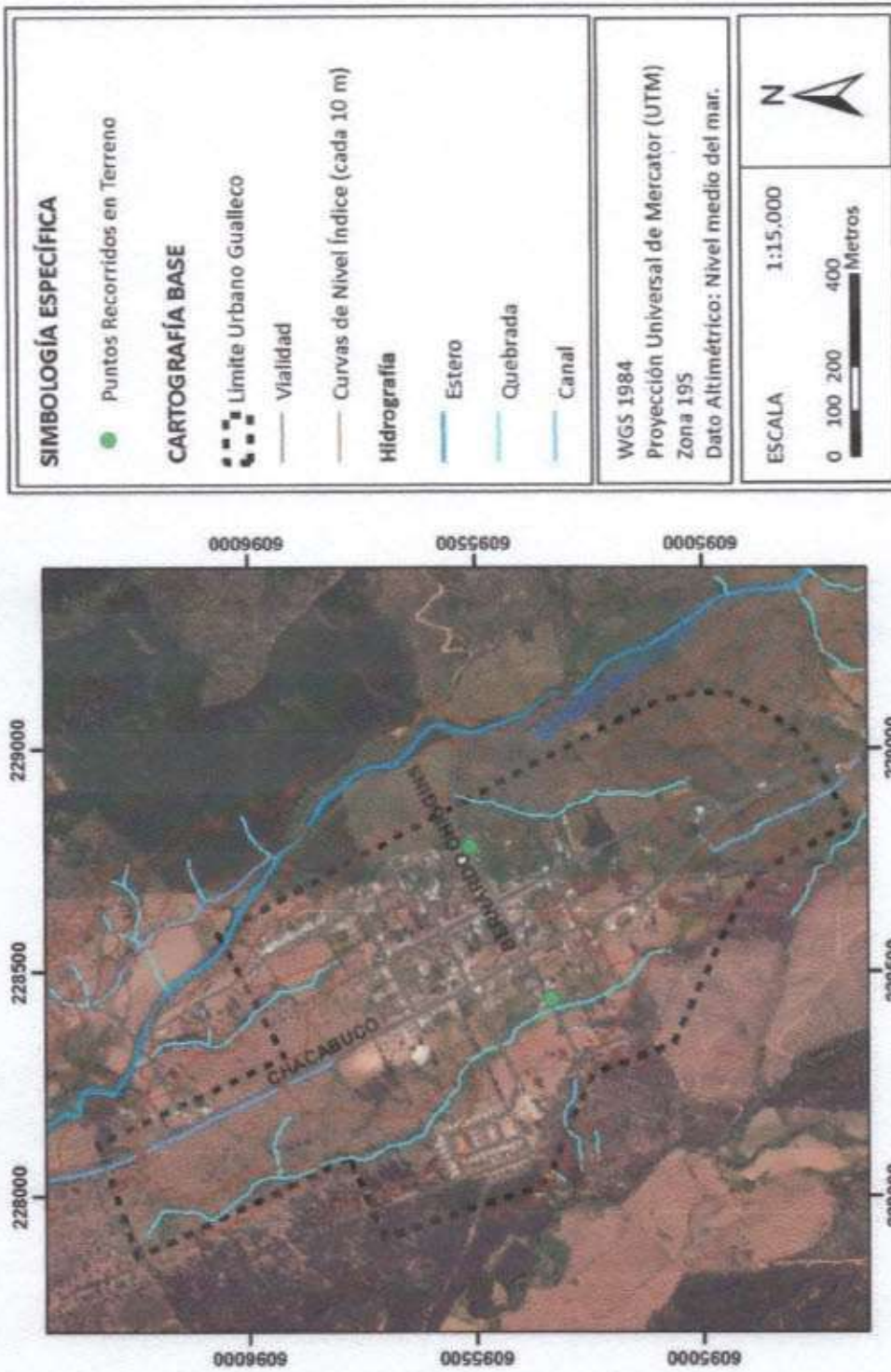
Los puntos controlados durante la visita técnica al área de estudio se encuentran ubicados en las FIGURA N° 1-2 y FIGURA N° 1-3.

FIGURA N° 1-2 Puntos de control visita técnica del 29 de Marzo del 2011, localidad de Curepto



Fuente: Elaboración propia

FIGURA N° 1-3 Puntos de control visita técnica del 29 de Marzo del 2011, localidad de Gualleco



Fuente: Elaboración propia

1.5.3 Catastro de información relevante para los Peligros Geológicos en el área de estudio

A partir de una revisión bibliográfica y mapeo geológico se creó el catastro de peligros geológicos.

1.5.3.1 Revisión histórica y bibliográfica

Se realizó una revisión metódica de los eventos geológicos que eventualmente signifiquen un peligro para la zona de estudio, estos son:

1. Actividad volcánica
2. Actividad sísmica
3. Inundaciones
4. Remociones en masa.

Esto con el objetivo de cuantificar y calificar la distribución temporal y espacial de dichos sucesos y así, con el factor histórico, acotar mejor las probabilidades de la ocurrencia de un suceso en un intervalo de tiempo y espacio determinados.

Para dicho efecto se revisaron los antecedentes históricos de publicaciones científicas. El trabajo de Ortlieb (1994) muestra que hay cierta correlación entre los años más lluviosos en Chile Central y los eventos ENSO (El Niño Southern Oscillation) de intensidad fuerte (F) a muy fuerte (MF++). La información recolectada es complementada con los trabajos científicos de Urrutia et al. (1993), González-Ferrán (1995), Hildreth y Drake (1991), Sruoga (2002) y Vargas et al. (2011).

Con respecto a los eventos de remoción en masa, se admite que estos ocurren con mayor frecuencia asociados a eventos sísmicos, volcánicos o producidos por altas intensidades de precipitaciones (llamados también factores desencadenantes o gatillantes). Considerando lo anterior, se recopiló datos de los procesos de remoción en masa a partir de la revisión bibliográfica de los eventos generadores.

La generación del catastro de eventos sísmicos se realizó en base a recopilaciones históricas y de publicaciones científicas (Nishenko, 1985; Comte *et al.*, 1986; Comte y Pardo, 1991; Comte *et al.*, 2002; Lara y Rauld, 2003; Urrutia *et al.* 1993). La base de datos de sismos utilizada para las representar los sismos históricos de la región es del National Earthquake Information Center (NEIC) del United States Geological Survey (USGS)*. Esta base de datos corresponde a los sismos registrados en todo el mundo con los instrumentos de dicha institución, e instituciones asociadas, a partir del año 1973. El error asociado a dichos datos es del orden de 50 km, pero dada la cantidad de datos y la extensión temporal de su registro resulta útil para representar la sismicidad a escala regional.

* Disponible en línea en: <http://earthquake.usgs.gov/earthquakes/eqarchives/epic/>

Para los eventos volcánicos se revisaron las fechas de registro de actividad (Urrutia y Lanza, 1993 y González, 1995). Los centros eruptivos que se abarcan en la revisión histórica son los volcanes Tupungatito, Maipo y San José ubicados en la Región Metropolitana, los volcanes El Palomo y Tinguiririca de la VI Región y los volcanes Quizapu, Peteroa y Descabezado en la VII Región. De estos, solo se cuenta con registro de actividad desde el siglo XVI en los volcanes Peteroa, San José, Quizapu, Planchón y Descabezado Grande (Urrutia et al, 1993). Cabe mencionar que aún cuando estos centros volcánicos se encuentran lejos de la Comuna de Curepto, su actividad posee influencia directa sobre los principales drenajes de la región, pudiendo afectar de esta forma al área de estudio.

1.5.3.2 Análisis e interpretación de fotografías aéreas e imágenes satelitales

Con el fin de identificar evidencias de peligros geológicos declarados, es decir peligros geológicos que en el pasado ya se han manifestado en el área de estudio, se realizó un análisis de fotografías aéreas e imágenes satelitales. Para este análisis se revisaron las imágenes publicadas por Google Earth® y Bing Maps.

Este análisis, además de apoyar el mapeo geológico y geomorfológico, permitió identificar una serie de rasgos, tales como depósitos de remociones en masa y de procesos fluviales, los cuales se encuentran detallados en el Capítulo 4.3.3 "DESCRIPCIÓN Y CATASTRO DE INFORMACIÓN HISTÓRICA Y PREHISTÓRICA DE LOS RIESGOS NATURALES ANALIZADOS EN EL ÁREA DE ESTUDIO". Estos elementos evidencian que el área de estudio ha sido afectada por procesos de remoción en masa en el pasado, y además, permiten deducir algunas características y factores desencadenantes de estos fenómenos, información que fue utilizada para la estimación y modelado del alcance de estos procesos.

1.5.3.3 Catastro de Factores Condicionantes y Desencadenantes

Con el objetivo de determinar las áreas más susceptibles, se recopiló una serie de mapas de factores considerados condicionantes para la ocurrencia de un peligro geológico dado. Dentro de estos se encuentran:

1. Elevación, pendiente, curvatura y dirección de drenaje de la ladera (exposición) para la comuna de Curepto: Generados a partir del modelo de elevación ASTER GDEM, con una resolución espacial de 30 metros por píxel.
2. Elevación, pendiente, curvatura y dirección de drenaje de la ladera (exposición): Fueron elaborados a partir del modelo de elevación generado a una resolución de 2 metros por píxel, creado con las curvas de nivel cada 2 metros del PRC anterior.
3. Litología: Corresponden al mapa geológico de Chile, escala 1:1.000.000 (SERNAGEOMIN, 2003) modificados en este trabajo.

Con respecto a los factores desencadenantes, se catastraron los registros sísmicos y erupciones volcánicas reportados y cuya área de influencia incluye a la zona de estudio.

2. MARCO CONCEPTUAL

2.1 Peligros Geológicos en Chile

Chile, a lo largo de su historia, ha sido afectado por las más diversas catástrofes naturales. Prueba de ello son los numerosos mitos y leyendas aborígenes, donde se describen fenómenos naturales violentos. Estos desastres han impactado negativamente en la economía del país causando severos trastornos durante su desarrollo (Urrutia y Lanza, 1993).

La diversa geografía de Chile es producto de procesos geodinámicos tanto internos (endógenos) como externos (exógenos) de la tierra. Los procesos **endógenos** están determinados por la subducción de las placas Nazca y Antártica por debajo de la Sudamericana a lo largo de toda la línea de costa, lo que produce una gran actividad sísmica y volcánica (Uyeda y Kanamori, 1979, Mpodozis y Ramos, 1989, González-Ferrán, 1995). El resultado directo de la subducción son áreas montañosas que componen un 80% del paisaje. Esto reviste especial importancia pues las características orográficas constituyen factores de base de la mayoría de las amenazas naturales de nuestro país.

Por otra parte, los procesos **exógenos** están determinados por la diferencia latitudinal, la exposición de las grandes vertientes estructurales de la cordillera de Los Andes y de La Costa, el Fenómeno del Niño, la corriente de Humboldt y el anticiclón del Pacífico los cuales se combinan originando una complejidad climática que tiene una incidencia significativa en la generación de las catástrofes naturales que ocurren en Chile.

Desde el punto de vista humano, la localización de centros poblados bajo una escasa o nula planificación territorial estratégica que considere los riesgos naturales es una problemática vigente. Desde el punto de vista del potencial de organización para enfrentar los riesgos naturales, son escasas las oportunidades en que por iniciativa propia se hayan constituido Comités de Emergencia de pobladores, más bien, es el gobierno local el que ha motivado su constitución. La población misma debiera ser la más importante gestora de su seguridad (Larrain y Simpson-Housley, 1994).

En Chile, año tras año se producen desastres naturales en todo el territorio nacional. Esta historia marcada por sucesivas catástrofes llevó a la creación en Marzo de 1974 de la Oficina Nacional de Emergencia del Ministerio del Interior, ONEMI, que corresponde a un organismo técnico del Estado a cargo de la protección civil. Desde su inicio, la ONEMI tuvo una labor más bien reactiva, accionando y coordinando mecanismos de emergencia y ayuda luego de la ocurrencia de algún desastre. Sin embargo, por la falta de directrices frente a las necesidades actuales, en Marzo del año 2002 se aprobó el nuevo Plan Nacional de Emergencia que, aunque avanza en materia de metodologías, conceptualización y manejo de las situaciones antes, durante y después de un evento, sigue delegando a las Intendencias, Gobernaciones y Municipalidades (a través de sus comités de emergencia) la elaboración de estudios sobre riesgo.

2.2 Conceptos de Susceptibilidad, Peligros Geológicos y Riesgo

Los procesos geodinámicos producen modificaciones de diversas magnitudes en la superficie terrestre que constituyen peligros geológicos que afectan de forma directa o indirecta las actividades humanas. La **previsión** de estos procesos que consiste en la identificación de áreas con mayor posibilidad de ser afectadas por eventos geológicos peligrosos, es imprescindible para adoptar medidas de **prevención** y reducir su impacto sobre las edificaciones y la población (Ogura y Soares Macedo, 2000). Asociados a los peligros geológicos se reconocen cuatro conceptos principales: susceptibilidad, vulnerabilidad, amenaza o peligrosidad (hazard) y riesgo (risk).

La **susceptibilidad** se define como la **posibilidad** de que una zona sea afectada por un determinado proceso, y se expresa a través de distintos grados cualitativos y relativos. Depende directamente de los factores que controlan o condicionan la ocurrencia de los procesos, que pueden ser intrínsecos de los materiales geológicos o controlados por un factor externo (precipitación, sismos, etc.). Para la construcción de mapas de susceptibilidad se utilizan los mapas de inventario, correspondientes a áreas que sufren o han sufrido determinados procesos, y mapas de factores condicionantes que favorecen o entorpecen el desarrollo de estos procesos. Además, los mapas de susceptibilidad apuntan a cubrir el peor escenario posible en el área de estudio.

Los distintos **elementos expuestos** (personas, infraestructura, actividades económicas) en zonas susceptibles son agrupados dentro del concepto de **vulnerabilidad**, que se define como el grado de daños o pérdidas potenciales como consecuencia de un fenómeno de una intensidad determinada.

El concepto de **amenaza** o **peligrosidad** (hazard*) corresponde a la **probabilidad de ocurrencia** de un proceso, con un nivel de intensidad determinado dentro de cierto período de tiempo y en un área específica. La estimación de la amenaza o peligrosidad implica necesariamente una consideración de la variable temporal, es decir, el periodo de recurrencia de un evento. Por otro lado, la amenaza para periodos de retorno infinitos tiende a ser similar que la susceptibilidad. Por lo anterior, y en consideración de que no se tienen datos suficientes para estimar periodos de retorno, se utilizarán mapas de susceptibilidad, que consideran solo las variables intrínsecas del material, para la zonificación de peligros geológicos.

Por otro lado, el concepto de **riesgo** (risk) se define como las potenciales pérdidas económicas (directas e indirectas) producto de la ocurrencia de un determinado fenómeno, en función de la amenaza determinada para una zona. En general el riesgo (R) se define como:

$$R = A \times C$$

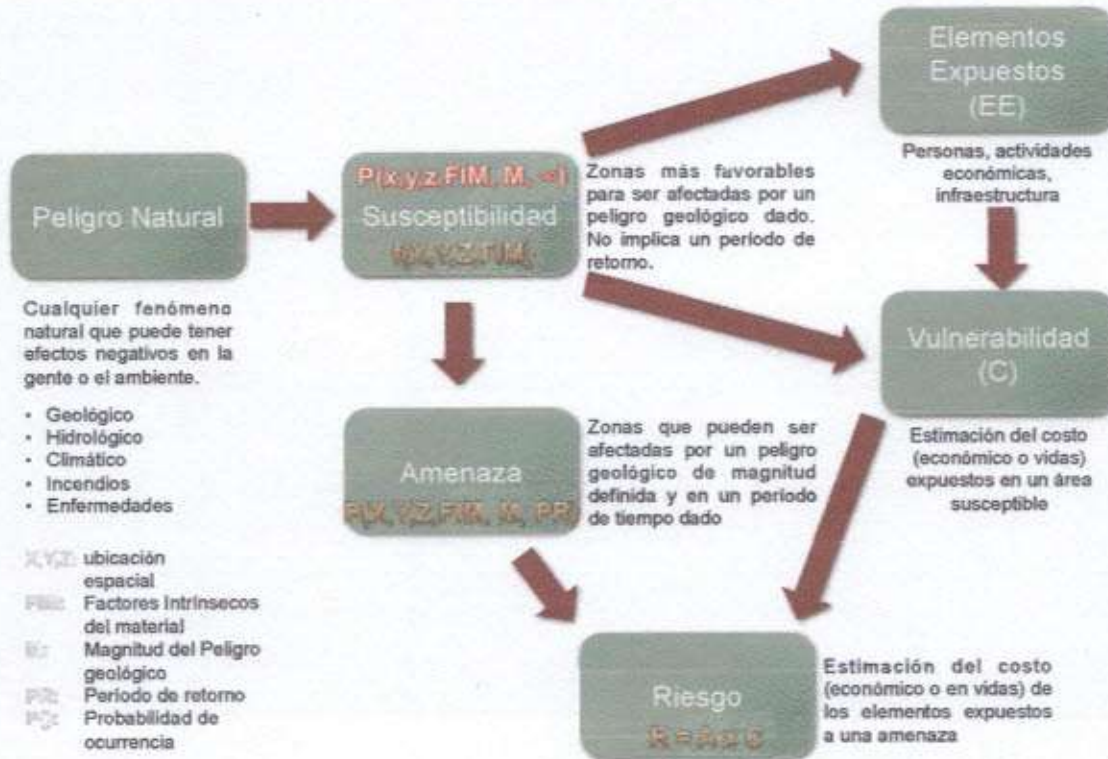
Donde A corresponde a la amenaza o peligrosidad (probabilidad de que ocurra un evento dado en un periodo de tiempo) y C corresponde al costo (ya sea en vidas, valoración económica, metros de caminos, etc). La FIGURA N° 2-1 muestra la relación entre el conocimiento y la estimación de la susceptibilidad, amenaza y riesgo.

* La traducción literal corresponde a peligro, pero de acuerdo a la ONEMI y al proyecto Multinacional de Geociencias Andino (MAP-GAC) para evitar confusiones se utiliza Amenaza o Peligrosidad

En resumen, los peligros geológicos pueden analizarse desde el punto de vista de las condiciones intrínsecas del material (estudios de susceptibilidad o determinísticos) y desde el punto de vista de los factores desencadenantes de un fenómeno (estudios de amenaza o probabilísticos). Considerando que para un estudio probabilístico es necesario contar con set de datos históricos de los procesos desencadenantes, los que normalmente no se encuentran registrados de manera adecuada, y que para periodos de retornos infinitos los mapas de amenaza tienden a ser similares a los mapas susceptibilidad, se considera que los mapas de susceptibilidad corresponden al escenario más conservador y a ser aplicado en la Planificación Territorial.

Finalmente, la **reducción y mitigación** de los riesgos vinculados a los diversos peligros geológicos presenta igual o mayor importancia que el manejo de las emergencias y la respuesta posterior al evento catastrófico. El desarrollo sustentable de la urbanización está directamente asociado a la reducción y mitigación de estos riesgos. La generación de conciencia a partir del conocimiento de los peligros y riesgos geológicos es fundamental para reducir y mitigar las consecuencias de estos eventos sobre la población (UN/ISDR, 2004).

FIGURA Nº 2-1 Etapas de la evaluación de un evento geológico peligroso



Fuente: Elaboración propia basado en Varnes (1984)

3. MARCO GEOLÓGICO Y GEOMORFOLÓGICO

3.1 Marco Geodinámico

Chile se ubica en un margen convergente de placas tipo océano-continente (FIGURA N° 3-1), donde la Placa Oceánica de Nazca subducta a la Placa Continental Sudamericana bajo su margen occidental (Uyeda, 1979). Esta subducción, cuya tasa actual de convergencia se estima en 8 cm/año (Demets et al., 1994), se reconoce activa desde, al menos, el Jurásico (Mpodozis y Ramos, 1989) y ha tenido variaciones en la tasa de convergencia durante el Eoceno – Mioceno (entre 56 y 5 Ma) que van desde 5 a 15 cm/año (Somoza, 1998).

El segmento ubicado entre los 33° y los 46° S corresponde, dentro del esquema de segmentación andina de Mpodozis y Ramos (1989), a una zona de subducción tipo chilena que se caracteriza por un ángulo de subducción entre la placa de Nazca y la placa Sudamericana de aproximadamente 30°. Este segmento se encuentra al Sur del segmento ubicado entre los 27° S y los 33°, que se caracteriza por una subducción plana (~10°) y se encuentra aparentemente controlado por la subducción de la dorsal asísmica de Juan Fernández. Si se comparan ambos segmentos, se destacan las siguientes características:

1. La costa Oeste de la placa Sudamericana tiene un rumbo aproximado NS en el tramo de subducción plana, mientras que al Sur de los 33° la costa posee un rumbo aproximado N20°E.
2. En el tramo Norte, no se aprecia el desarrollo de una depresión central, en cambio se presentan valles transversales en el antearco. Por otro lado, en el segmento Sur, se desarrolla claramente la Depresión Central, con una Cordillera de la Costa y Cordillera Principal bien definidas.
3. En el sector de subducción plana no hay registro de volcanismo Holoceno en la Cordillera Principal, mientras que en el área de estudio, el arco volcánico Holoceno se encuentra plenamente desarrollado.

La acumulación y posterior relajación de los esfuerzos producto del régimen de subducción es la causa de que todo Chile hasta la península de Taitao, sea afectado frecuentemente por terremotos. La gran mayoría de estos sismos y los eventos de magnitud, se originan en la zona del contacto entre placas y corresponden a la liberación súbita de la mayor parte de la energía acumulada durante el proceso de subducción (Ej. Sismos del 6 de Abril de 1943 que afectó a la IV Región, 3 de Marzo de 1985 de la V región, sismos de Mayo de 1960 en Valdivia). Los esfuerzos causados por la subducción también se propagan hacia el interior de la placa continental, y se liberan mediante sismos superficiales, normalmente de menor magnitud pero más destructivos localmente. (Ej. Sismo de Las Melosas de 1958, Sismo de Chuzmisa de 2001). Otros sismos son provocados por la relajación de esfuerzos en la placa de Nazca una vez subductada, estos sismos pueden ser muy destructivos a pesar de no tener las mayores magnitudes (Ej. Sismo de Chillán de 1939, sismo de Punitaqui de 1997 y sismo de Tarapacá 2005).

FIGURA N° 3-1 Vista en 3D donde se representa el marco geodinámico, se aprecia la Dorsal de Juan Fernández y el lugar donde es subductada frente a los 33° S. La línea verde señala la fosa, lugar donde subducta la placa de Nazca bajo la placa Sudamericana, las flechas muestran las direcciones y velocidades de convergencia entre ambas placas



FUENTE: Elaboración propia

3.2 Marco Geomorfológico

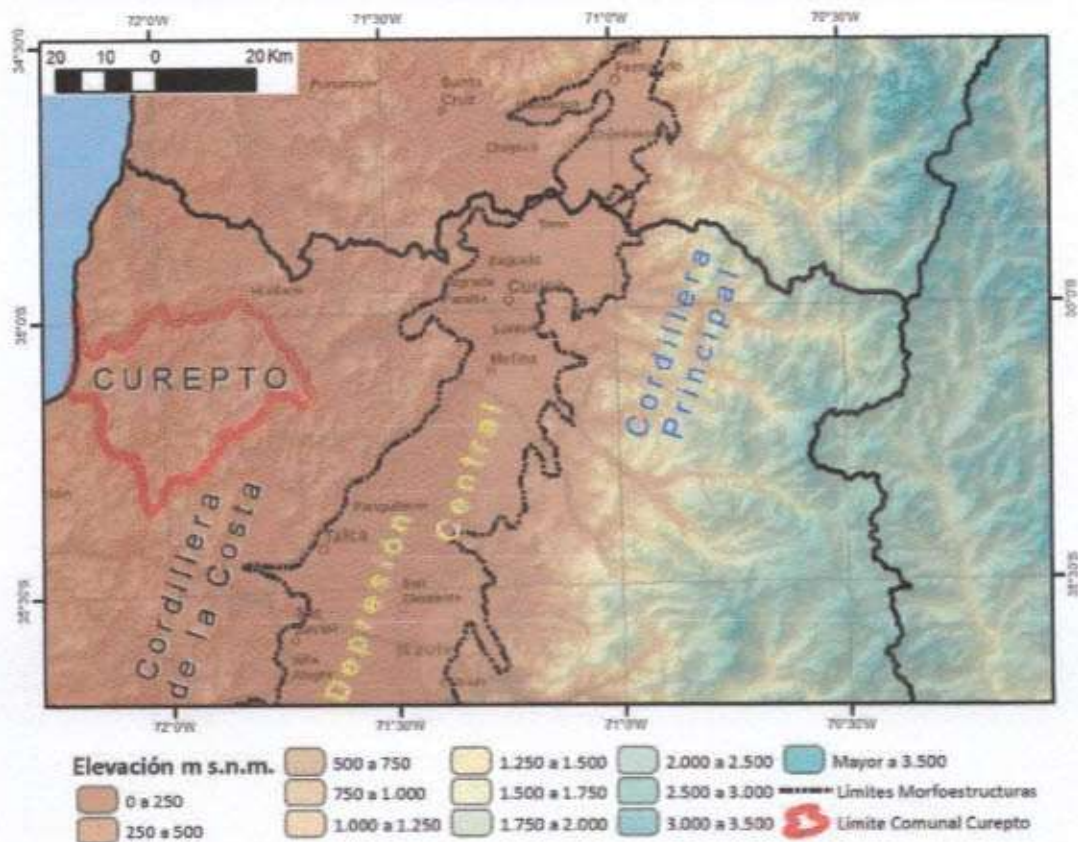
El segmento andino chileno al Sur de los 33° S, muestra 4 unidades morfoestructurales principales (FIGURA N° 3-2), dispuestas en franjas orientadas Norte – Sur. De Oeste a Este estas son: Planicies Litorales, Cordillera de la Costa, Depresión Central, Cordillera Principal (que comparten Chile y Argentina). El área de estudio se encuentra en la unidad morfoestructural correspondiente a la Cordillera de la Costa (FIGURA N° 3-2).

La Cordillera de la Costa se presenta como un cordón montañoso y accidentado, con una orientación general Norte – Sur. Está formada principalmente por granitoides y metamorfitas del Paleozoico Superior en su flanco occidental y rocas mesozoicas en su flanco oriental, como indica la cartografía geológica disponible. En los alrededores del área de estudio está compuesta por cerros que rara vez superan 700 m s.n.m. (FIGURA N° 3-2), sin embargo las laderas aledañas a los sectores urbanos poseen alturas mucho menores, las que no superan 80 m s.n.m. (FIGURA N° 3-3), en el caso de la localidad de Curepto, y 170 m s.n.m. en el área de Gualleco (FUENTE: Elaboración propia a partir de modelo de elevación ASTER GDEM

FIGURA N° 3-4). En general las áreas urbanas son de muy bajo relieve, las pendientes superan los 25° sólo localmente; en las laderas de roca de los cerros aledaños a las áreas urbanas (FIGURA N° 3-5 y FIGURA N° 3-6).

Al este de la zona de estudio, limitando con la Cordillera de la Costa, se encuentra la Depresión Central, que se presenta como una franja alargada en dirección Norte-Sur, la cual corresponde a una extensa llanura levemente inclinada hacia el Oeste (FIGURA N° 3-2). La Cordillera Principal es una zona de alto relieve y con una altura de 3000 m s.n.m. en la divisoria de aguas (límite con Argentina), sólo superada por grandes edificios volcánicos como el Planchón-Peteroa, Descabezado Grande, Descabezado Chico, etc. Debido a su altura, los Andes son los captadores de la precipitación, alimentando los ríos de desembocan en el mar y proporcionando los sedimentos que formarán las terrazas fluviales río abajo.

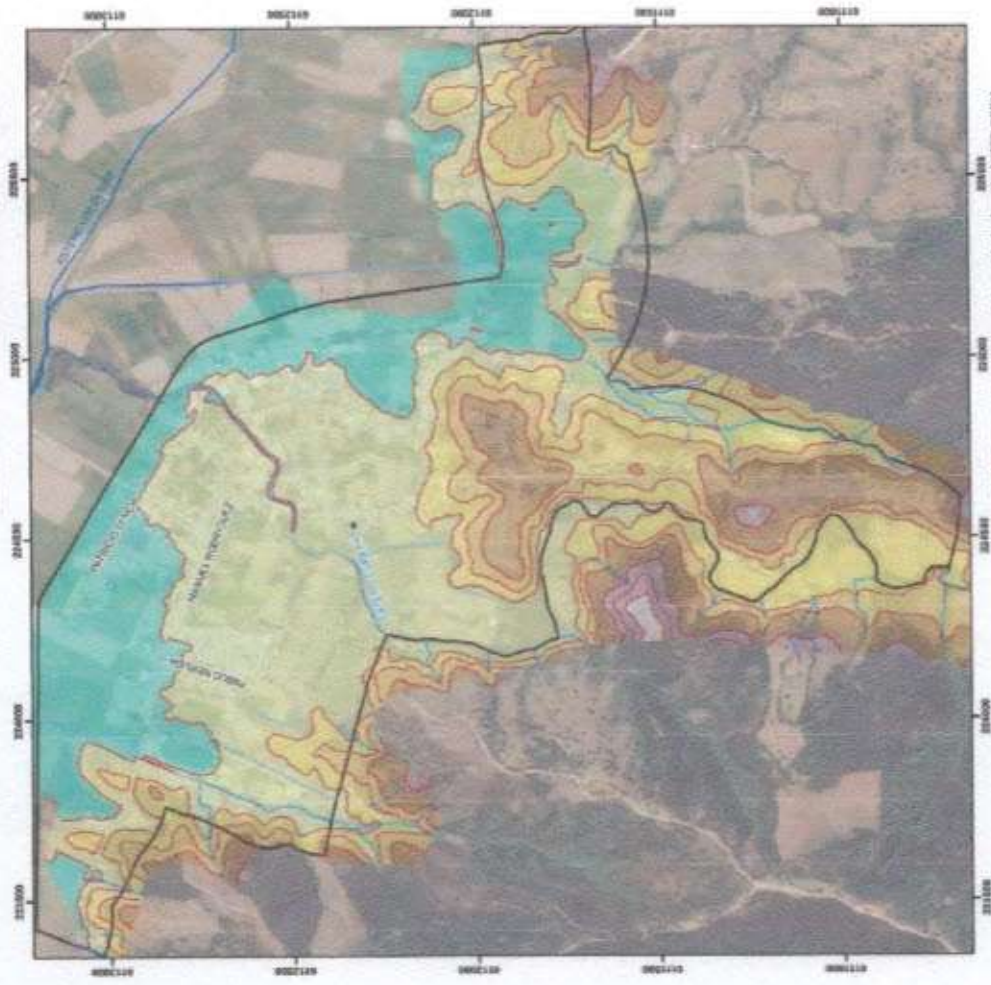
FIGURA N° 3-2 Carta de elevaciones y principales unidades morfoestructurales en el área de estudio



FUENTE: Elaboración propia a partir de: a) Shuttle Radar Topography Misión (SRTM) para mayor detalle ver Farr et al. (2007).

Para el análisis de los rasgos morfométricos del área de estudio, se utilizó el modelo de elevación generado a partir de las curvas de nivel cada 2 m del PRC anterior, el cual cuenta con una resolución de 1 m por pixel. A partir de esta información, se generó una carta de elevaciones, de pendientes y de exposición de ladera para las áreas urbanas de Curepto y Gualleco (FIGURA N° 3-3 a FIGURA N° 3-8).

FIGURA Nº 3-3 Carta de elevaciones de la localidad de Curiepto



SIMBOLOGÍA ESPECÍFICA	
Elevación (m)	
0-10	
11-20	
21-30	
31-40	
41-50	
51-60	
61-70	
71-80	
81-90	

CARTOGRAFÍA BASE	
Limites Urbano Comunal	
Urbanidad	
Curvas de Nivel	
Curvas de Nivel Index (cada 10m)	
Quilómetros	
Calle	
Estero	

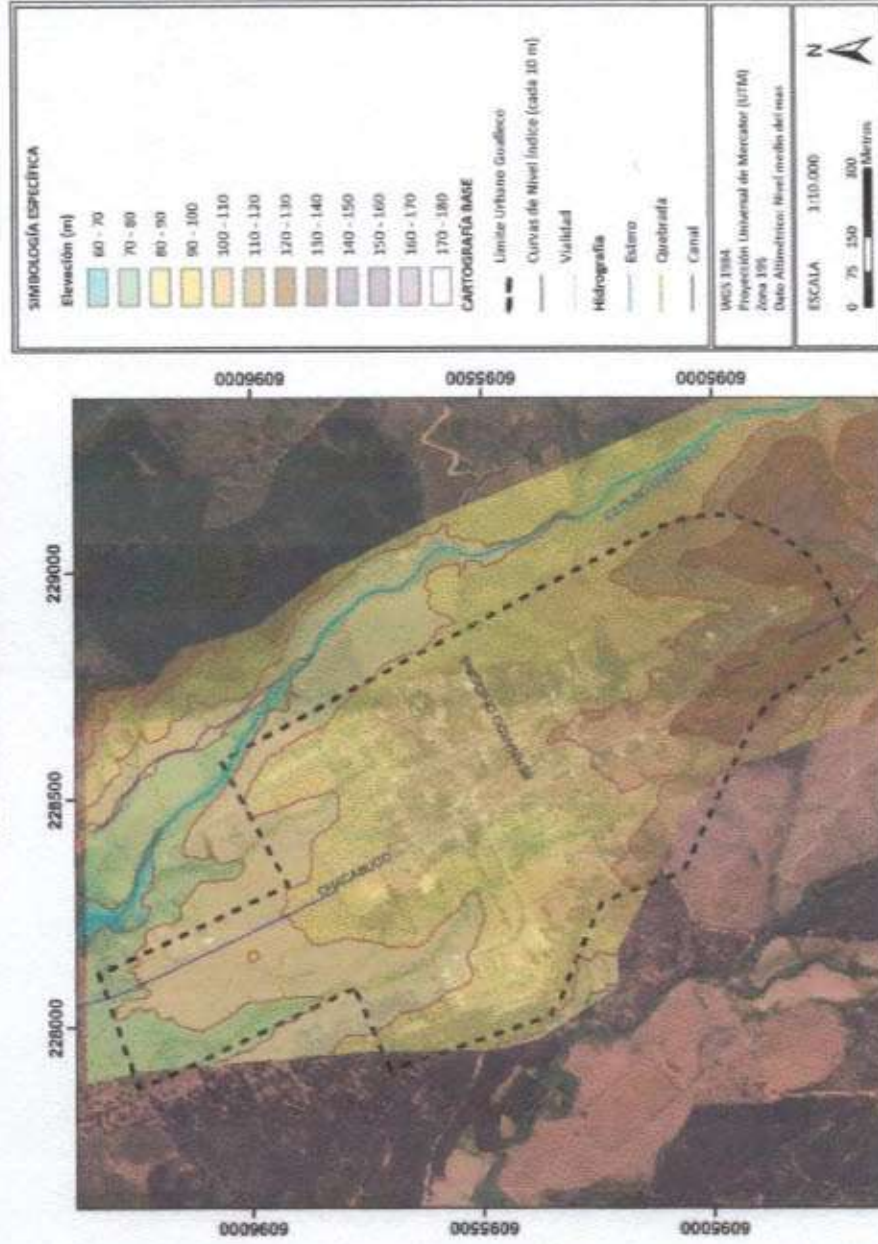
WGS 1984
 Proyección Universal de Mercator (UTM)
 Zona 18S
 Datum: Adirondack Mean (medio del mar)

ESCALA 1:50.000

N

FUENTE: Elaboración propia a partir de modelo de elevación ASTER DEM

FIGURA Nº 3-4 Carta de elevaciones de la localidad de Guallisco



FUENTE: Elaboración propia a partir de modelo de elevación ASTER DEM

FIGURA N° 3-5 Carta de pendientes de la localidad de Curiepto

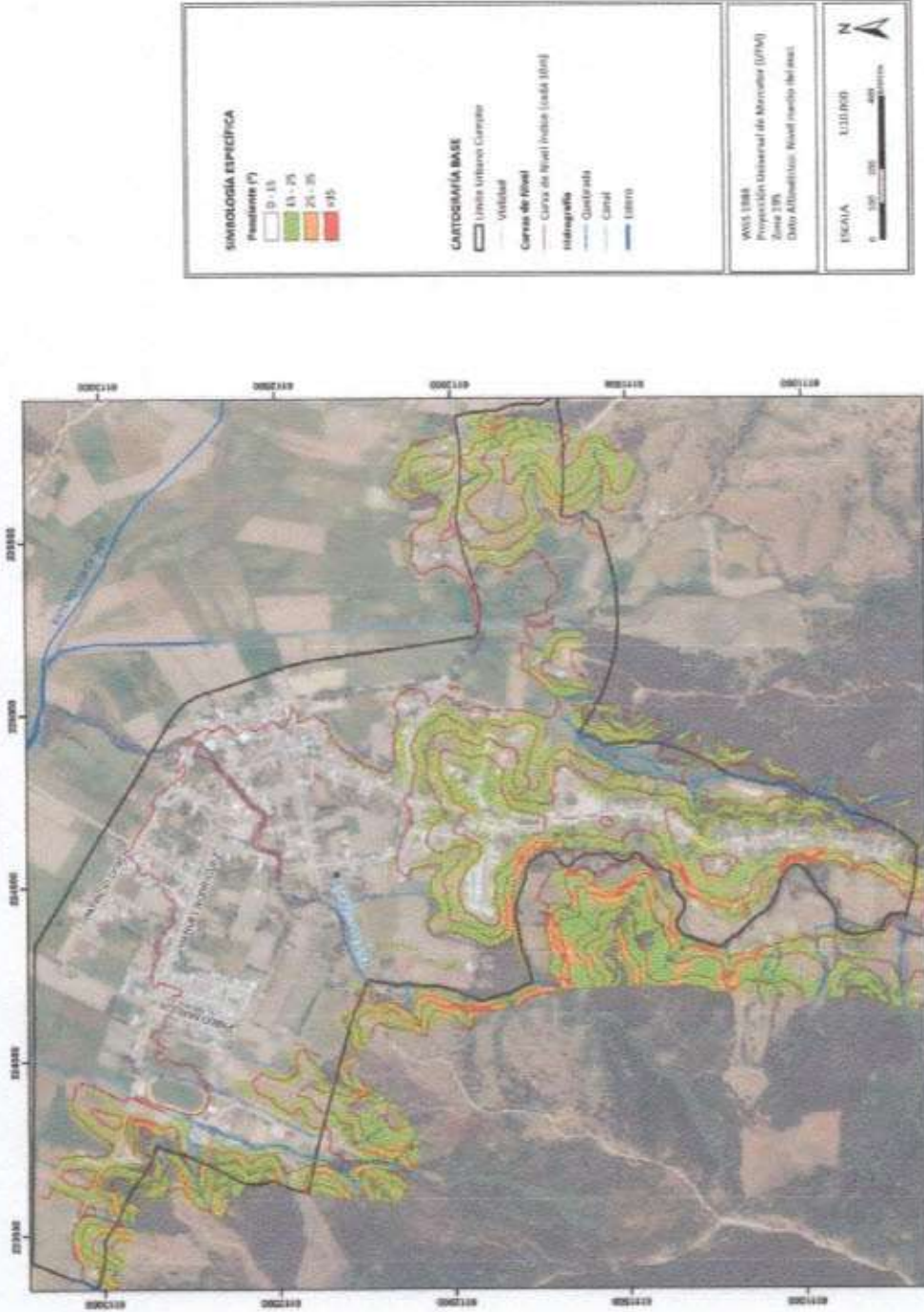
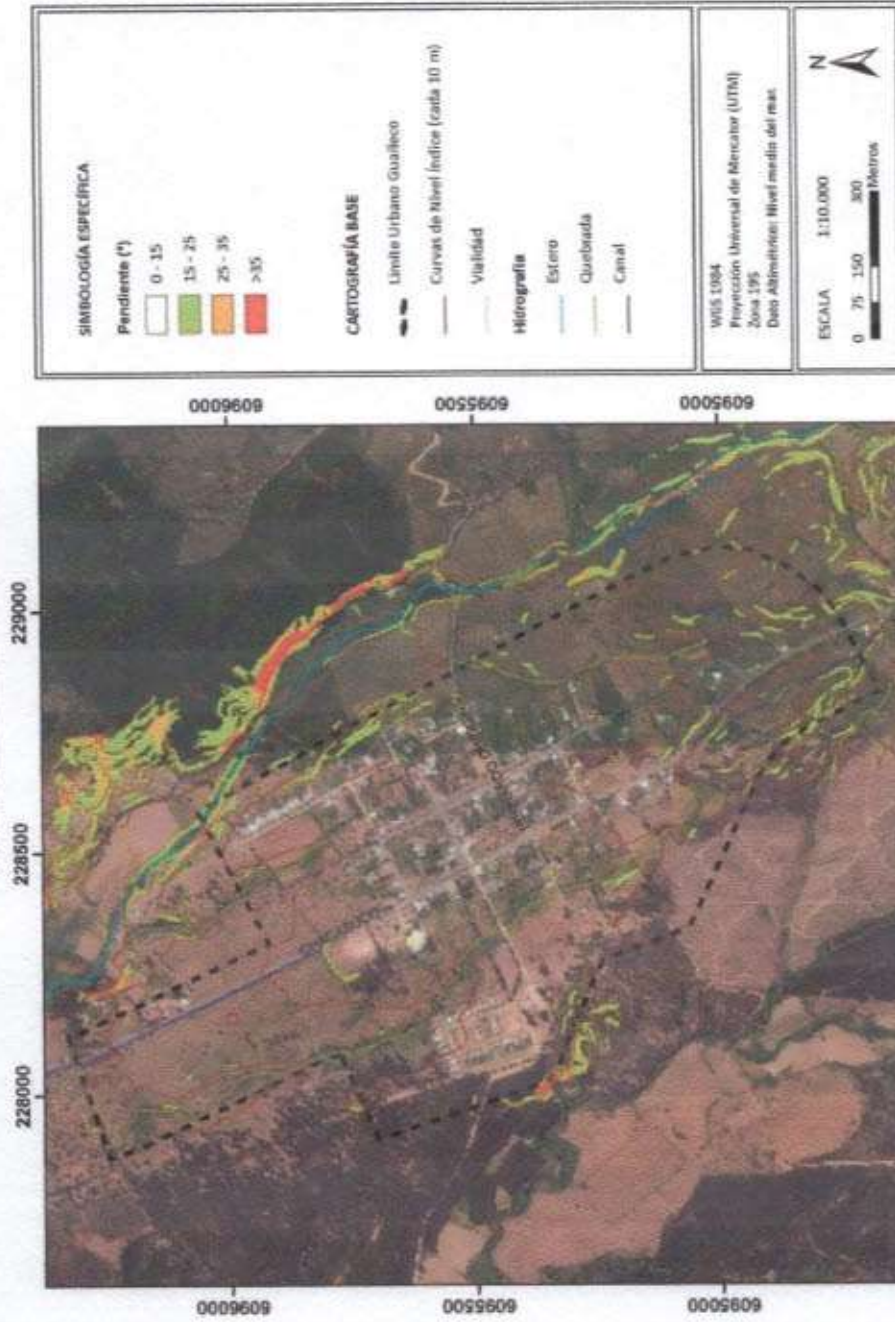
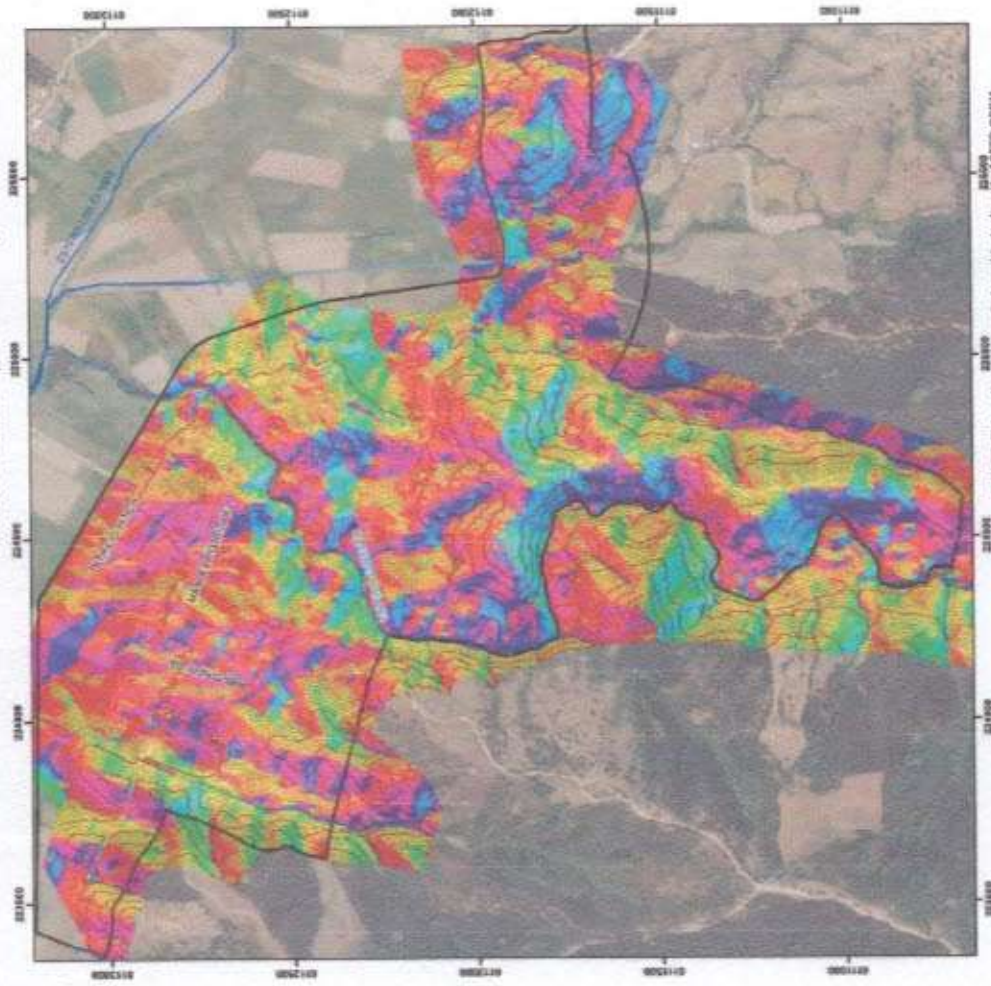


FIGURA N° 3-6 Carta de pendientes de la localidad de Guallisco



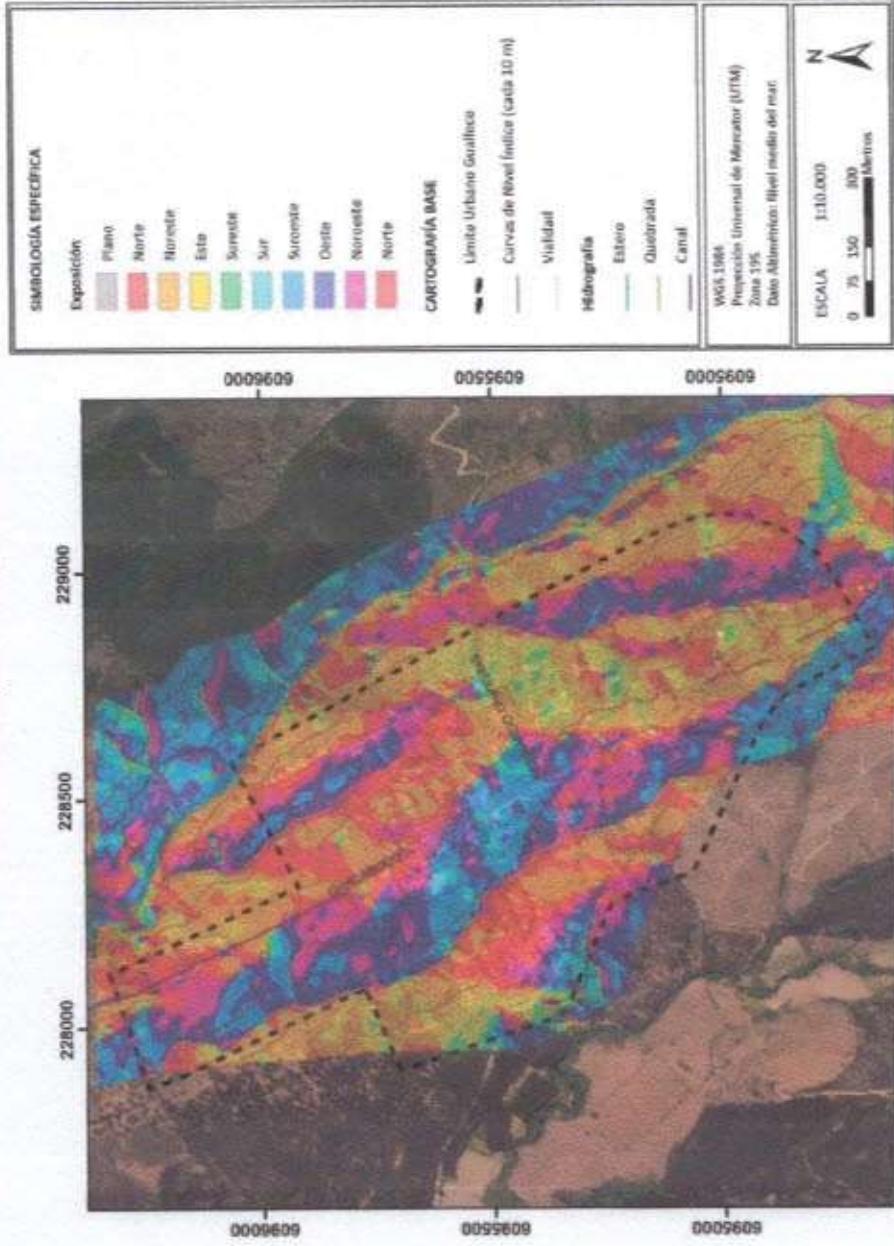
FUENTE: Elaboración propia a partir de imagen de satélite ASTER/DEM

FIGURA N° 3.7 Carta de exposición de laderas para la localidad de Curbepto



FUENTE: Elaboración propia a partir de mapas de elevación ASTER DEM

FIGURA N° 3-B Carta de exposición de ladera para la localidad de Guallico



FUENTE: Elaboración propia en base a modelo de elevación ASTER GDEM

3.3 Marco Geológico

Para el área de estudio, no existen trabajos geológicos de detalle, siendo la única fuente de información geológica el Mapa Geológico de Chile a escala 1:1.000.000, publicado por el Servicio Nacional de Geología y Minería durante el año 2003. De manera general, la geología de la Comuna de Curepto (FIGURA N° 3-10, FIGURA N° 3-11, y Planos N°1 y N°2 fuera de texto) se caracteriza por la existencia del basamento metamórfico y batolito de la Cordillera de la Costa (ambos de edad Paleozoico Superior; SERNAGEOMIN, 2003), los que se encuentran cubiertos en discordancia por depósitos no consolidados del Neógeno, producto de los procesos erosivos actuales.

3.3.1 Unidades de Roca

3.3.1.1 Basamento Metamórfico (Aguirre et al., 1972)

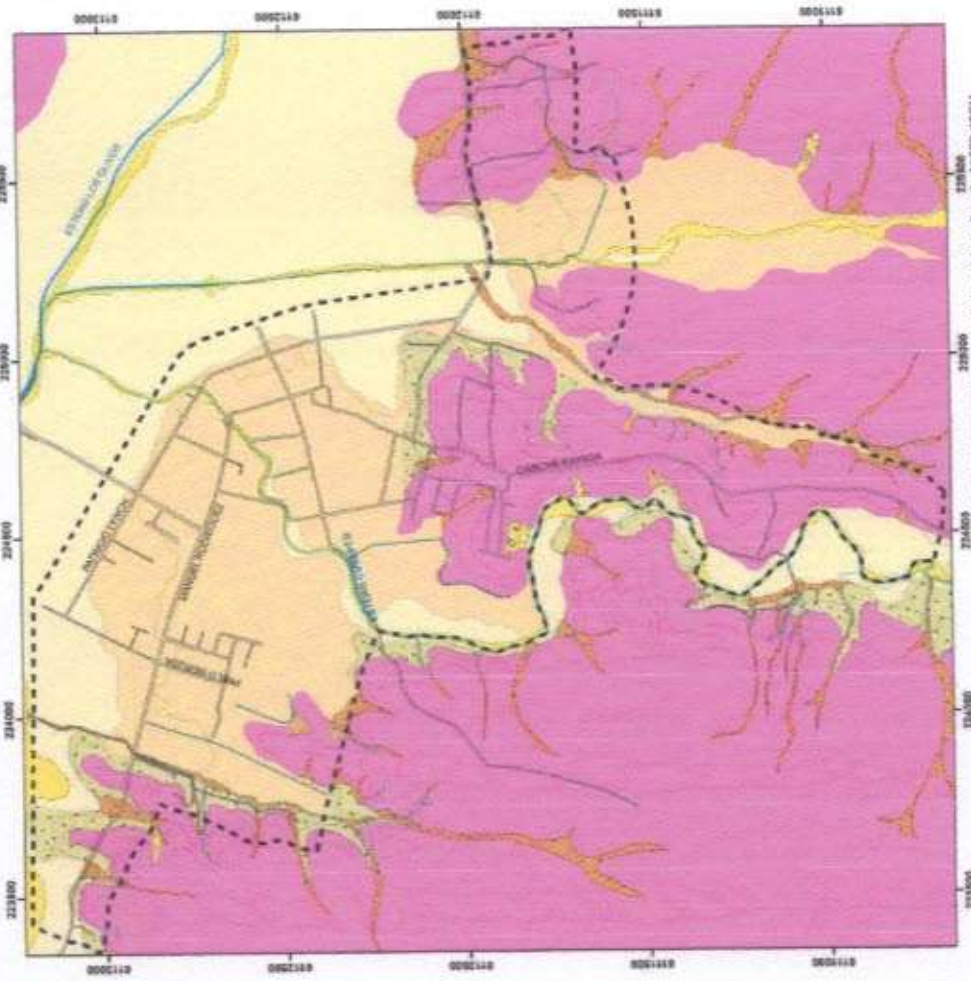
Unidad geológica compuesta por micaesquistos, metacherts, serpentinitas, metagrauwacas, filitas, rocas córneas y gneises, con una edad asignada al Paleozoico Superior (FIGURA N° 3-10). Dentro de esta unidad, Aguirre et al. (1972) definen dos series metamórficas, la Serie Occidental y la Serie Oriental. En el área urbana de Curepto aflora la Serie Oriental, la cual está constituida por metagrauwacas, filitas, rocas córneas y gneises asociados a granitoides (Hervé et al., 1977; Ferraris, 1981). El basamento metamórfico se encuentra meteorizado (FIGURA N° 3-9), con espesores de hasta un metro de suelo y regolito.

FIGURA N° 3-9 Afloramiento de basamento metamórfico, con desarrollo de meteorización en el límite sur de Curepto



Fuente: Archivo Fotográfico

FIGURA Nº 3-10 Mapa Geológico del área urbana de Curepto



SIMBOLOGÍA ESPECÍFICA	
Unidades Geológicas	Depósitos Fluviales Activos
Depósitos Fluviales Activos	Depósitos Fluviales Activos de Llanura de Inundación
Depósitos Fluviales Activos de Llanura de Inundación	Depósitos Fluviales Activos de Quebradas
Depósitos Fluviales Activos de Quebradas	Depósitos Coluviales
Depósitos Coluviales	Depósitos de Sedimentación en Maras
Depósitos de Sedimentación en Maras	Depósitos Aluviales de Valle
Depósitos Aluviales de Valle	Depósitos Aluviales Antiguos
Depósitos Aluviales Antiguos	Sesamiento tectónico
Sesamiento tectónico	
CARTOGRAFÍA BASE	
Linea Urbana Geográfica	Curva de Nivel (cada 10 m)
Carretera	Vialidad
Canal	Hidrografía
Quebrada	Canal
Otros	Otros

MUS 1984
Proyección UTM de Mercurio (UTM)
Zona 18
Datum Antiguos Nivel medio del mar

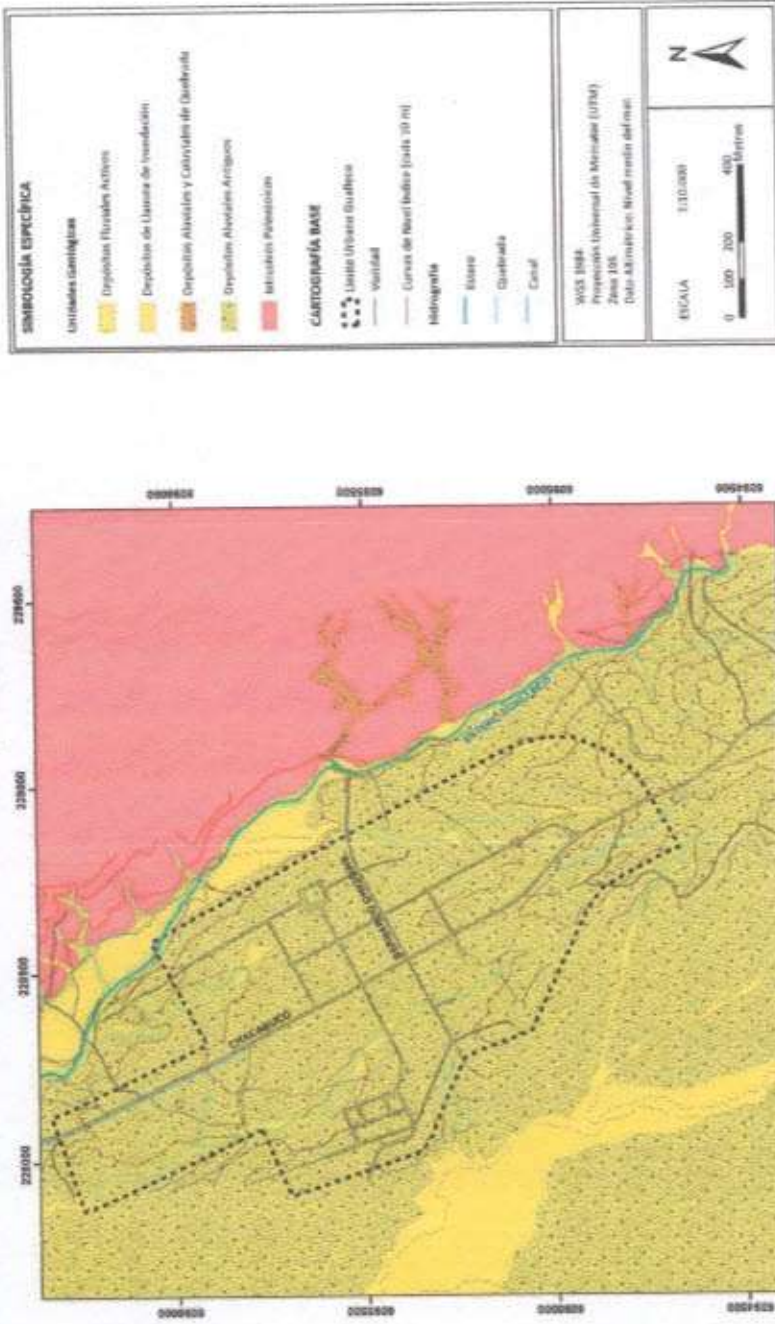
ESCALA 1:10,000

0 100 200 400 Metros

N

FUENTE: Elaboración propia a partir de muestra de observación ASTER GDEM

FIGURA N° 3-11 Mapa Geológico del área urbana de Curisaco



3.3.1.2 Basamento Granítico (Paleozoico Superior)

Corresponde a rocas de composición granítica de grano grueso, principalmente Tonalitas y Granodioritas, de edad Paleozoico superior. En la zona de estudio el Basamento Granítico aflora en el área urbana de Gualleco (FIGURA N° 3-11 y PLANO N°2 fuera de texto), donde se encuentra muy alterado, lo cual da una tonalidad rosácea a los cerros del sector. Es común observar el desarrollo de espesos perfiles de suelo, producto de la meteorización de estas rocas.

3.3.2 Depósitos No Consolidados

3.3.2.1 Depósitos Aluviales Antiguos

Corresponden a secuencias de relleno de valle, cuyo material clástico proviene de la meteorización de las laderas y quebradas aledañas. Estos depósitos se caracterizan por estar conformados por sedimentos de tamaño grueso (principalmente gravas), con lentes de arenas, limos y arcillas, los que en ocasiones se encuentran dispuestos en una estratificación cruzada. Estos depósitos se asocian a una topografía levemente inclinada valle abajo, la cual se ve interrumpida por la erosión actual en las cercanías de los cauces de los ríos principales. Se reconocen tanto en Curepto como en Gualleco (FIGURA N° 3-10, FIGURA N° 3-11, PLANOS N° 1 y N° 2).

3.3.2.2 Depósitos Aluviales de Valle

Corresponden a sedimentos acumulados de relleno de fondo de Valle, que se reconocen en las partes topográficamente más bajas del área de estudio. Corresponden principalmente a gravas, arenas, limos y arcillas que actualmente son erosionadas por el sistema fluvial actual y que engranan lateralmente con los depósitos de llanura de inundación.

3.3.2.3 Depósitos Fluviales Activos

Conformados por gravas, redondeadas y de alta esfericidad, arenas, con escaso contenido de limos y arcillas. Dentro del área de estudio se pueden reconocer distintos tipos de depósitos fluviales activos (FIGURA N° 3-10 y FIGURA N° 3-11):

- Depósitos Fluviales Activos: Se distribuyen en forma de bancos y barras dispuestos irregularmente en el lecho principal del río, con escaso nivel de aterramiento en los esteros del sector.).
- Depósitos Fluviales de Llanura de Inundación: Se ubican en las riberas de los principales esteros del área de estudio. Corresponde a sectores que normalmente se inundan durante precipitaciones intensas (crecidas del río). Normalmente presentan un nivel de aterramiento parcial.

- Depósitos Fluviales Activos de Esteros y Quebradas: Estos depósitos se distribuyen a lo largo de los cauces activos de esteros y riachuelos que drenan por las quebradas desde las laderas hacia los esteros principales. Normalmente se asocian a cauces angostos y no presentan terrazas asociadas.

3.3.2.4 Depósitos Coluviales y de Piedemonte

Los depósitos coluviales corresponden a brechas heterogéneas, subangulosas a subredondeadas, gravas, arenas y limos. Son sedimentos carentes de estratificación, ubicados al pie de los relieves montañosos en la zona. Estos depósitos están asociados principalmente a procesos gravitacionales, presentando una morfología de tipo abanico. Los depósitos coluviales y de piedemonte son especialmente abundantes en el sector de Curepto, asociados a la erosión de escarpes (FIGURA N° 3-10).

3.3.2.5 Depósitos de Remociones en Masa Recientes

Se identificaron depósitos de remoción en masa principalmente en Curepto (FIGURA N° 3-10). Estos depósitos poseen una morfología alargada, debido al encausamiento de los mismos en las quebradas y escarpes donde se desarrollan. Están compuestos de clastos subangulosos a subredondeados, mal seleccionados (de tamaños muy diversos), y de una matriz compuesta de arenas y limos, en porcentajes muy variables. Al ser depósitos producidos por colapsos gravitacionales de las laderas, estos carecen de estratificación, y se disponen en formas lobuladas cubriendo la geología anterior.

4. DESCRIPCIÓN Y CATASTRO DE INFORMACIÓN HISTÓRICA Y PREHISTÓRICA DE LOS RIESGOS NATURALES ANALIZADOS EN EL ÁREA DE ESTUDIO

En este capítulo se detallan los peligros geológicos que potencialmente podrían afectar el área de estudio, constituyendo un riesgo de catástrofe permanente o potencial, amenazando el emplazamiento de población.

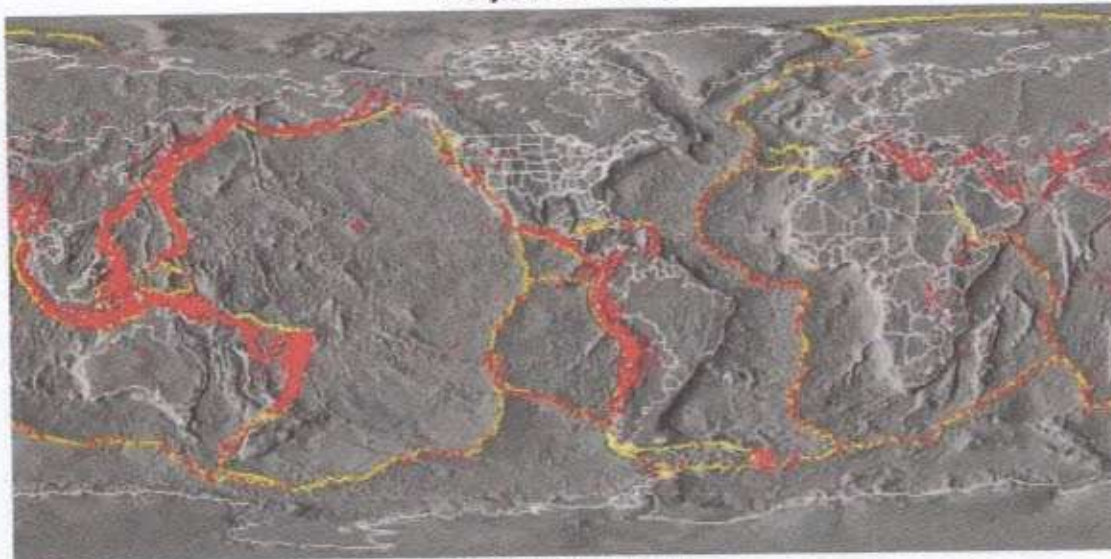
Para cada peligro, se describe en qué consiste, cuáles son sus factores condicionantes, y los principales efectos para la población y sus actividades. El análisis se realiza dividiendo los peligros geológicos en dos grupos, procesos internos o endógenos de la tierra (peligro sísmico y volcánico), y los procesos externos o exógenos (inundaciones y remociones en masa).

4.1 Procesos Internos o Endógenos de la Tierra – SISMICIDAD

4.1.1 Descripción del Peligro Geológico

La costa Oeste de Sudamérica está delineada por el borde occidental de la placa Sudamericana y se caracteriza por una intensa sismicidad debido a su convergencia con la placa de Nazca. En planta se aprecia una banda sísmica activa muy angosta (100-150 km) y de profundidad variable (~5-200 km) entre el cordón montañoso de los Andes y la fosa Perú-Chile. La FIGURA N° 4-1 ilustra la sismicidad mundial que resalta los márgenes de las placas tectónicas y muestra además, cómo Chile se encuentra en un ambiente de gran producción sísmica.

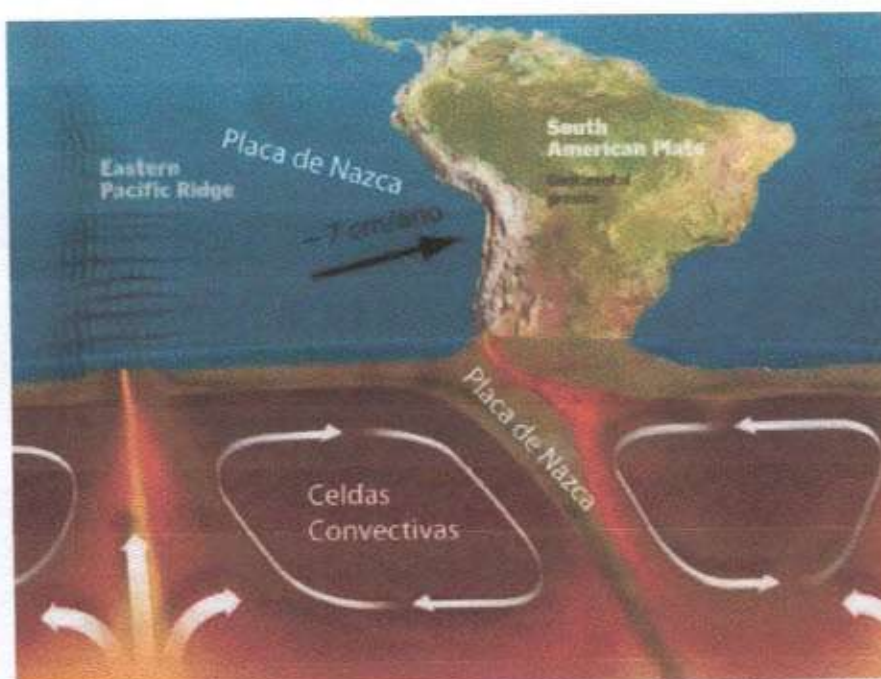
FIGURA N° 4-1 Sismicidad mundial entre los años 1980 y 1990, se representan en puntos rojos los epicentros con magnitud >5. Nótese como la sismicidad "ilumina" los límites de las placas tectónicas, dibujados en amarillo



Fuente: Washington University.

El margen de subducción donde se ubica Chile está caracterizado por una convergencia del orden de 8 cm/año (De Mets *et al.*, 1994). Una serie de fuerzas actúan sobre la Placa de Nazca, como por ejemplo el flujo convectivo de material del manto, que "mueve" a la placa en dirección al Este generando la convergencia, o el mismo peso de la placa oceánica que "tira hacia abajo" esta placa, favoreciendo la subducción (FIGURA N° 4-2). Debido a sus distintas composiciones, la placa oceánica que es comparativamente más densa (de composición basáltica) tiende a introducirse bajo la corteza continental menos densa (de composición granítica). Las fuerzas que actúan sobre la interface entre ambas placas así como las de interacción entre las placas y el manto generan el llamado acoplamiento sísmico interplaca, el que puede entenderse como la resistencia al deslizamiento en la zona de contacto entre ambas. A mayor acoplamiento interplaca la capacidad de generar terremotos de gran magnitud aumenta (Scholz, 1990).

FIGURA N° 4-2 Contexto geodinámico y margen de subducción de Chile



Fuente: Modificado de Enciclopedia Britannica (2008).

El sistema de subducción, además de acumular energía que se libera por sismos de interplaca, genera campos de esfuerzos en la placa continental, en la oceánica y en la zona de acople entre ambas. El método para descargar la energía acumulada es a través de diferentes tipos de sismos, ejemplificados en la FIGURA N° 4-3, que corresponde a:

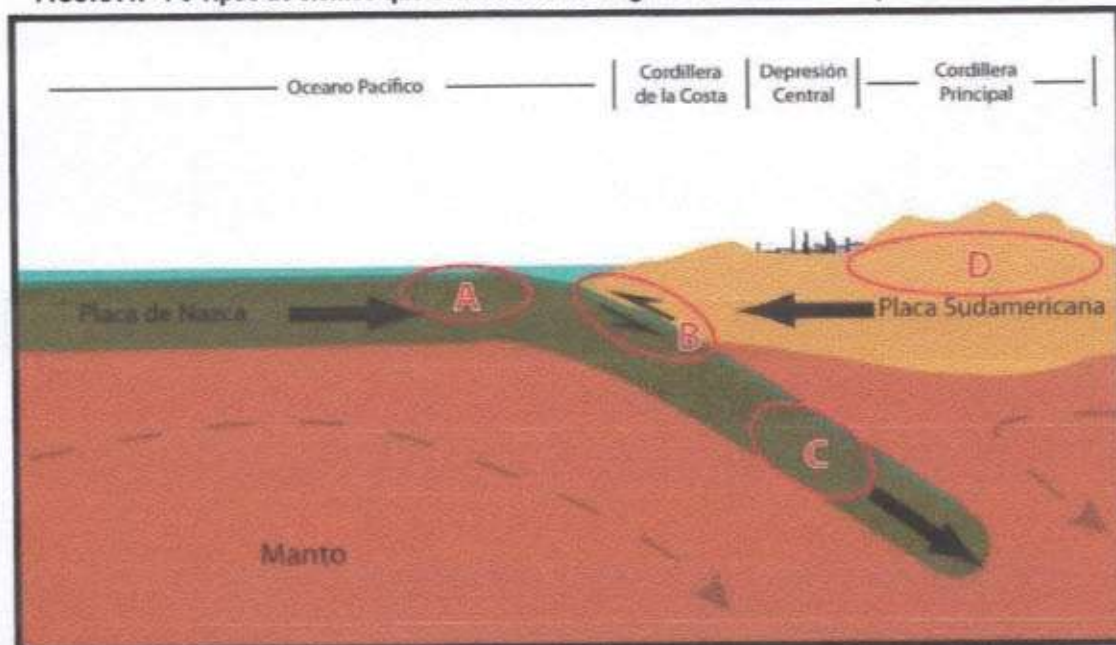
ZONA A) Sismos "Costa afuera", que se producen por los esfuerzos extensivos por abombamiento en la placa subductante antes de la zona de contacto. A pesar de llegar a tener magnitudes cercanas a $M_w = 6$, prácticamente no causan efectos significativos en áreas pobladas debido a su ocurrencia en zonas mar adentro.

ZONA B) Sismos asociados al contacto interplaca, como los ocurridos en Antofagasta 1995, Chile Central 1985, Mejillones 2005 y Constitución-Concepción en el 2010. Estos son producto de la liberación de energía acumulada por la convergencia de placas.

ZONA C) Sismos intraplaca de profundidad intermedia, como los sismos de Punitaqui 1997, Copiapó 2002, Calama 1950, Tarapacá 2005 y Chillán 1939. Se producen por el fracturamiento tensional de la placa de Nazca (la placa se quiebra por su propio peso).

ZONA D) Sismos superficiales intraplaca, como los sismos de Las Melosas en 1958, Aroma en 2001 y Curicó en 2004. Son producto del esfuerzo intraplaca inducido por la subducción, que a la vez contribuye a la generación de relieve. En general, los sismos superficiales intraplaca se encuentran asociados a fallas superficiales que pueden tener movimientos normales, inversos y de rumbo, que responden a campos de esfuerzos compresivos o extensivos.

FIGURA N° 4-3 Tipos de sismos que ocurren en un margen de subducción. Explicación en el texto



FUENTE: Elaboración propia.

Independientemente de la ubicación particular de uno u otro sismo, todos ellos corresponden a un desplazamiento violento paralelo al plano de falla que libera la energía acumulada en la interfaz. La energía que se acumula producto de la convergencia de placas, tanto en el contacto interplaca como en la corteza, en algún momento supera la resistencia de las rocas. En dicho instante se produce una ruptura que se propaga a través de un plano de falla, el que, de acuerdo a su geometría, generará diferentes tipos de movimientos (FIGURA N° 4-4). A su vez, esta ruptura conlleva una liberación de energía que se propaga por medio de ondas sísmicas.

FIGURA N° 4-5 Tipos de ondas sísmicas



Fuente: Modificado de Enciclopedia Britannica (2008).

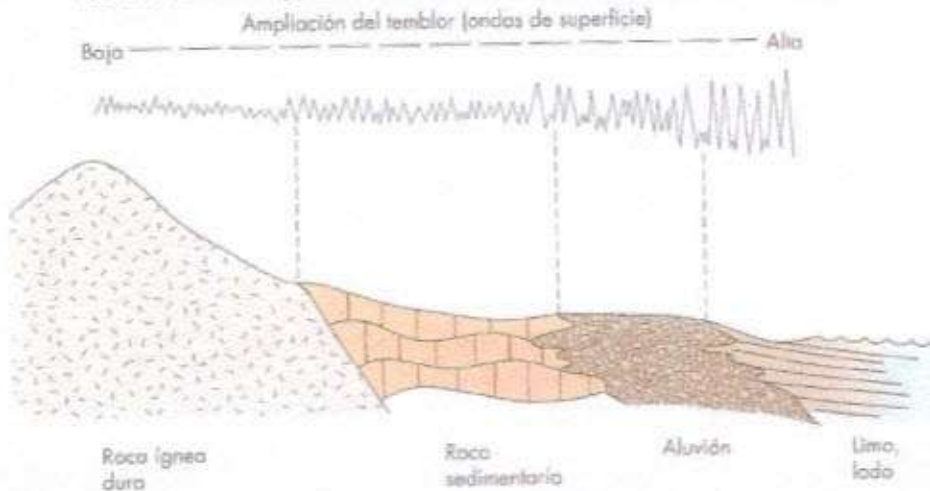
Para medir los sismos se utilizan, principalmente, dos escalas: *magnitud* e *intensidad*. La *magnitud* es una medida única y objetiva, que normalmente se relaciona con la escala de RICHTER (M_S). Actualmente para grandes sismos se utiliza la escala de magnitud de momento (M_W) que se calcula a partir del tamaño de la zona de ruptura y el desplazamiento medido para un sismo ocurrido, y da cuenta de la energía total liberada por el evento. La *intensidad* es una medida subjetiva del impacto de un sismo sobre la población, en términos de percepción humana del evento y sus efectos en la infraestructura. Este parámetro se mide en la escala de MERCALLI-CANCANI, denominada también como Modificada de Mercalli (M.M.).

Finalmente, debe destacarse el llamado "efecto sitio", que indica un condicionamiento de carácter local bajo el cual para un mismo terremoto y dependiendo del tipo de terreno donde uno se encuentra ubicado, las ondas sísmicas pueden amplificarse durante el desarrollo del terremoto (FIGURA N° 4-6).

El principal efecto asociado a la ocurrencia de sismos son fuertes movimientos del terreno, que originan un peligro directo sobre las estructuras y sobre las personas, debido a las fuertes aceleraciones generadas por las ondas sísmicas. Sumado a lo anterior, la ocurrencia de estos fenómenos es generalmente sin previo aviso, por lo que la única manera de mitigar el riesgo es con campañas de educación y estrictas normas de construcción. Muchos de estos fenómenos son acompañados por asentamientos en las superficies, normalmente irregulares, dañando construcciones, infraestructura y cañerías. Esto implica en una alta vulnerabilidad estructural, económica y social. Particularmente con respecto a esta última se deben mencionar las potenciales pérdidas de vidas humanas y heridos por el derrumbe de estructuras, además de la vulnerabilidad a

enfermedades gastrointestinales y epidemias por el colapso de los sistemas sanitarios y de conectividad, entre los innumerables efectos adversos para la sociedad que provocan este tipo de fenómenos.

FIGURA N° 4-6 Amplificación de la vibración generada por un terremoto



Fuente: Keller y Blodgett (2004).

Más allá de los efectos directos mencionados anteriormente, los sismos pueden también inducir la ocurrencia de otros fenómenos, como es el caso de procesos de remoción en masa (caídas de bloques y deslizamientos), maremotos y licuefacción.

Los deslizamientos y derrumbes se dan en diversos tipos de suelos y bajo variadas condiciones sismotectónicas, incluso se han detectado en sismos de grado $M_w = 4.0$. La cantidad y severidad de estos están en directa relación con la cercanía al epicentro y la magnitud del evento causante (Keefer, 1984, Sepúlveda et al., 2006, 2010). Sea cual sea su origen, los deslizamientos y derrumbes están asociados principalmente a tres factores: las pendientes del terreno, la resistencia mecánica de los materiales involucrados y antecedentes de eventos anteriores (Centeno et al., 1994; Sancho, 1997). Para más detalle acerca de estos procesos ver la sección 4.4 *Procesos Externos o Exógenos de la Tierra – REMOCIONES EN MASA*.

Los maremotos corresponden a una ola o un grupo de olas de gran energía y tamaño que se producen cuando algún fenómeno extraordinario desplaza verticalmente una gran masa de agua y en aproximadamente un 90% de los casos, estos fenómenos son provocados por terremotos. La energía de un maremoto depende de su altura (amplitud de la onda) y de su velocidad, y estará asociada a la magnitud del evento que lo generó.

Otro proceso que se asocia comúnmente a la actividad sísmica es la licuefacción del terreno, que corresponde al fenómeno donde un material sólido saturado en agua se comporta como líquido a causa de la intensa vibración. Las ondas sísmicas hacen aumentar la presión de agua presente en el sedimento, de forma que los granos de arena o limo pierden el contacto entre ellos causando una pérdida de resistencia del sólido y permitiendo que el depósito pueda fluir. Bajo estas condiciones, el suelo puede perder su capacidad de soporte de estructuras, producir deslizamientos (incluso en superficies con muy bajas pendientes) y formar volcanes de arena. Muchos de estos fenómenos son

acompañados por asentamientos en las superficies, normalmente irregulares, dañando construcciones, infraestructura y cañerías.

Para la ocurrencia de licuefacción se requiere de tres factores:

1. Depósitos o suelos, granulares poco consolidados (suelos y no cementados) de tamaño fino a medio (limo a arena, aunque en algunos casos se ha presentado en arcillas y en gravas). Típicamente pueden ser rellenos artificiales, especialmente aquellos creados por relleno hidráulico (ej. puertos y tranques de relaves), depósitos eólicos (dunas), depósitos de playas o de cursos de agua lo suficientemente jóvenes para estar sueltos. Los suelos con partículas de diferentes tamaños son menos propensos a sufrir licuefacción, debido a que las partículas menores tienden a rellenar los espacios entre las mayores, reduciendo así la tendencia a densificación del suelo y evitando los efectos del aumento de presión de agua. También influye la forma de las partículas que conforman el suelo, siendo un depósito de partículas redondeadas más susceptible de sufrir licuefacción.
2. Saturación de los depósitos por aguas subterráneas, el agua debe rellenar los espacios entre los granos de limo o arena. Puede producirse en zonas donde el nivel de agua subterránea es somero como en desembocadura de cursos de agua, humedales, pantanos, vegas y zonas costeras.
3. Fuertes movimientos sísmicos, durante los cuales las ondas sísmicas aumentan la presión del agua contenida en los depósitos. Cabe destacar, que todo Chile, en especial desde la península de Taitao al Norte, tiene el potencial de ser afectado por grandes terremotos.

4.1.2 Resultados del Catastro de Información Histórica de Sismicidad

Para el caso de la sismicidad se analizaron los terremotos asociados a subducción, profundidades intermedias y corticales. Se describen los mayores eventos reportados, así como su ubicación espacial, alcance y daños reportados. En base a la recopilación realizada, se diagnosticó y describió la susceptibilidad para el peligro geológico reconocido en el subcapítulo 5.1.1 "Peligro Sísmico".

4.1.2.1 Antecedentes Históricos de Terremotos en Chile entre los 33° y 40°S.

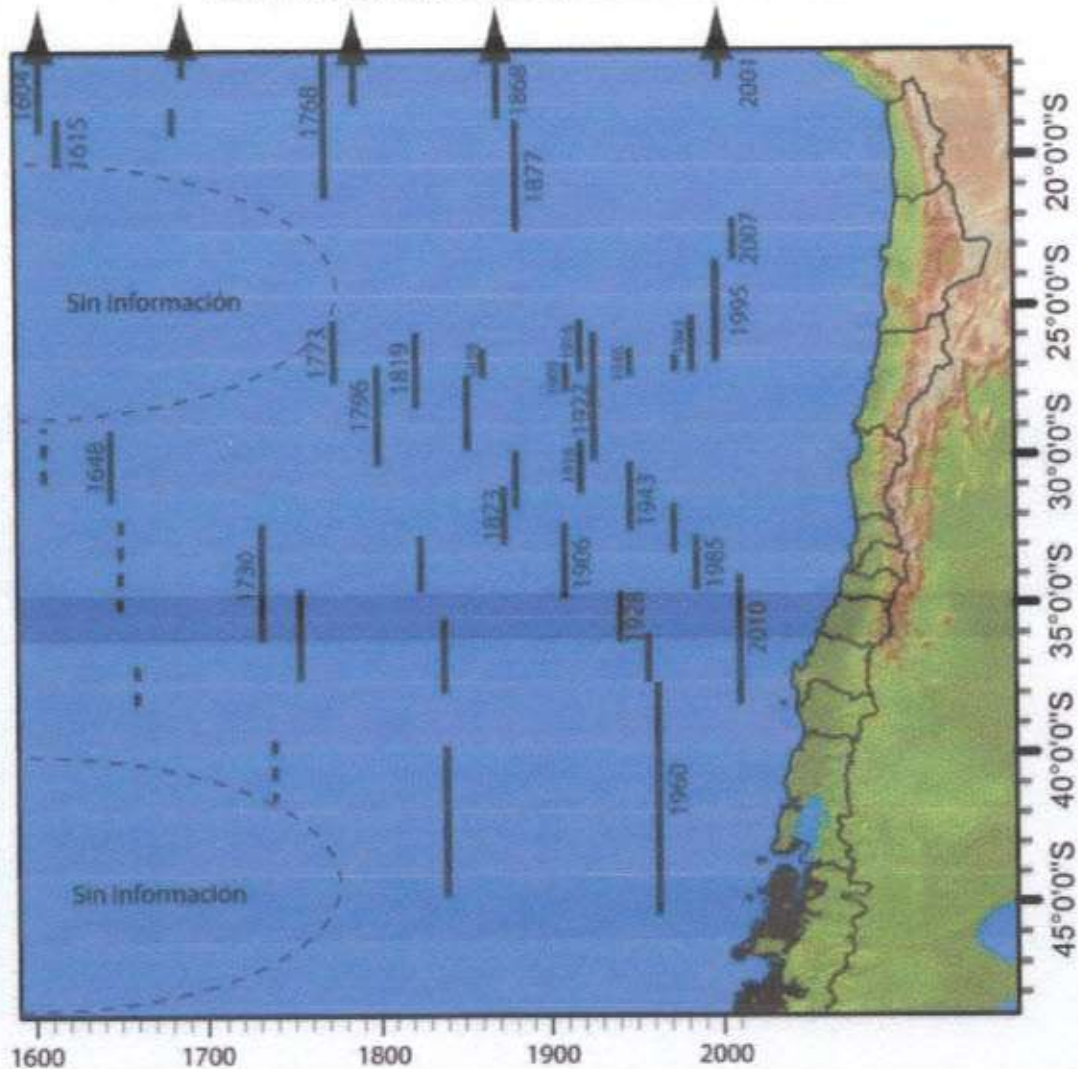
La costa Oeste de Sudamérica está delineada por el borde oriental de la placa tectónica Sudamericana y se caracteriza por su sismicidad debido a su encuentro con la placa tectónica de Nazca. Existe una banda sísmica activa muy angosta (100-150 kilómetros de ancho) y profundidad variable (entre 5 y 150 Km. de profundidad) entre el cordón montañoso de los Andes y la fosa Perú-Chile.

La costa de Chile históricamente ha sido afectada por grandes terremotos, varios acompañados de maremotos destructivos. En la FIGURA N° 4-7 se grafican los más importantes sismos de subducción que han ocurrido en el periodo histórico.

La zona del Centro – Sur de Chile (33° - 46° S), se caracteriza por una sismicidad intensa, como los sucesivos terremotos que han afectado a la ciudad de Valparaíso, Concepción y Valdivia desde los

tiempos de la conquista. A continuación se detalla el catastro realizado de sismos reportados entre los 33° y 40° S. Los mayores sismos son destacados en la FIGURA N° 4-7, donde se muestran las zonas de ruptura asociadas a estos terremotos. Las magnitudes asociadas a cada sismo son aproximadas, puesto que no existía instrumental sismológico de precisión hasta la década de 1950.

FIGURA N° 4-7 Terremotos de subducción históricos con magnitud estimada y calculada mayor a 7.2, y sus áreas de ruptura. En línea continua las zonas de ruptura bien identificadas, en línea discontinua las zonas de ruptura inferidas a partir de datos históricos



FUENTE: Elaboración Propia (Nishenko, 1985; COMTE et al., 1986; Comte y Pardo, 1991; Comte et al., 2002; Lara y Rauld, 2003).

SIGLO XVI

Terremoto de Lebu, 28 de Octubre de 1562, Un sismo de intensidad X en la escala de Mercalli produjo daños significativos en la ciudad de Lebu. El epicentro parece estar ubicado en el Sur de la península de Arauco. El sismo provocó la destrucción completa de Ciudad Imperial y un tsunami que

siguió al terremoto afectó la costa por una distancia de 1.200 kilómetros y causó numerosas víctimas entre los aborígenes.

Epicentro del terremoto: latitud 38,0° S; longitud 73,5° W
Magnitud estimada: 8,0 Richter

Terremoto de Concepción (actualmente Penco), 8 de Febrero de 1570, de acuerdo a registros el mar retrocedió alrededor de diez kilómetros para posteriormente inundar completamente la ciudad, dejando algunas embarcaciones encalladas y terminando de destruir lo poco que se había salvado del terremoto.

Epicentro del terremoto: latitud 36,5° S; longitud 74° W
Magnitud estimada: 8 – 8,5 Richter
Variación máxima del nivel del mar: 4 metros en La Concepción

Terremoto de Valdivia, 16 de Diciembre de 1575, con tsunami asociado que destruyó las ciudades de Valdivia y Toltén.

Epicentro del terremoto: latitud 38,5° S; longitud 74,5° W
Magnitud estimada: 8,5 Richter
Variación máxima del nivel del mar: 4 metros en Corral

SIGLO XVII

Temblor de Santiago, 13 de Mayo de 1647. Terremoto en Santiago y sus alrededores. Hay informes de fuertes movimientos del mar a lo largo de toda la costa, cuyas ondas fueron lo suficientemente altas para sumergir los cerros costeros.

Epicentro del terremoto: latitud 33,0° S; longitud 71,5° W
Magnitud estimada: 8,5 Richter

Terremoto de Concepción, 15 de Marzo de 1657, fuerte terremoto ocurrió entre las provincias de Maule y Cautín, aproximadamente entre las latitudes 36° S y 39° S, alrededor de las 20:00 horas. El terremoto, en la ciudad de Concepción, destruyó completamente la mayoría de las casas, permaneciendo de pie solo una iglesia. Dos horas más tarde arribó el maremoto cubriendo la parte baja de la ciudad y alcanzó hasta el centro de la plaza. Más personas murieron ahogadas que por el efecto mismo del terremoto.

Epicentro del terremoto: latitud 37° S; longitud 72,8° W
Magnitud estimada: 8,0 Richter
Variación máxima del nivel del mar: 4 metros en Concepción (Penco)

SIGLO XVIII

Terremoto de Valparaíso, 8 de Julio de 1730. Sismo que afectó a toda el área central, causando daños en Valparaíso, La Serena, Coquimbo, Illapel, Petorca y Tiltil. El maremoto resultante fue muy grande y afectó alrededor de 1.000 kilómetros de costa, desde Callao a Valdivia, dañando las

ciudades de Concepción y se reportaron efectos en la ciudad de Honshu, Japón. Al llegar a la Bahía de Concepción desde el Norte el fenómeno se manifestó de manera similar a los anteriores, el mar se retiró aproximadamente un kilómetro de la playa y cuatro olas gigantes seguidas destruyeron los 2/3 de Concepción, arrastrando los objetos al mar. La ciudad de Concepción fue una de las más afectadas por el maremoto. En Valparaíso, el maremoto sólo inundó las partes bajas y arrasó las bodegas más inmediatas a la playa.

Epicentro del terremoto: latitud 32,5° S; longitud 71,5° W
Magnitud estimada: 8,7 Richter
Variación máxima del nivel del mar: 16 metros en La Concepción

Terremoto de Concepción, 25 de Mayo de 1751. Tercer terremoto y maremoto destructores en La Concepción. La mayor parte de los daños causados por el sismo ocurrieron desde Curicó a La Concepción, e incluso se reportaron daños en Santiago, destruyéndose además Chillán, Cauquenes y Talca. El maremoto arribó a La Concepción alrededor de media hora después del terremoto, con un retiro inicial del mar seguido por tres grandes ondas de maremoto. Las oscilaciones del mar continuaron con menores amplitudes hasta por lo menos el mediodía. El maremoto fue el más grande experimentado en la ciudad y al poco tiempo se planteó su traslado tierra adentro hasta su ubicación actual. El maremoto también fue destructor en Juan Fernández, donde perecieron 35 personas incluyendo el Gobernador.

Epicentro del terremoto: latitud 36,5° S; longitud 74,0° W
Magnitud estimada: 8,5 Richter
Variación máxima del nivel del mar: 3,5 metros en Concepción

Terremoto de Valdivia, 24 de Diciembre de 1737. Desde Valdivia hasta Chiloe se sintió el terremoto del 24 de Diciembre, el cual según fuentes de la época sobrepasó los 8,5 grados en la escala de Mercalli. El sismo en Valdivia produjo el derrumbe de casas, hundimiento de terreno y el desborde de ríos. El movimiento telúrico fue acompañado de tres grandes réplicas y por la erupción del volcán Osorno.

SIGLO XIX

Terremoto de Concepción, 20 de Enero de 1816. Un sismo produce significativos daños en Concepción provocando muchas trizaduras en edificios. Es el primero que afecta a la ciudad en su nueva ubicación. Tuvo una intensidad de VIII en la escala de Mercalli en esa ciudad.

Terremoto de Valparaíso, 19 de Noviembre de 1822. Terremoto en Valparaíso precedido por varios sismos que ocurrieron desde el día 14 al 17 y con numerosas réplicas durante los tres días posteriores al terremoto. En Valparaíso se destruyeron la mayor parte de los edificios públicos y alrededor de 700 casas particulares. También hubo gran destrucción en Casablanca y Quillota. El maremoto arribó a la costa de Valparaíso 15 minutos después de ocurrido el terremoto con un retiro de las aguas y un posterior alzamiento del nivel del mar que arrojó algunas embarcaciones menores a las puertas de la Aduana, localizada 3,5 metros sobre el nivel de las altas mareas. Se registraron un total de 3 ondas de maremoto.

Epicentro del terremoto: latitud 33,0° S; longitud 72,5° W
 Magnitud estimada: 8,3 Richter
 Variación máxima del nivel del mar: 3,5 metros en Valparaíso

Terremotos de Concepción, 1831 y 1832. El 24 de Diciembre de 1831 se reportó un sismo con una intensidad de VIII en la escala de Mercalli. Un mes más tarde, el 21 de Enero de 1832, se produjo un remezón similar.

Terremoto de Concepción, 20 de febrero de 1835. Por cuarta vez en su historia, la zona de Concepción fue impactada por un fuerte terremoto y posterior maremoto. Hubo 50 muertos y 30 desaparecidos en la ciudad de Concepción, pero también hubo víctimas en Talcahuano, Chillán, Constitución, Cauquenes y Talca. Todas las ciudades al Sur de Rancagua sufrieron daños. No hubo estragos en los edificios de Santiago, pero se observaron ondulaciones periódicas del agua en numerosas zanjas de irrigación. La ciudad de Chillán fue destruida en su totalidad. Se decidió reconstruirla en un lugar más seguro unos 3 km del sitio anterior. No todos los vecinos se cambiaron al nuevo lugar, por lo que la ciudad quedó dividida en Chillán Viejo y Chillán Nuevo.

El maremoto comenzó con una gran retirada del mar que, media hora después de ocurrido el terremoto, dejó casi seca la bahía de Talcahuano dejando varadas a numerosas embarcaciones. La primera onda llegó en la bahía a alturas de 9 metros sobre el nivel de la marea alta, seguidas en un corto lapso por dos ondas más de alturas superiores. Las casas ubicadas en isla Quiriquina a alturas de 13 metros sobre el nivel del mar fueron destruidas por el maremoto que inundó completamente a Talcahuano y también a las instalaciones portuarias ubicadas en Juan Fernández. En Valparaíso las amplitudes fueron bajas y en Castro produjo estragos.

Se estima una magnitud de 8 para este terremoto cuyo epicentro estaría a menos de 30 km de la ciudad de Concepción. Se generó además un maremoto de proporciones que agregó más destrucción. Dentro de la historia de Chile, el terremoto del 20 de Febrero de 1835 se conoce como "La Ruina"

Epicentro del terremoto: latitud 36,8° S; longitud 73,0° W
 Magnitud estimada: 8-8,2 Richter
 Largo estimado de la dislocación: 210 kilómetros
 Variación máxima del nivel del mar: 13 metros en isla Quiriquina

Terremoto de Valdivia, 7 de Noviembre de 1837. De acuerdo a los escritos dejados por Claudio Gay, el terremoto de Valdivia afectó a las ciudades de Talca, Concepción, Valdivia y Osorno, y reporta un gran daño a los edificios fiscales. De acuerdo a las crónicas, este terremoto no produjo un maremoto con grandes efectos en Chile, si se propagó por el océano Pacífico, siendo registrado en Samoa, Archipiélago Tuamotu, islas Tonga, Hilo, Hawaii, donde murieron alrededor de 50 personas y en Honshu, Japón.

Epicentro del terremoto: latitud 42,5° S; longitud 74,0° W
 Magnitud estimada: >8,0 Richter
 Largo estimado de la dislocación:
 Variación máxima del nivel del mar: 2 metros en Ancud

SIGLO XX

Terremoto de Valparaíso del 16 de Agosto de 1906. Gran terremoto en la zona de Valparaíso con intensidades IX en la escala Mercalli desde Papudo a la desembocadura del río Rapel. El maremoto generado fue relativamente menor con alturas máximas de poco más de 1 metro sobre el nivel de la marea alta. No hubo daños en la bahía de Valparaíso causados por este maremoto. El maremoto fue registrado en Hawái, Japón, Estados Unidos e islas Marquesas donde produjo daños a una iglesia.

Epicentro del terremoto: latitud 33,0° S; longitud 72,0° W
 Magnitud calculada: 8,3 Richter
 Largo estimado de la dislocación: 340 kilómetros
 Variación máxima del nivel del mar: 1,5 metros en Valparaíso

Terremoto de Talca y Constitución, 1 de Diciembre de 1928. Terremoto que provoca destrucción desde Valparaíso a Concepción, ocurrido a las 00:07 horas. Hubo 108 muertos en Talca, 67 en Constitución y alrededor de 50 en los pueblos aledaños y 500 heridos. Durante toda la mañana del 1 de Diciembre se observaron inundaciones inusuales a lo largo de la costa de Chile central. En Constitución el agua se elevó 1,5 metros sobre el nivel de la alta marea.

Epicentro del terremoto: latitud 35,0° S; longitud 72,0° W
 Magnitud calculada: 7,9 Richter
 Variación máxima del nivel del mar: 1,5 metros en Constitución

Terremoto de Chillán, 24 de Enero de 1939. Sismo que sacudió a Chillán y a todas las ciudades colindantes, con una intensidad registrada de 7,8° en la Escala Richter. Ostenta el record de la mayor cantidad de muertos en un sismo en la historia de Chile, con alrededor de 30.000 víctimas fatales. A diferencia de los otros sismos nombrados, corresponde a un terremoto de intraplaca, asociado al quiebre de la placa de Nazca en profundidad. En la escala de Mercalli Modificada, el terremoto tuvo las siguientes intensidades: Arica III, Iquique y Antofagasta IV, La Serena VI, Valparaíso, Santiago y Rancagua VII, Talca VIII, Parral IX, Cauquenes, Quirihue, Bulnes y Concepción, X; Chillán XI, Arauco IX, Los Ángeles y Angol VIII, Temuco VIII, Valdivia VI, Puerto Montt V y Aysén IV.

Terremoto de Lebu e Isla Mocha, 20 de Abril de 1949. Diez años después del Terremoto de Chillán, un terremoto de magnitud 7.2, destruye el 80% de la ciudad de Angol provocando un ambiente de pánico y confusión en la población. Tuvo una intensidad de IX en la escala de Mercalli Modificada, VIII en Concepción, Temuco y Los Ángeles y VII en Chillán, Valdivia y Talca. En Lebu también produjo algunos daños a los que se sumó un maremoto. En Concepción se sintió el sismo sin provocar daños materiales ni personales. El epicentro parece estar ubicado cerca de la Isla Mocha a 70 km de profundidad. Un sismo de magnitud 7.2 se produjo a las 11:32 hrs. El epicentro se localizó 25 km al Sur de Lebu. Se generó un maremoto que inundó parte de la ciudad hasta la plaza de armas. La resaca siguiente fue brusca y rápida, arrastrando numerosos objetos al mar.

Terremoto de Tomé, 6 de Mayo de 1953. Terremoto frente a las costas de Tomé, alcanzando una magnitud de 7,6 en la escala de Richter y provocando 12 muertes. La zona más afectada, fue la misma del terremoto de 1939, es decir, Concepción y Chillán. En Concepción el 15% de las

edificaciones resultaron dañadas y en Chillán, el daño fue mayor aún, donde tuvo una intensidad de X (MM). En la ciudad de Tomé, la violencia del movimiento hizo que las casas habitación de la gente modesta, sufrieran considerables daños, quedando muchas familias a la intemperie. Los daños se remitieron al agrietamiento de murallas, techos hundidos, etc. Las industrias textiles de la localidad y Bellavista no sufrieron daños materiales de consideración. Hubo quebrazón de vidrios y pedazos de murallas desprendidas. La gente se aglutinó en la Plaza de Armas y lanzaban gritos histéricos lo que hizo más confusa la situación. En Cauquenes se cayeron murallas de casas viejas. En Coronel la mayoría de los edificios resultaron con grietas en muros y techos y se cortó la luz y agua. En Bulnes el sismo provocó grietas en las murallas y destrozos totales o parciales en las techumbres. Dos heridos graves y 25 casas derrumbadas y semidestruidas, fue el balance en la localidad de Florida.

Terremotos del 21 y 22 de Mayo de 1960 en Valdivia y en otras ciudades del Sur de Chile, Terremotos que causaron gravísimos daños en las provincias comprendidas entre Concepción y Chiloé, siendo las ciudades más afectadas las de Valdivia, Puerto Montt, Ancud, Castro y Corral. Este terremoto originó un maremoto de tales proporciones que asoló todos los puertos de esa zona produciendo enormes daños y alrededor de 1.000 víctimas. El maremoto se propagó por toda la cuenca del océano Pacífico causando daños y víctimas en Hawaii, Oceanía y Japón.

Epicentro del terremoto: latitud 38,5° S; longitud 74,5° W
Magnitud calculada: 9,5 Richter
Variación máxima del nivel del mar: 15 metros en Ancud

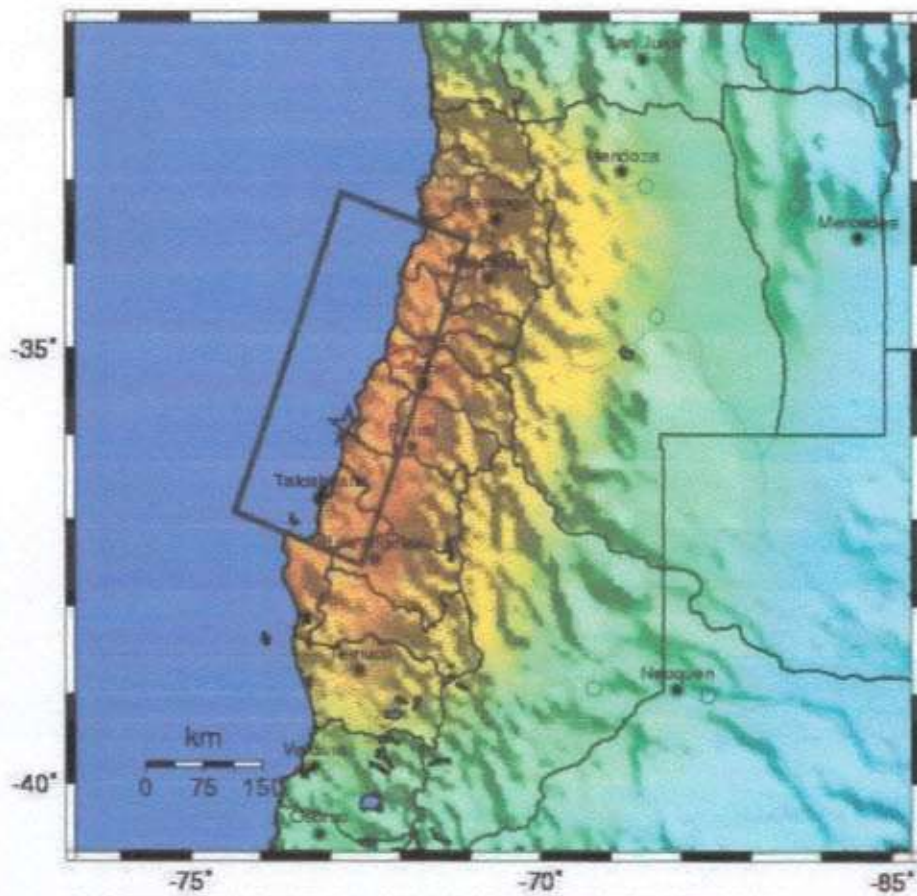
Terremoto del 3 de Marzo de 1985. Terremoto en Valparaíso. Extenso daño en Valparaíso y pueblos aledaños. Hubo 177 muertos y miles de heridos. Se produjo un pequeño maremoto que no produjo daños, pero fue registrado a lo largo de la costa de Chile.

Epicentro del terremoto: latitud 33,11° S; longitud 71,61° W
Magnitud calculada: 8,0 Richter
Variación máxima del nivel del mar: 1,2 metros en Valparaíso

Terremoto del 27 de febrero de 2010. Terremoto Constitución - Concepción. Extensos daños en Araucanía, Biobío, Maule, O'Higgins, Región Metropolitana y Valparaíso. Hubo 521 muertos, 12.000 heridos y un total de 1,8 millón de personas afectadas. En la escala de Mercalli Modificada, el terremoto tuvo las siguientes intensidades: Concepción IX, Chiguayante, Coronel, Lebu, Nacimiento, Penco, Rancagua, Santiago, San Vicente, Talca, Temuco y Tome VIII, desde La Ligua hasta Villarrica VII, Ovalle y Valdivia VI. Se sintió hasta Iquique y Punta Arenas. En Argentina se sintió en Cutral-Có y San Juan V, Córdoba y Mendoza IV y en Buenos Aires III. En Sao Paulo, Brasil II. La FIGURA N° 4-8 muestra las intensidades reportadas por el USGS para este terremoto. El maremoto posterior causó daños y destruyó edificios en Concepción, Constitución, Dichato y Pichilemu. Se observaron hasta 2 metros de alzamiento en la costa cerca de Arauco. En el periodo entre el 27 de febrero y el 26 de Abril de 2010, el USGS localizó 304 réplicas de magnitud 5 o mayor de las cuales 21 fueron de magnitud 6 o mayor (FIGURA N° 4-8).

Epicentro del terremoto: latitud 36,29° S; longitud 73,24° W
Magnitud calculada: 8,8 Richter
Variación máxima del nivel del mar: 2,6 metros en Valparaíso

FIGURA N° 4-8 Mapa de intensidades reportadas producto del terremoto del 27 de febrero de 2010. La ubicación del epicentro está indicada en el mapa con una estrella. La comuna de Curepto está indicada por el círculo rojo



Map Version 7 Processed Fri Mar 5, 2010 03:00:13 AM MST -- NOT REVIEWED BY HUMAN

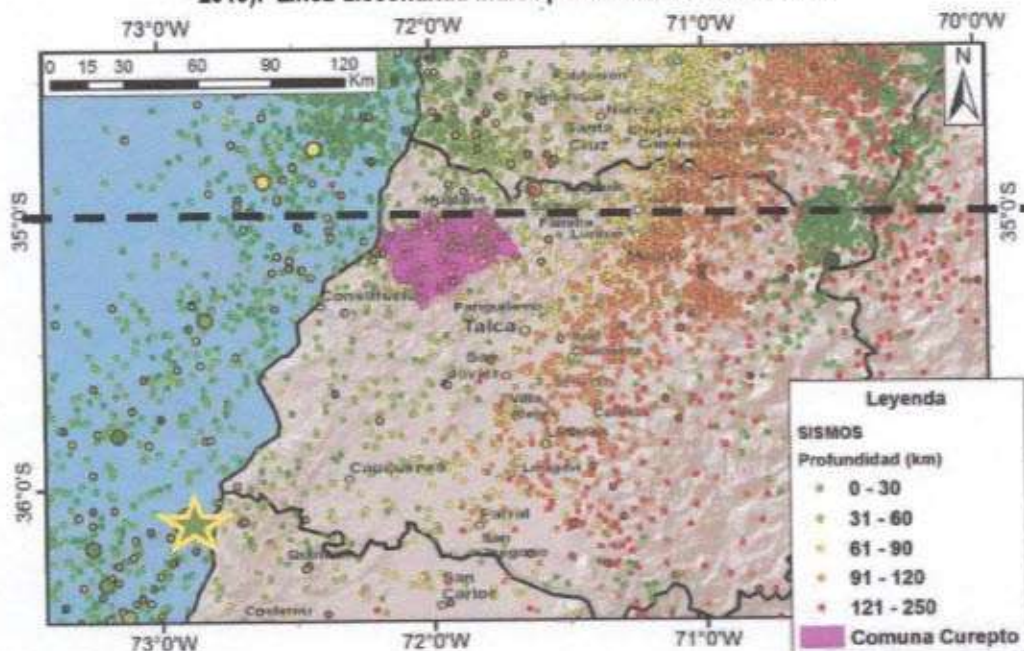
PERCEIVED SHAKING	Not felt	Weak	Light	Moderate	Strong	Very strong	Severe	Violent	Extreme
POTENTIAL DAMAGE	none	none	none	Very light	Light	Moderate	Moderate/Heavy	Heavy	Very Heavy
PEAK ACC. (%g)	<.17	.17-1.4	1.4-3.9	3.9-9.2	9.2-18	18-34	34-65	65-124	>124
PEAK VEL.(cm/s)	<0.1	0.1-1.1	1.1-3.4	3.4-8.1	8.1-18	18-31	31-60	60-110	>110
INSTRUMENTAL INTENSITY	I	II-III	IV	V	VI	VII	VIII	IX	X

Fuente: USGS, 2010. Disponible en: <http://earthquake.usgs.gov/earthquakes/shakemap/global/shake/2010/fan/>

4.1.2.2 Fuentes sísmicas en el área de estudio

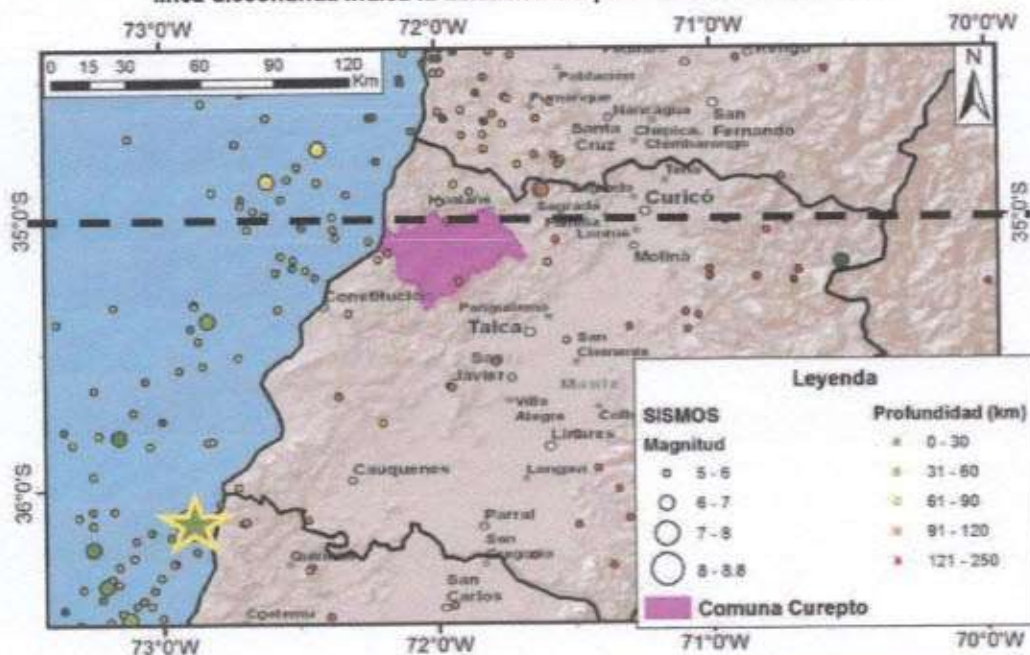
En la FIGURA N° 4-9 se muestran los todos sismos ocurridos entre 1973 y febrero de 2011 en el área de estudio y sectores cercanos, recopilados a partir del Catálogo NEIC del Servicio Geológico Estadounidense (USGS) y en la FIGURA N° 4-10 se detallan sólo los sismos de magnitud mayor a 5, indicando en ambas figuras la ubicación del epicentro del terremoto del 27 de febrero de 2010.

FIGURA N° 4-9 Profundidad de todos los sismos ocurridos entre los 34° 30' y 36° 30' de latitud sur, desde el año 1973 a febrero de 2011 (la estrella indica el epicentro del terremoto del 27 de Febrero de 2010). Línea discontinua indica perfil de la FIGURA N° 4-11



Fuente: Elaboración propia en base al Catálogo NEIC 1973-2011 del USGS (disponible en <http://earthquake.usgs.gov/regional/neic/>)

FIGURA N° 4-10 Sismos de magnitud > 5 ocurridos entre los 34° 30' y 36° 30' de latitud sur, desde el año 1973 a febrero de 2011 (la estrella indica el epicentro del terremoto del 27 de Febrero de 2010). La línea discontinua indica la ubicación del perfil de la FIGURA N° 4-11



Fuente: Elaboración propia en base al Catálogo NEIC 1973-2011 del USGS (disponible en <http://earthquake.usgs.gov/regional/neic/>)

En el área de estudio, se reconocen las siguientes fuentes sísmicas, destacadas en la FIGURA N° 4-11:

Sismos Intraplaca Costa Afuera: se producen por los esfuerzos extensivos por abombamiento en la placa subductante antes de la zona de contacto. A pesar de llegar a tener magnitudes cercanas a $MW = 6$, prácticamente no causan efectos significativos en áreas pobladas debido a su ocurrencia en zonas mar adentro, por lo que no es una fuente sísmica que pueda afectar potencialmente a la comuna de Curepto.

Sismos Interplaca o de Subducción: Corresponden a aquellos eventos que se producen en el contacto entre las placas de Nazca y Sudamericana (ver FIGURA N° 4-2). Se extienden desde la fosa hasta unos 50 km de profundidad, límite máximo del contacto en la zona de estudio. Este tipo de eventos alcanzan grandes magnitudes, como el gran terremoto de Valdivia de 1960 ($Mw=9.5$) y del 27 de febrero reciente (Maule 2010, con $Mw=8.8$), por lo que se considera una fuente activa que puede generar terremotos destructivos en la zona.

Sismos Intraplaca de Profundidad Intermedia: Esta fuente está compuesta por sismos que ocurren dentro de la placa de Nazca, después de la zona de contacto; ellos poseen profundidades mayores de 50 km y llegan hasta los 150-200 km. Recientemente, se ha puesto en evidencia que este tipo de eventos poseen notorias diferencias con los de contacto interplaca en las características de la fuente, reflejándose en mayores daños producidos en la zona epicentral y altas aceleraciones máxima reportadas. Este tipo de fuente se caracteriza por tener una magnitud máxima creíble de $MS=8.0$, similares al terremoto de Chillán de 1939. Se considera como una fuente posible para generar terremotos en la zona.

Sismos Superficiales Intraplaca: Corresponde a sismos producidos por fallas superficiales, cuyos focos se encuentran a una profundidad menor a 30 km, y están asociados a fallas geológicas activas en superficie, pudiendo generar sismos de magnitud $Mw = 7$, similares al terremoto del Teno del año 2004. Dada la distancia a estos epicentros y a fallas activas (ver Capítulo 4.1.2.3 "Fallas inactivas, potencialmente activas y activas"), no se considera una fuente sísmica que pueda afectar a la comuna de Curepto.

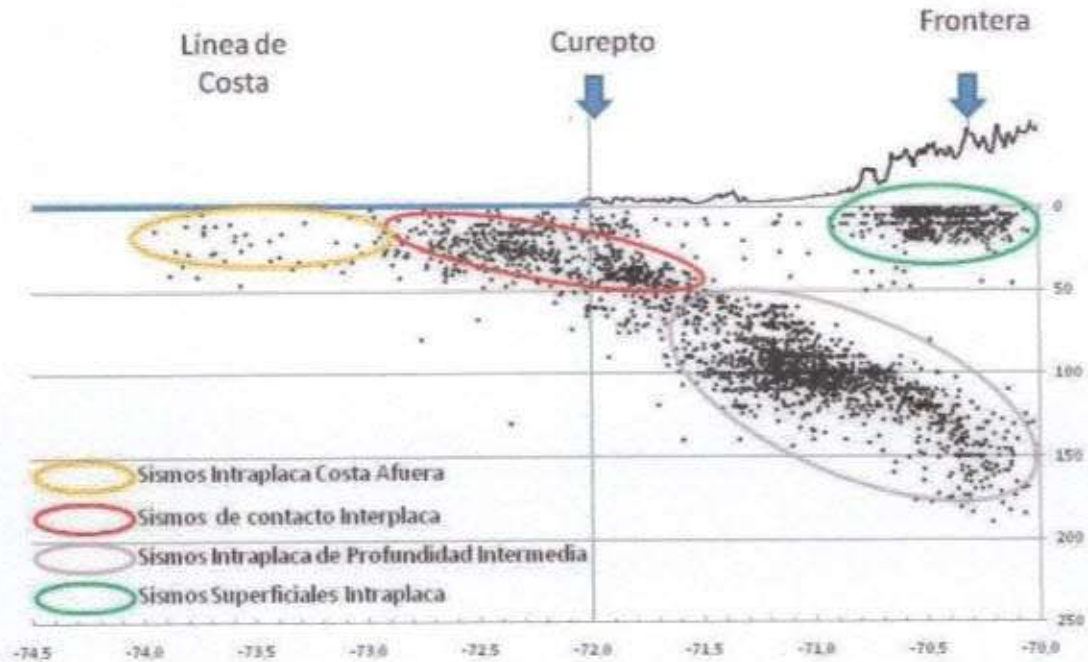
4.1.2.3 Fallas inactivas, potencialmente activas y activas

El margen continental donde se encuentra ubicado Chile es un margen activo, caracterizado por la convergencia entre las placas de Nazca y Sudamericana donde los registros geológicos evidencian una larga historia de deformación de la corteza continental. Diversas estructuras geológicas como fallas, pliegues y fracturas afectan a prácticamente todas las unidades de roca presentes en la zona y son responsables en gran parte de la creación y evolución del relieve.

Las fallas en la corteza continental son producto de los campos de esfuerzos predominantes en ésta, estos campos de esfuerzos están principalmente modulados por la subducción activa. Cuando los esfuerzos acumulados superan la resistencia de la roca estos se liberan como deformación frágil por medio de propagación de una ruptura con desplazamiento en el plano de falla generando así ondas sísmicas. Cuando una falla está orientada de forma favorable a los esfuerzos predominantes, la resistencia que opone es menor que la que presenta la roca sin fracturar, por esta razón se

concentra la deformación frágil en las fallas, lo que se traduce en sismos generados en las mismas con una cierta recurrencia en el tiempo. Como resultado se puede considerar a estas estructuras como fuentes sísmicas, la identificación de fuentes sísmicas en cierta área es el primer paso en la evaluación del peligro sísmico.

FIGURA N° 4-11 Ubicación espacial de epicentros en profundidad a la latitud 35° S. Fuentes sísmicas que afectan al área de estudio.



Fuente: Elaboración propia en base al Catálogo NEIC 1973-2011 del USGS (disponible en <http://earthquake.usgs.gov/regional/ncic/>) y Modelo de elevación SRTM.

La actividad de una falla es una categorización relacionada a su potencial de generar un sismo. Las fallas activas son aquellas que presentan evidencias de desplazamiento durante el Holoceno (los últimos 12.000 años); las fallas potencialmente activas son aquellas que tienen evidencia de desplazamiento durante el Pleistoceno (2.5 Ma† a 12 Ka‡); y las fallas se consideran inactivas si no caen dentro de alguna de estas categorías (movimiento más antiguo que 2.5 Ma, lo que incluye el Plioceno 2.5 Ma a 5 Ma, Mioceno a partir de 5 Ma y periodos más antiguos).

Se ha estudiado la información geológica disponible en la que no se describen fallas en la zona abarcada por este trabajo (SERNAGEOMIN, 2003; PMA, 2008) y no se han reconocido fallas activas o evidencias de fallas a partir del trabajo en terreno.

† Millones de años

‡ Miles de años

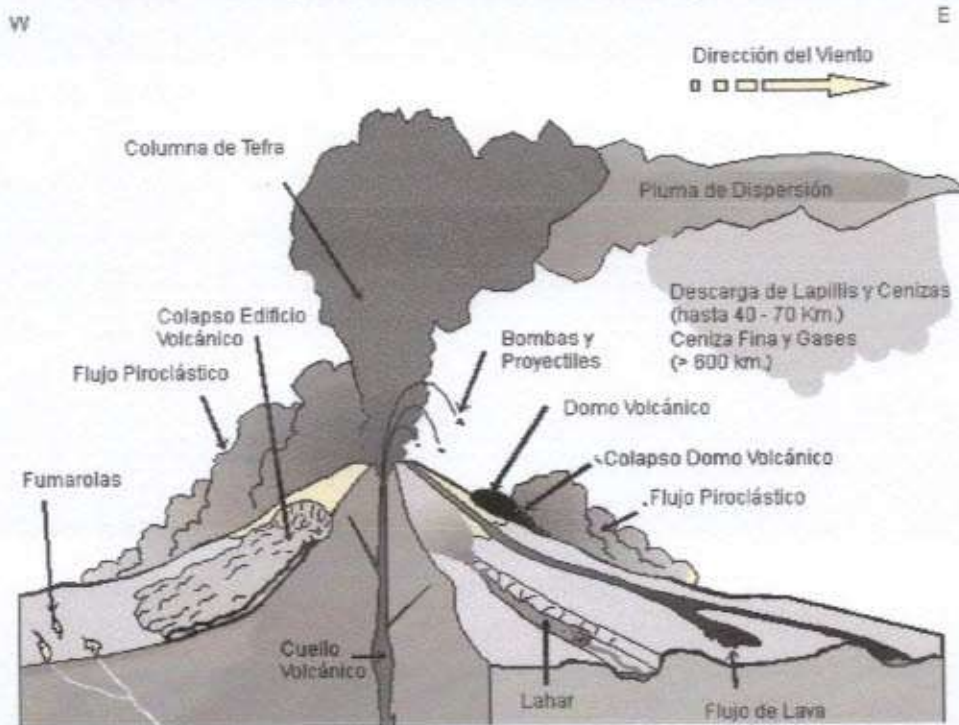
4.2 Procesos Internos o Endógenos de la Tierra – VOLCANISMO

4.2.1 Descripción del Peligro Geológico

El peligro volcánico deriva de los procesos asociados a la erupción de un volcán. En Chile el volcanismo activo se distribuye a lo largo de la Cordillera de los Andes, pero de forma discontinua. En la zona entre los 18° y 27°S y aquella al Sur de los 33°S se ubica el volcanismo activo, mientras que entre los 27°-33°S está ausente. Los principales peligros asociados a una erupción volcánica se resumen en el CUADRO N° 4-1 y en la FIGURA N° 4-12.

La lluvia de ceniza y tefra se produce durante erupciones explosivas en las que una gran cantidad de material volcánico se inyecta en la atmósfera a gran altura, generando columnas de tefra, compuestas por piroclastos y gases. Estas columnas, ascienden velozmente alcanzando en pocos minutos alturas estratosféricas, siendo dispersadas por el viento y esparcidas las cenizas y piroclastos alrededor de una gran área. En caso de colapso de esta columna se producen flujos y oleadas piroclásticas que pueden alcanzar centenares de kilómetros, en función de la altura de la columna de tefra (energía potencial transformada en energía cinética) y la dirección del viento, generando grandes depósitos de ceniza y piroclastos incandescentes. Adicionalmente, es común que se produzca contaminación de aguas superficiales en todo el sector afectado por la caída de cenizas, así como también de los acuíferos en los alrededores del volcán por la inyección de aguas hidrotermales, además del envenenamiento por dispersión de gases tóxicos hacia la atmósfera.

FIGURA N° 4-12 Peligros volcánicos asociados a la erupción de un volcán



Fuente: Myers y Brantley (1995)

Los flujos de lava se producen cuando material magmático se desplaza aguas abajo del centro de emisión. El alcance que tendrán estos flujos está determinado por la tasa de efusión (emisión del centro volcánico), la pendiente del terreno sobre el cual la lava escurre y la viscosidad de la lava. Además, en las cercanías del centro de emisión se producen comúnmente temblores de magnitud inferior a 6 en la escala de Richter (Mw), pero a poca profundidad (entre 1 y 20 km), los que están asociados a intensidades mayores a VI en las cercanías del epicentro. Estos sismos provienen de diversos procesos, tales como ascenso del magma y fracturamiento de la corteza, explosiones volcánicas y esfuerzos tectónicos compresivos y expansivos asociados al ciclo eruptivo (González-Ferrán, 1995).

Los procesos de remoción en masa asociados a una erupción volcánica se pueden clasificar en tres grandes grupos: lahares, colapso parcial o total del edificio volcánico y deslizamientos de laderas (González-Ferrán, 1995). Los lahares se producen por el brusco derretimiento de hielos y nieve durante una erupción volcánica. Corresponden a una mezcla de rocas fragmentadas preexistentes en las laderas de un volcán con materiales efusivos frescos y una gran cantidad de agua. Esta mezcla desciende aguas abajo a altas velocidades y de manera turbulenta, arrasando e incorporando a su flujo todo lo que encuentra en su trayecto (árboles, casas, etc.). Reportes históricos describen que las velocidades que alcanzan estos flujos van desde los 1,3 m/s hasta los 40 m/s, recorriendo decenas de kilómetros aguas abajo del valle, y en casos que la velocidad sea mayor a 150 Km/h pueden remontar barreras topográficas.

El colapso, total o parcial, del edificio volcánico puede producirse como consecuencia de una gran cantidad de energía liberada durante la erupción. Este proceso puede provocar maremotos si ocurre en la cercanía de lagos o embalses, ya que puede producir el desplazamiento de volúmenes importantes de agua en pocos minutos generando olas destructivas de gran energía. Finalmente, asociado a la sismicidad producida por la erupción, pueden generarse deslizamientos de terreno en la cercanía del centro eruptivo, lo que puede dar paso a flujos de barro y/o detritos aguas abajo.

El impacto en la población y sus actividades es muy alto en las cercanías de los centros volcánicos, ya que los procesos asociados a una erupción (caída de ceniza, flujos piroclásticos, contaminación de aguas superficiales), pueden generar grandes catástrofes en la vida diaria e infraestructura de las comunidades. Los efectos más directos para la población, aunque la erupción se encuentre a distancia, son:

1. Pérdida de tierras cultivables
2. Colapso de techos y obras civiles
3. Pérdidas de vidas humanas y forraje
4. Contaminación de aguas y problemas sanitarios derivados.

Se debe destacar que, la duración de una catástrofe por actividad volcánica puede ser considerable dado que un ciclo eruptivo puede extenderse por meses o años (por ejemplo, el ciclo eruptivo del volcán Chaitén aún activo desde el 2008), y pueden afectar grandes áreas de terreno, como por ejemplo la erupción del volcán Quizapu en el año 1932, cuya pluma de ceniza alcanzó la ciudad de Johannesburgo, Sudáfrica.

CUADRO N° 4-1 Peligros asociados al volcanismo

Peligro	Factores de Peligro	Tipo de Daño	Alcance	Condiciones
Lluvia de Teñra y Proyectiles Ballísticos	Proyección de Bombas y Escorias Incandescentes Caida de Piroclastos y Dispersión de Cenizas	Daños por impacto, incendios. Recubrimiento de cenizas, colapso de estructuras, daños a la agricultura, daños a instalaciones industriales y viviendas, problemas de tráfico aéreo, falta de visibilidad, contaminación de aguas.	Alrededores del volcán (<10 km) Centenares de kilómetros	Tamaño de proyectiles. Mayor tamaño, menor alcance; menor tamaño, mayor alcance Dirección del viento
	Fujos y Oleadas Piroclásticas Gases	Daños a estructuras, incendios, recubrimiento por cenizas. Envenenamiento, contaminación aire y agua.	Decenas a centenares de kilómetros Decenas a centenares de kilómetros	Dirección del viento y hacia donde colapsa la columna de teñra Dirección del viento y hacia donde colapsa la columna de teñra Dirección del viento
Lavas y Edificio Volcánico	Inyección de Aerosoles a la Estratósfera Lavas y Dornos	Impacto en el clima, efecto a largo plazo y/o a distancia. Daño a estructuras, incendios, recubrimiento por lavas.	Alrededores del volcán (<10 km)	
	Deformación del Terreno	Fallas, daños a estructuras.	Alrededores del volcán (<10 km)	
	Terremotos y Temblores Volcánicos	Colapso del edificio volcánico, remociones en masa, daños a estructuras.	Alrededores del volcán (<10 km), Alrededores del volcán (<10 km), puede ser de cientos de kilómetros	Geomorfología
Remociones en masa	Lahares	Daños a estructuras, arrastres de materiales, recubrimiento por barro.	Decenas a centenares de kilómetros	Red de drenaje
	Colapso Parcial o Total del Edificio volcánico	Daños estructuras, recubrimiento por detritos, avalanchas, tsunami inducido.	Alrededores del volcán (<10 km), puede ser de cientos de kilómetros	Geomorfología y cuerpos de agua cercanos
	Deslizamiento de Laderas	Arrastre de materiales, recubrimiento por detritos, daños a estructuras.	Alrededores del volcán (<10 km), puede ser de cientos de kilómetros	Geomorfología y cuerpos de agua cercanos
Otros	Ondas de Choque	Rotura de cristales y paneles.	Decenas de kilómetros	Dirección del viento y geomorfología
	Variaciones en el Sistema Geotérmico de Acuíferos	Cambios de temperatura y calidad del agua.	Alrededores del volcán (<10 km), puede ser de cientos de kilómetros	Red de drenaje

Fuente: Elaboración propia a partir de González-Ferrán (1995), Myers and Brantley (1995) y Suoaga (2002)

4.2.2 Resultados del Catastro de Información Histórica de Volcanismo

Para el caso del volcanismo, se analizaron las erupciones históricas entre 33° y 37° de latitud Sur, así como cuáles fueron las áreas afectadas por los productos de la erupción. Se describen los mayores eventos reportados, así como su ubicación espacial, alcance y daños reportados. En base a la recopilación realizada, se diagnosticó y describió la susceptibilidad para el peligro geológico reconocido en el subcapítulo 5.1.2 "Peligro Volcánico".

La zona comprendida entre las latitudes 33°S y 46°S presenta el índice más alto de actividad volcánica, con un promedio de una erupción cada 0,7 años entre 1800 y 1990 (Moreno, 1992). El área de estudio se encuentra a más de 120 km de distancia del arco volcánico actual (FIGURA N° 4-13), por lo que se considera que la influencia del peligro volcánico es más bien indirecta, sin embargo no se descarta peligro producto de caída de cenizas. Entre 33° y 37° de Latitud Sur, los centros volcánicos con registros de actividad histórica son: el complejo volcánico Planchón-Peteroa, el grupo Descabezado-Azul-Quizapu y los centros volcánicos asociados a la Laguna del Maule (CUADRO N° 4-2).

CUADRO N° 4-2 Principales volcanes en sectores cercanos al área de estudio

Grupo	Ubicación	Altitud m s.n.m.	Volumen Eruptado (en km ³)	Edad Volcán	Erupciones Históricas	Productos Erupción
Tupungatito	33° 24' S 69° 48' O	5.933	6	Histórico	18 (1829 - 1980)	Lavas, Cenizas
Marmolejo – San José	33° 46' S 69° 55' O	6.070	95	Plioceno	6 (1822 - 1941)	Lavas, Domos, Avalanchas
Maipo	34° 10' S 69° 52' O	5.290	25	Pleistoceno	47 (1822 - 1941)	Lavas, Domos
Tinguiririca	34° 49' S 70° 21' O	4.300	15		1 (1917)	
Planchón – Peteroa – Azufre	33° 15' S 70° 57' O	4.090	61	Pleistoceno – Holoceno	17 (1660 - 1991)	Lavas, Avalanchas y Fumarolas
Descabezado Grande – Azul – Quizapu	35° 35' S 70° 45' O	3.953	50	Pleistoceno – Holoceno	15 (1846 - 1980)	Lavas Cenizas Fumarolas
Volcanes asociados a la Caldera del Maule	36°05' S 70°30' O	4.020	-	Pleistoceno	-	-
Chillán	36°51'85" S 71°22'36" O	3.089	-	Pleistoceno – Holoceno	8 (1739 - 1945)	Erupciones explosivas.

Fuente: Sruoga, 2002 y Petit-Breuilh Sepúlveda, 2003

Al Oriente del área de estudio, destacan los volcanes Planchón, Peteroa y Azufre, de los cuales el único activo durante el Holoceno corresponde al Peteroa, que muestra actividades desde 1.660 hasta la actualidad. Destacan la erupción de 1.762, donde ocurrieron violentas erupciones

acompañadas del colapso del edificio volcánico, provocando flujos de detritos, lahares y lluvia de tefra. La crónica de la época relata que al colapsar el Peteroa, "el estrépito fue horrible, que se sintió en una gran parte del reino.... Las cenizas y lavas rellenan todos los valles inmediatos, y aumentaron por dos días las aguas del Teno, y precipitándose un pedazo de monte sobre el Gran río Teno. Suspendió su corriente por espacio de diez días y estancadas las aguas, después de haber formado una dilatada laguna que existió durante unos días, se abrió por último con violencia un nuevo camino e inundó todos aquellos campos" (Urrutia y Lanza, 1993).

Las erupciones posteriores del complejo Planchón - Peteroa (1.835, 1.837, 1.869, 1.878, 1.894, 1.937, 1.959, 1.960, 1.962, 1.967, 1.985, 1.986, 1.987, 1.991), han sido de carácter explosivo, con generación de lahares, columnas de tefra y caída de cenizas en la Depresión Central y Argentina, lo cual sumado a la constante presencia de fumarolas durante este año sugiere que el volcán Planchón-Peteroa es muy activo.

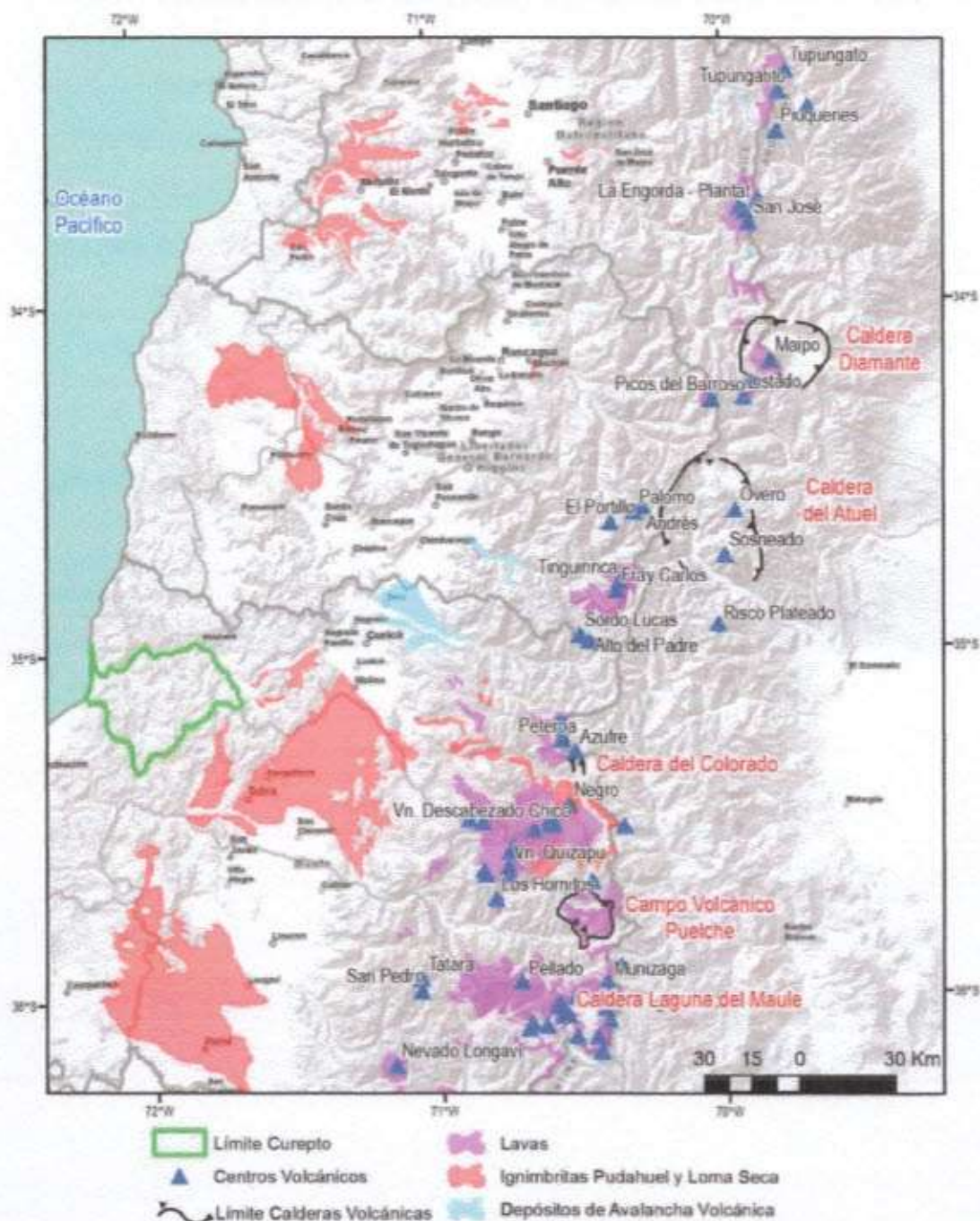
Hacia el Sur del área de estudio, el principal agente de peligro volcánico es el cordón de los Descabezados - Azul - Quizapu. El volcán Descabezado Grande ha mostrado fumarolas, sismos y violentas erupciones de cráteres parásitos. Destaca la erupción del 2 de Junio de 1932, que generó una columna de tefra de 7 a 8 Km de altura, con cenizas que alcanzaron la Depresión Central. El volcán Quizapu, ha presentado varias erupciones históricas, donde destacan la erupción de 1.846, el ciclo eruptivo de 1.907 a 1.932 que finaliza con una gran erupción en 1.932, y pequeños ciclos eruptivos posteriores. La erupción de 1932 del Quizapu es una de las más explosivas reportadas en Chile Central. Se inició a las 8:00 hrs del 10 de Abril de ese año, con fuertes explosiones y una gran columna de tefra de hasta 30 Km. de altura que fue visible desde la depresión Central hasta Malargüe en Argentina. Las explosiones fueron perceptibles desde Valparaíso a Concepción según la crónica de la época. La caída de ceniza (FIGURA N° 4-14) alcanzó desde Santiago a Buenos Aires el 11 de Abril, reportándose que alcanzó la Ciudad del Cabo el 21 del mismo mes. El volumen de Ceniza arrojado a la atmósfera fue calculado en 25 Km³ de material riodacítico, y hasta el día de hoy hay miles de hectáreas cubiertas por tefra y ceniza en las provincias de Talca, Curicó y la pampa Argentina, donde fallecieron miles de vacunos y caprinos, además de la fauna silvestre, junto con la pérdida de hectáreas cultivables (González-Ferrán, 1995).

Las características de las erupciones históricas muestran que el volcán Quizapu se comporta como un volcán explosivo dado el carácter silicio del magma que ha alimentado dos grandes erupciones con solo 86 años de diferencia. El mayor peligro lo constituye la lluvia de tefra, que dada la dirección de los vientos tiende a afectar principalmente los sectores oriente-nororiental, pero en caso de colapso de la columna de tefra puede generar flujos piroclásticos que pueden ser encausados por los valles de los ríos Blanquillo, Lircay, y Lontué, que corresponden a afluentes del río Mataquito.

En la FIGURA N° 4-13 y FIGURA N° 4-14 se observa que el área de estudio no ha sido afectada por coladas de lava ni por flujos piroclásticos recientes. Sin embargo, en el registro geológico se reconoce la "Ignimbrita Pudahuel" de 440 Ka (Stern et al., 1984) asociada a la erupción de la Caldera El Diamante, y también las "Cenizas de Loma Seca", las cuales afloran en gran parte de la Depresión Central. Este depósito corresponde en realidad a tres grandes flujos piroclásticos de 800.000, 300.000 y 150.000 mil años de antigüedad (Sruoga, 2002), asociados al colapso de la caldera volcánica "Loma Seca". Los flujos piroclásticos se originan producto de erupciones explosivas, poseen altas temperaturas y velocidades, por lo que se trasladan grandes distancias, en

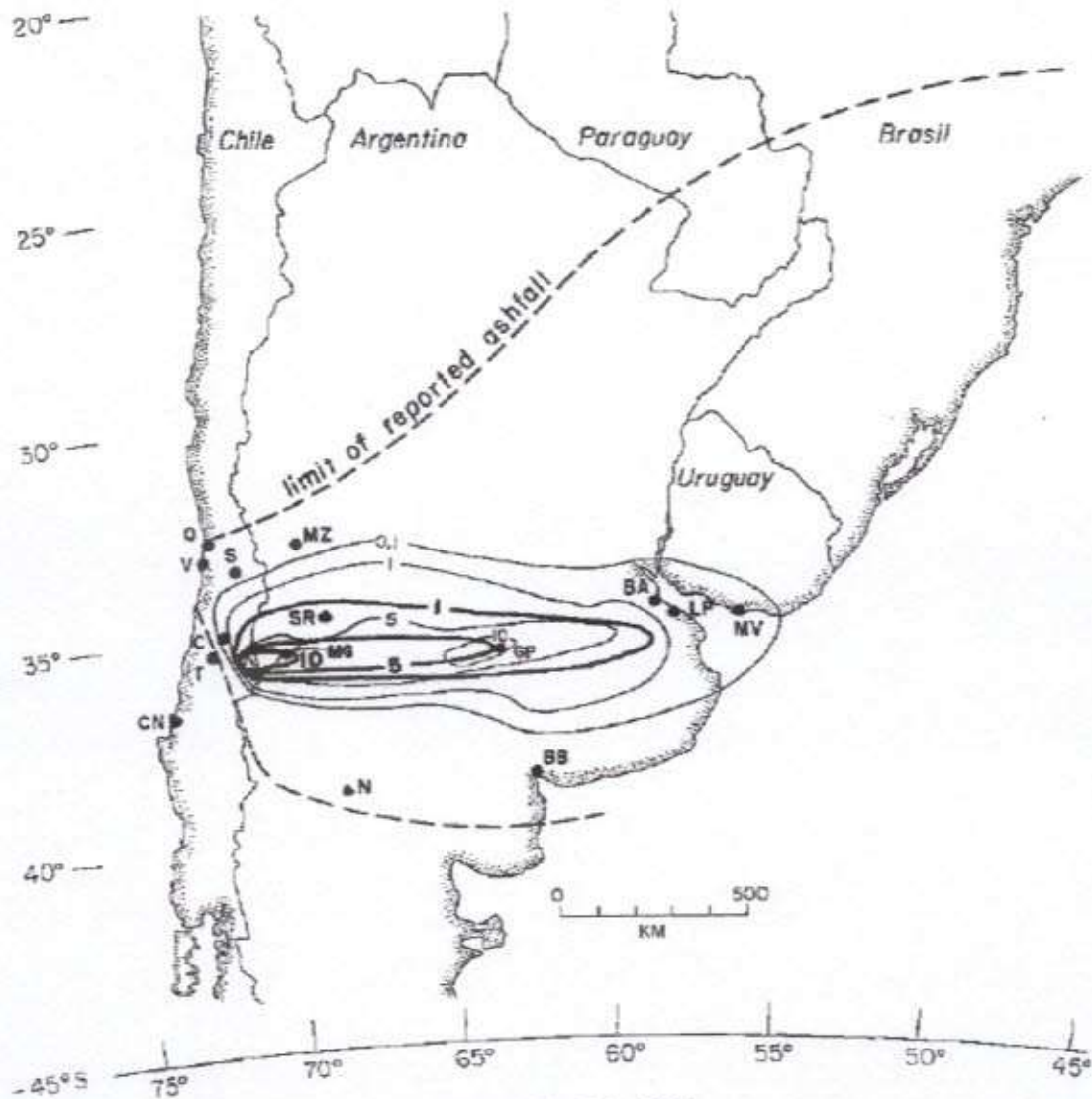
algunos casos remontando el relieve. Es por esto que el peligro volcánico puede existir en una región aún cuando esta se encuentre muy alejada de los centros volcánicos.

FIGURA N° 4-13 Principales centros volcánicos y depósitos volcánicos entre los 33° S y 36° S



Fuente: Elaboración propia a partir de González-Ferrán (1995), SERNAGEOMIN (2003) y Eyquem, (2009)

FIGURA N° 4-14 Mapa de Isópacas de erupción de 1.932 del Quizapu, donde se indica el espesor de ceniza acumulada asociado a la erupción en centímetros[§]



Fuente: Hildreth y Drake (1992)

4.3 Procesos Externos o Exógenos de la Tierra – INUNDACIONES

4.3.1 Descripción del Peligro Geológico

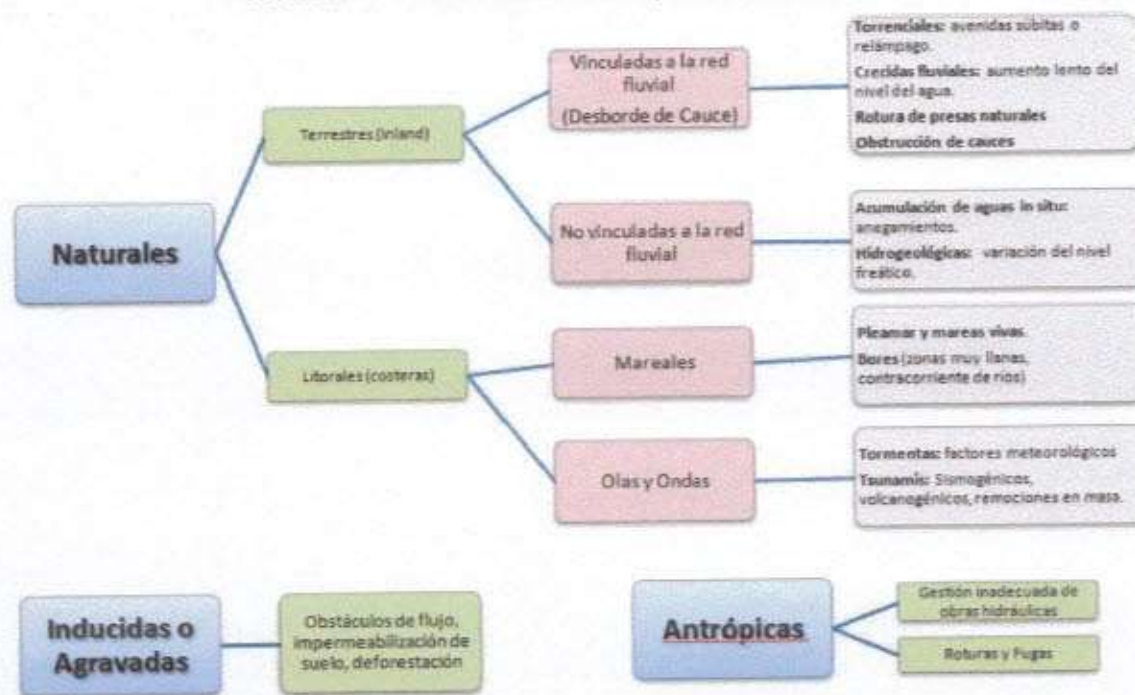
Las inundaciones, sin considerar aquellas generadas por causas antrópicas, pueden ser de dos tipos (FIGURA N° 4-15): (1) terrestres, en el sentido de "tierra adentro", en las que aguas dulces anegan territorios al interior de los continentes, y (2) litorales o costeras, en las que aguas marinas o

§ . BA Buenos Aires; BB Bahía Blanca; C Curicó; CN Concepción; GP General Pico; LP La Plata; MG Malargüe; MV Montevideo; MZ Mendoza; N Neuquén; Q Quintero; S Santiago; SR San Rafael; T Talca; V Valparaíso

lacustres-palustres invaden los sectores limítrofes con el dominio terrestre. Los procesos de inundación pueden originarse por varios factores, tales como lluvias intensas durante temporales, pero también pueden originarse por colapso o desbordamiento de represas y canales, marejadas en zonas costeras, o como afloramiento de aguas subterráneas en zonas pantanosas.

Cabe notar que existe una estrecha relación entre los fenómenos pluviométricos estacionales y los fenómenos de avalanchas, rodados, aluviones o erosiones. Los últimos se ven acentuados por el aumento de la capacidad de arrastre de material, por inundación y por desborde de cauces, todos ellos asociados a la activación de quebradas por lluvias ocasionales y que ponen en riesgo a la población en los alrededores.

FIGURA N° 4-15 Clasificación de los tipos de inundaciones



Fuente: Modificado de Díez-Herrero et al. (2008)

A continuación se presenta una breve descripción de los distintos tipos de inundaciones.

4.3.1.1 Inundación por Desborde de Cauces

Como su nombre lo indica, estos tipos de fenómenos ocurren cuando ríos o esteros desbordan su cauce natural anegando las terrazas fluviales laterales o adyacentes, debido a la ocurrencia de caudales extremos. Estos fenómenos se producen generalmente debido a eventos de precipitaciones líquidas intensas y/o prolongadas en el tiempo. Los valores que pueden alcanzar los caudales, así como el tamaño del cauce, dependen también de otros factores como del área de la

cuenca correspondiente, su forma, la diferencia de cota, la presencia de rocas o sedimentos permeables, etc.

Para este tipo de inundaciones, se pueden identificar dos tipos principales de cauces:

1. Perennes: ríos o esteros con cuencas que abarcan grandes áreas y que tienen sus cabeceras en zonas cordilleranas. Aunque no presenten necesariamente una escorrentía superficial continua, se consideran como perennes dado que la mayoría del flujo escurre en el acuífero ubicado bajo la superficie. Estos presentan cauces de gran extensión, bien definidos, con diferentes niveles de terrazas fluviales, y fácilmente identificables a partir del análisis estereoscópico de fotos aéreas. Las terrazas más altas generalmente están ocupadas por actividades agrícolas o asentamientos humanos.
2. Intermitentes: Esteros y quebradas de escurrimiento temporal como consecuencia directa de precipitaciones intensas. En general, algunas de estas quebradas pueden presentar amenaza por fenómenos de remociones en masa del tipo flujos de detritos, existiendo una estrecha relación entre estos fenómenos e inundaciones por escorrentía torrencial de gran velocidad. Como se explicará posteriormente, los flujos de detritos, al perder su carga sólida, van transformándose paulatinamente en inundaciones torrenciales. Normalmente no existen estaciones fluviométricas en estos cauces, por lo que la estimación de caudales máximos se debe hacer con modelos matemáticos y estadísticas de precipitaciones máximas de gran intensidad.

Los efectos en la población y sus actividades estarán dados por:

1. Tiempo de aviso: En general, las inundaciones por desborde de cauce tienen un tiempo de aviso suficiente, ya que los procesos de inundación son paulatinos y permiten evacuar a la población.
2. La intensidad y velocidad con que ocurre el fenómeno
3. Densidad de población: En caso de que la población se encuentre directamente en la zona de inundación y no sea evacuada oportunamente, pueden ocurrir muertes, heridos, enfermedades, daños estructurales, etc. Si la inundación no afecta directamente a la población, puede producir cortes de camino, daños a la infraestructura sanitaria (por ejemplo, destruir captaciones de agua para el consumo humano) con un costo económico en reparaciones y medidas de mitigación.

4.3.1.2 Inundación por Acumulación de Aguas Lluvias en Zonas Llanas, o Anegamiento

Este tipo de inundaciones se producen en zonas deprimidas, de baja permeabilidad, con niveles freáticos someros y deficiente drenaje del terreno, frecuentemente inundadas debido a lluvias intensas y/o prolongadas. Este tipo de inundaciones se asocia a la zona de desembocadura de algunas quebradas, las que son "embalsadas" por caminos y obstrucciones antrópicas. Estas barreras no permiten que el río escurra fácilmente hacia el mar, sino solo de forma subterránea, provocando el ascenso de los niveles freáticos y la formación de zonas pantanosas y humedales. Sólo en eventos de pluviosidades extremas, el caudal transportado por las quebradas tiene la

suficiente fuerza para romper esta barrera, atravesándola y provocando inundaciones por desborde de cauces.

En las zonas urbanas consolidadas, las acumulaciones de aguas lluvia ocurren especialmente en cruces viales, donde la evacuación de las aguas lluvias es insuficiente, ya sea por el colapso de los sistemas de colección, acumulación de basuras que obstruyen los desagües, la no existencia de redes de evacuación y vialidad pavimentada, por la diferencia de nivel de las carpetas de rodado en las intersecciones de las calles existentes, o por diseñar las obras de mitigación para un periodo de retorno no adecuado.

El grado de daño producido por una inundación, dependerá de varios factores:

1. Tiempo de aviso: Los sistemas de emergencia y aviso a la población disminuyen considerablemente la vulnerabilidad social. Por lo demás, en general los procesos de inundación son paulatinos y permiten evacuar a la población.
2. La intensidad y velocidad con que ocurre el fenómeno
3. Densidad de población: En caso de que la población se encuentre directamente en la zona de inundación, pueden ocurrir muertes, heridos, enfermedades, daños estructurales, etc. Si la inundación no afecta directamente a la población, puede producir cortes de camino, daños a la infraestructura sanitaria (por ejemplo, destruir captaciones de agua para el consumo humano) o un costo económico en reparaciones y medidas de mitigación.

4.3.2 Resultados del Catastro de Información Histórica de Inundaciones

Para el caso de este peligro, se ubicaron los puntos donde ocurren con mayor frecuencia las inundaciones tanto por desborde de cauce como por anegamiento. Se describen los mayores eventos reportados, así como su ubicación espacial, alcance y daños reportados. En base a la recopilación realizada, se diagnosticó y describió la susceptibilidad para el peligro geológico reconocido en el subcapítulo 5.2.1 "Peligro de Inundaciones".

El clima en la VII Región es templado cálido con estación seca de 4 a 5 meses. La latitud y diferencias del relieve influyen en la duración de la estación seca y la precipitación total anual. La estación lluviosa en esta región es principalmente durante el invierno concentrándose entre el 70% y 75% de la precipitación anual entre los meses de Mayo y Agosto. El tipo de precipitación es de origen frontal. La estación seca ocurre entre los meses de Octubre y Marzo, periodo en el que caen menos de 40 milímetros de aguas lluvia por mes.

El peligro reconocido de inundaciones fue determinado principalmente a partir de las características hidrográficas de la zona, identificación de los cauces fluviales activos, áreas de drenaje aportantes a las quebradas, llanuras de inundación y terrazas de los cursos fluviales principales. La recopilación histórica permitió identificar una recurrencia de precipitaciones intensas que han ocasionado inundaciones en la Comuna de Curepto que se detalla en el catastro mostrado en CUADRO N° 4-3. Además, personal de la Dirección de Obras de la Municipalidad de Curepto informó cuáles son los sectores que más frecuentemente se ven afectados por inundaciones y anegamientos. En el caso de Curepto, los sectores que usualmente se ven afectados por inundaciones corresponden a la llanura

de inundación del estero Curepto y la llanura de inundación del estero Los Olivos (FIGURA N° 4-16). Los sectores en que se han registrado anegamientos en la localidad de Curepto coinciden con aquellos identificados en el estudio realizado por Chile Ambiente (2006).

FIGURA N° 4-16 Estero Los Olivos luego de un período de precipitaciones intensas. Se observa llanura de inundación afectada por desborde del cauce del estero



Fuente: Tomada de archivo fotográfico Panoramio (www.panoramio.com) el 20/05/2011

CUADRO N° 4-3 Catastro de Inundaciones que han afectado la Comuna de Curepto

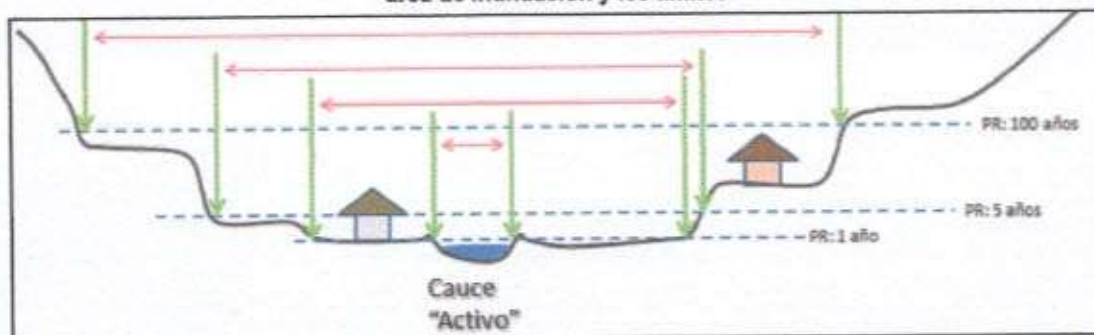
Fecha	Título	Contenido	Fuente
Agosto, 1941	Temporales e inundaciones en 1941	Grandes inundaciones en Curepto	Urrutia y Lanza, 1993
Mayo 29, 1953	Aislado por completo el pueblo de Curepto	El pueblo de Curepto se encuentra completamente aislado por las inundaciones, en donde las viviendas han sufrido graves daños. Se estima que los daños ocasionados ascienden a 30 millones de pesos	La Prensa de Curicó
Julio, 1965	Inundaciones de 1965	Curepto quedó aislado por varios días, prácticamente bajo el agua; la aviación civil de Talca prestó ayuda, rescatando a las familias o dejándoles caer bolsas con alimentos	Urrutia y Lanza, 1993
Septiembre 1, 2001	Cientos de hectáreas productivas se perdieron en la costa	Graves daños en terrenos agrícolas, provocó el último temporal en diversas comunas de la región, entre las que se encuentran	La Prensa de Curicó

Fecha	Título	Contenido	Fuente
		Romeral, Teno, Molina, Sagrada Familia, Curicó, Rauco, Hualafñe, Licantén, Vichuquén y Curepto	
Mayo, 2008	Talca, Péncahue, Curepto y Constitución: Autoridades sobrevuelan en helicóptero sectores afectados por las inundaciones	El río Mataquito entró al pueblo de Curepto. La comuna de Curepto es la más golpeada con 11.054 personas entre afectados y damnificados	www.gobernaciontalca.gov.cl

Fuente: Elaboración propia

Un parámetro importante para el mapeo de las zonas susceptibles es el "periodo de retorno" o "intervalo de recurrencia", que es la probabilidad de ocurrencia de un evento de una magnitud dada en un periodo de tiempo. Por ejemplo, en la FIGURA N° 4-17 se muestra el perfil transversal de un río, destacando el cauce principal y los distintos niveles de terrazas fluviales. Las líneas discontinuas azules muestran la altura de inundación con su periodo de retorno en años. Un periodo de retorno de un año significa que estadísticamente cada año se inundará ese sector, un periodo de retorno de 5 años, significa que la zona en esta área de influencia debería inundarse una vez cada 5 años (es decir, una probabilidad de 1/5 o 20% anual). Las áreas bajo un periodo de retorno de 100 años, implica que deberían inundarse una vez cada 100 años (probabilidad 1/100 o 1% anual).

FIGURA N° 4-17 Áreas de Inundación y Periodo de Retorno (PR). Las líneas discontinuas azules muestran la cota de inundación, las flechas verdes y rojas son referenciales para indicar el ancho del área de inundación y los límites



Fuente: Elaboración propia

4.4 Procesos Externos o Exógenos de la Tierra – REMOCIONES EN MASA

4.4.1 Descripción del Peligro Geológico

El término "remoción en masa" incluye una amplia variedad de procesos que generan el movimiento aguas abajo de los materiales que constituyen las laderas, incluyendo roca, suelo, relleno artificial o una combinación de las anteriores (FIGURA N° 4-18). El movimiento de estos materiales puede ser por caída, volcamiento, deslizamiento, propagación lateral o flujo (PMA: GCA, 2007).

4.4.1.1 Desprendimientos o Caída de Rocas

Los desprendimientos o caída de rocas son remociones en masa en las cuales bloques de rocas o suelo se desprenden a partir de laderas de altas pendientes, como cornisas o acantilados rocosos, para luego desplazarse en caída libre, al menos en parte de su trayectoria (Hauser, 2000). Normalmente, las superficies de rotura corresponden a planos de estratificación, cuya inclinación es superior a su ángulo de fricción interna, con proyección libre a la cara del talud. Entre las zonas susceptibles a sufrir desprendimientos o caídas de rocas destacan los flancos de quebradas profundas, labradas en secuencias estratificadas con niveles más duros hacia el techo, expuestas a erosión fluvial, o acantilados costeros expuestos a erosión marina.

FIGURA Nº 4-18 Clasificación de tipos de remoción en masa en relación al movimiento que lo origina y el material constituyente de la ladera

Material	ROCA	DETRITO	SUELO	
Tipo de movimiento				
CAIDA	Escarpe Caída de roca	Escarpe Caída de detritos Corno de detrito	Escarpe Caída de suelo Cebalón Corno de detrito	
VOLCAMIENTO	Volcamiento de roca	Volcamiento de detrito Corno de detrito	Fractura Volcamiento de tierra Corno de detrito	
DESPLAZAMIENTO	Rotacional	Deslizamiento rotacional simple (talump) Superficie de rotura Cima Cabeza Escarpe menor Superficie de rotura	Deslizamiento rotacional múltiple	Deslizamientos rotacionales sucesivos
	Traslacional (planar)	Deslizamiento de roca	Deslizamiento de detrito	Deslizamiento de suelo
PROPAGACIÓN	Estructura subhorizontal normal Cobertura de roca Limbita arcillosa Agujamiento de estratos Plano de desgarro Sustrato competente Quebradas Estructura inclinada (generado por erosión)	Levantamiento del valle (generado por erosión)	Propagación de suelo	
FLUJO	Soliflución (Flujo de detritos periglacial)	Flujo de detritos	Flujo de suelo (Flujo de barro)	
COMPLEJO	p.ej.: Deslizamiento de suelo con detritos de caída de rocas	p.ej.: Deslizamiento rotacional/traslacional compuesto, gradando a flujo de suelo hacia el pie		

Fuente: Clasificación utilizada por el British Geological Service, modificada de Varnes (1978) y Cruden y Varnes (1996). Disponible en: http://www.bgs.ac.uk/landslides/how_does_BGS_classify_landslides.html

La gravedad es el principal motor del peligro de caída de rocas. Como éste es un proceso gravitacional depende de leyes de fricción y es, por consiguiente, caótico. Dentro de los factores desencadenantes destacan los grandes sismos que pueden generar numerosos desprendimientos a partir de laderas con fuerte inclinación y con condiciones geológicas y estructurales favorables.

La caída de bloques o desprendimientos, puede producir una serie de efectos en personas, desde contusiones menores hasta la muerte, dependiendo del tamaño del bloque y la fuerza con que éste cae. En el caso de estructuras, por lo general los daños son casi nulos, pero puede producirse la rotura de vidrios o daños a muros en función del tamaño del bloque y la distancia recorrida por éste. Además, al caer un bloque en el camino puede producirse un accidente debido a maniobras de conducción para evitarlo.

En general, este peligro presenta una vulnerabilidad social, económica y estructural menor que otros peligros geológicos. Además, afecta a escala local, pero tiene una mayor incidencia debido a que su recurrencia es alta. En este peligro, el tiempo de aviso es mínimo, pero se puede mitigar indicando que la zona es susceptible a ser afectada por caída de bloques.

4.4.1.2 Deslizamientos

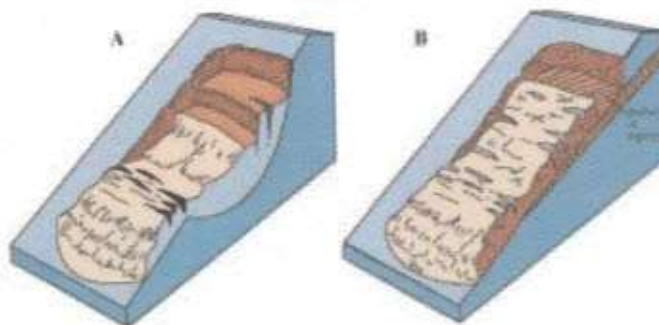
Los deslizamientos son remociones en masa en las cuales las masas de suelo o roca se deslizan principalmente a lo largo de superficies de ruptura, al superarse la resistencia al corte, generando el movimiento del material en su conjunto (Hauser, 2000). Los volúmenes incluidos en estas remociones varían desde algunas decenas hasta varios millones de metros cúbicos y pueden adquirir magnitud catastrófica.

Estos fenómenos pueden ocurrir de varias formas dependiendo de las propiedades del material y las características geológicas y geomorfológicas del entorno, siendo principalmente divididos en rotacionales y traslacionales (FIGURA N° 4-19). Esto implica que las superficies de ruptura son ya sea curvas y cóncavas o a lo largo de un plano o superficie ondulada, respectivamente.

Estos fenómenos incluyen los deslizamientos que ocurren durante el retroceso de terrazas fluviales producto de la erosión fluvial o el retroceso de acantilados costeros por erosión marina basal, en especial al desarrollo de terrazas de abrasión. Este proceso es causado por la fuerza de las olas, las que cavan cavernas y desestabilizan el bloque superior, provocando que éste caiga por su propio peso. Ello produce además que el acantilado costero se encuentre en constante retroceso, lo que permite definir como zona de alta susceptibilidad todas las áreas cercanas al acantilado costero. Los mismos procesos de erosión ocurren en valles con erosión fluvial activa.

Los factores condicionantes de un deslizamiento corresponden principalmente a: los factores intrínsecos del suelo y la roca, las características geológicas (litología, estructuras, grado de alteración y meteorización, etc.), los factores geomorfológicos (pendiente, aspecto, curvatura, elevación, entre otros), la cantidad y tipo de vegetación y el grado de humedad y posición del agua subterránea.

FIGURA N° 4-19 Ejemplos de deslizamientos. A. Deslizamiento Rotacional, B. Deslizamiento traslacional.



Fuente: Modificado de Landslide Types and Process, USGS. Fact Sheet 2004-3072. Disponible en: <http://pubs.usgs.gov/fs/2004/3072/images/Fig3grouping-2LG.jpg>

Por otro lado, estos fenómenos pueden ser generados por factores externos, denominados factores desencadenantes o gatillantes, tales como eventos hidrometeorológicos, sísmicos y actividad antrópica (excavaciones para caminos, canales, terraplenes, etc.).

Los daños en el medio antrópico producto de un deslizamiento que afecta a un área determinada, estarán dados por el volumen de material desplazado durante el proceso y la velocidad con la que se produce el deslizamiento. El grado en que un deslizamiento afecta a la población depende de:

1. Distancia al origen del fenómeno: Por lo general, los deslizamientos son procesos que afectan un área limitada (radios menores a 1 km., incluso menores a 500 m). Hay que considerar que este punto depende directamente del tamaño de volumen desplazado.
2. La intensidad y velocidad con que ocurre el fenómeno: En general, dado que estos procesos son de alta velocidad los daños potenciales son altos.
3. Densidad de población: A mayor densidad de población y área expuesta susceptible de ser afectada, mayores serán los daños esperados. Si la población se encuentra directamente en el área de alcance de un deslizamiento, la vulnerabilidad, estructural y económica es muy alta ya que la pérdida de vidas, viviendas y productividad son efectos típicos de este peligro geológico. Por otro lado, si un deslizamiento afecta a caminos, acueductos o líneas eléctricas puede producir aislamiento, enfermedades gastrointestinales y pérdidas económicas en general para la población.
4. Tiempo de aviso: En este proceso, sin estudios de detalle, el tiempo de aviso es casi nulo.

4.4.1.3 Flujos de Detritos y Barro

Los flujos de detritos, referidos comúnmente como 'aluviones', son remociones en masa que ocurren cuando una masa de sedimentos con mala clasificación, agitados y saturados con agua, se movilizan pendiente abajo como flujos viscosos de sedimentos concentrados (Antinao et al. 2002). Los flujos de detritos usualmente son descritos como fluidos no-newtonianos o plásticos de Bingham, donde la fracción sólida varía generalmente entre 50 a 90% en volumen (Costa, 1984). En

los casos en que la granulometría del material transportado sea predominantemente fina estos flujos se conocen como flujos de barro.

Las partículas sueltas que cubren pendientes desnudas y otros depósitos detríticos no consolidados, disponibles dentro de la cuenca de recepción, son transportadas hacia el cauce principal donde continúa su movimiento. Se remueven así depósitos de gravas y arenas sueltas del lecho, hasta alcanzar el área de depositación, que corresponde al sitio de salida de dichas quebradas a zonas más llanas donde se forman abanicos aluviales. Con la disminución de la pendiente, a medida que aumenta la distancia desde su fuente, los flujos van perdiendo su carga sólida de mayor granulometría, por lo que van pasando paulatinamente a flujos de barro y finalmente a inundaciones o flujos hiperconcentrados donde la fracción sólida varía generalmente entre 1 a 25% en volumen (Pierson y Scott, 1985).

Para la ocurrencia de flujos de detritos es necesario que exista una cuenca donde se colecten los aportes de lluvia y una zona de acumulación de material donde los detritos se acopien para ser posteriormente transportados en el caso de que se cumpla alguna condición desencadenante.

En Chile, el factor desencadenante más común de flujos de detritos son las lluvias esporádicas, de corta duración y de intensidad excepcional. Por otro lado, en nuestro país existen muy pocos estudios que relacionen las intensidades de precipitaciones y este tipo de fenómenos, debido, principalmente, a los escasos registros de intensidad de precipitaciones y de flujos de detritos históricos. Sólo durante las últimas décadas se han instalados pluviógrafos que miden la intensidad instantánea u horaria de precipitaciones (mm por hora). Sólo se disponen de registros más sostenidos en el tiempo de precipitaciones diarias (mm en 24 horas). Esto dificulta los análisis de relación a estas variables ya que a veces basta una lluvia "corta" pero extremadamente intensa para generar un flujo de detritos.

Los flujos o "aluviones" del 18 de Junio de 1991 en Antofagasta y del 3 de Mayo de 1993 en la Quebrada de Macul en Santiago Oriente son ejemplos de eventos que han suscitado el interés nacional tanto por el alto grado de daños materiales como el costo de vidas humanas. Estos eventos han sido, por otra parte, un aporte para el conocimiento de los umbrales de intensidad de precipitaciones mínimas para la generación de flujos de detritos en Chile. En el caso de Antofagasta, en una de las zonas más secas del país, se estimaron precipitaciones mínimas de 30 mm en 24 horas para la generación de flujos de detritos (Hauser, 1997). En el caso de Santiago Oriente, se contó con datos pluviográficos más precisos, donde se registraron casi 10 mm en una sola hora (Naranjo y Varela, 1996). Anteriormente, para la Región Metropolitana se estimó un mínimo de 60 mm en 24 horas para la generación de flujos de detritos (Hauser, 1985).

Si bien los casos anteriores se encuentran fuera del área de estudio, cabe destacar que corresponden a los pocos eventos donde se ha relacionado cuantitativamente la ocurrencia de estos fenómenos y la intensidad de precipitaciones. Sin embargo, estos constituyen datos valiosos en cuanto a los umbrales de intensidad de precipitaciones en las que se podrían generar flujos de características catastróficas.

El grado de daño producido por un flujo dependerá de varios factores:

1. Tiempo de aviso: Los sistemas de emergencia y alerta a la población disminuyen considerablemente la vulnerabilidad social. Si se tienen mediciones continuas de la

intensidad de precipitación, será posible alertar a la población de que existe la posibilidad de que se genere un flujo, entregando quizás minutos valiosos que podrían salvar vidas.

2. Distancia al origen del fenómeno: Mientras más alejado sea el origen, y si se cuenta con sistemas de emergencia y alerta a la población, se puede disminuir la vulnerabilidad social.
3. La intensidad y velocidad con que ocurre el fenómeno (tamaño del flujo): Un flujo de mayor tamaño y rápido tiene mayor capacidad de afectar a una población que uno más pequeño y lento.
4. Densidad de población en la zona susceptible a ser afectada: En caso de que la población se encuentre directamente en el cauce del flujo, los daños pueden ser catastróficos, ya que pueden producirse muertes, heridos, enfermedades, daños estructurales mayores, etc., como se observó en los casos de Antofagasta (1991) y Quebrada de Macul (1993). Si el cauce no afecta directamente a la población, puede producir cortes de camino, daños a la infraestructura sanitaria (por ejemplo, destruir captaciones de agua para el consumo humano) o un costo económico en reparaciones y medidas de mitigación.

Este peligro geológico será tratado en conjunto con el peligro de inundación por desborde de cauce, ya que estos dos eventos comparten una serie de características comunes que permiten estudiarlos como un mismo proceso.

4.4.2 Resultados del Catastro de Información Histórica de Remociones en Masa

Para el caso de las remociones en masa, se analizaron las fotografías aéreas e imágenes satelitales de la zona, así como sectores donde existen depósitos antiguos de remociones en masa. Se describen los mayores eventos reportados, así como su ubicación espacial, alcance y daños reportados. En base a la recopilación realizada, se diagnosticó y describió la susceptibilidad para el peligro geológico reconocido en el subcapítulo 5.2.2 "Peligro de Remociones en Masa".

Este tipo de procesos se analizó mediante el análisis de fotografías aéreas e imágenes satelitales, la visita a terreno y la recopilación histórica de peligros geológicos. En el área de estudio se identificaron remociones en masa de tipo caída de bloques, originadas en rocas metamórficas en el extremo sur de la vía Cancha Rayada (FIGURA N°4-20). Otro proceso de remoción en masa observado en terreno fue al sur de la Calle 1, donde se produjo un deslizamiento asociado a la erosión del basamento metamórfico meteorizado (FIGURA N° 4-21).

Luego del sismo del 27 de febrero de 2010, en la localidad de Curepto se registraron una serie de remociones en masa desencadenadas por el terremoto. En la escuela F-320, ubicada en la ribera del estero Curepto, se registró la ocurrencia de grietas de orientación N50°E, con aberturas de hasta 20 cm, mientras que la Villa Estadio fue afectada por caída de rocas y derrumbes de suelo (Fernandez y Venegas, 2010).

FIGURA N° 4-20 A) Sector en el extremo sur de la vía Cancha Rayada. Talud (izquierda de la imagen) donde permanentemente ocurren caídas de bloques. Corresponde a la unidad del basamento metamórfico meteorizado. B) Basamento metamórfico meteorizado en sector sur de Cancha Rayada



Fuente: Archivo Fotográfico

FIGURA N° 4-21 Derrumbe en Villa Estadio desencadenado por el sismo del 27 de febrero del 2010



Fuente: Tomado de Fernandez y Venegas (2010)

5. DIAGNÓSTICO Y ZONIFICACIÓN DE SUSCEPTIBILIDAD A LOS RIESGOS NATURALES QUE PUEDEN AFECTAR EL ÁREA DE ESTUDIO

Los peligros reconocidos en la zona de estudio se pueden diferenciar en dos grupos:

- Peligros No Zonificables a escala comunal (escala de trabajo mayor a 1:50.000): casos en los que no se pueden zonificar a escala urbana o que requerirían estudios de mayor detalle para poder determinar una zonificación de la susceptibilidad.
- Peligros Zonificables a escala comunal (escala de trabajo menor a 1:25.000): casos en los que se puede categorizar la susceptibilidad y por lo tanto determinar una zonificación de la misma (PLANO N° 3 y N°4 fuera de texto).

5.1 Peligros No Zonificables

5.1.1 Peligro Sísmico

Considerando lo discutido anteriormente se puede concluir que el área de estudio ha sido afectada por sismos de gran magnitud, al igual que casi todo Chile. Luego de un fenómeno de la magnitud del terremoto del 27 de Febrero de 2010, es esperable que se generen sismos superficiales de baja magnitud (réplicas) durante varios años después del evento principal. Tal como se ilustra en la FIGURA N° 4-9, la densidad de sismos superficiales de baja magnitud es alta en la Comuna de Curepto. Sin embargo, luego de la gran energía liberada por el terremoto del 27 de Febrero de 2010, se estima poco probable a corto plazo la ocurrencia de un sismo de subducción de magnitud importante que afecte a la zona, pero considerando que estos fenómenos son recurrentes y propios de la dinámica de subducción en que se encuentra Chile, no debe descartarse la ocurrencia de este tipo de fenómenos en la planificación a mediano y largo plazo.

Los sismos de profundidad intermedia y los sismos corticales (en color amarillo, naranja y rojo en FIGURA N° 4-9 y FIGURA N° 4-10) son muy poco probables en la zona de estudio, pues sólo existe escasa evidencia de ocurrencias anteriores. Sin embargo, los mecanismos generadores de este tipo de sismos son poco conocidos, y no puede descartarse un evento importante en el futuro.

5.1.2 Peligro Volcánico

El peligro asociado a volcanismo que más probablemente puede afectar el área de estudio es la caída de tefra producto de la erupción de alguno de los volcanes activos ubicados entre los 33° y los 40°S, así como el encausamiento de lahares producidos por la erupción volcánica.

La Comuna de Curepto se encuentra a una distancia de más de 130 Km del arco volcánico actual (Cordillera de los Andes), por lo cual el peligro de ser afectada directamente por la actividad volcánica es muy bajo. Para concluir lo anterior, se definieron las áreas susceptibles al peligro volcánico a mayor escala (FIGURA N° 5-1), se diferenciaron 3 tipos de zonificación: Peligro Volcánico directo por erupción volcánica, sectores por donde se encauzarían lahares y flujos piroclásticos, y zona de caída de cenizas.

El área más afectada durante una erupción volcánica corresponde al radio de 20 kilómetros alrededor del cono volcánico, que se define como el área más expuesta a una erupción volcánica (FIGURA N° 5-1). En esta área pueden ocurrir deslizamientos asociados a la actividad sísmica (previa y post erupción), caída de bombas piroclásticas, además de caída de cenizas y tefra. Además, en este sector el derretimiento de hielos puede generar lahares e inundaciones.

A modo ilustrativo, se definieron los cauces principales por donde pueden encauzarse los lahares y flujos piroclásticos. El alcance de estos estará dado por los siguientes factores:

- Lahares: Cantidad de nieve o hielo en las zona cercana a la erupción. Estos pueden originarse en cualquier acumulación de nieve o hielo, donde estos entren en contacto con la ceniza o lava para que se funda y escurra aguas abajo.
- Flujos piroclásticos: Dependerá de la altitud de la columna de tefra, mientras más alta sea esta, mayor es la energía potencial acumulada, la cual, al momento del colapso se transformará en energía cinética.

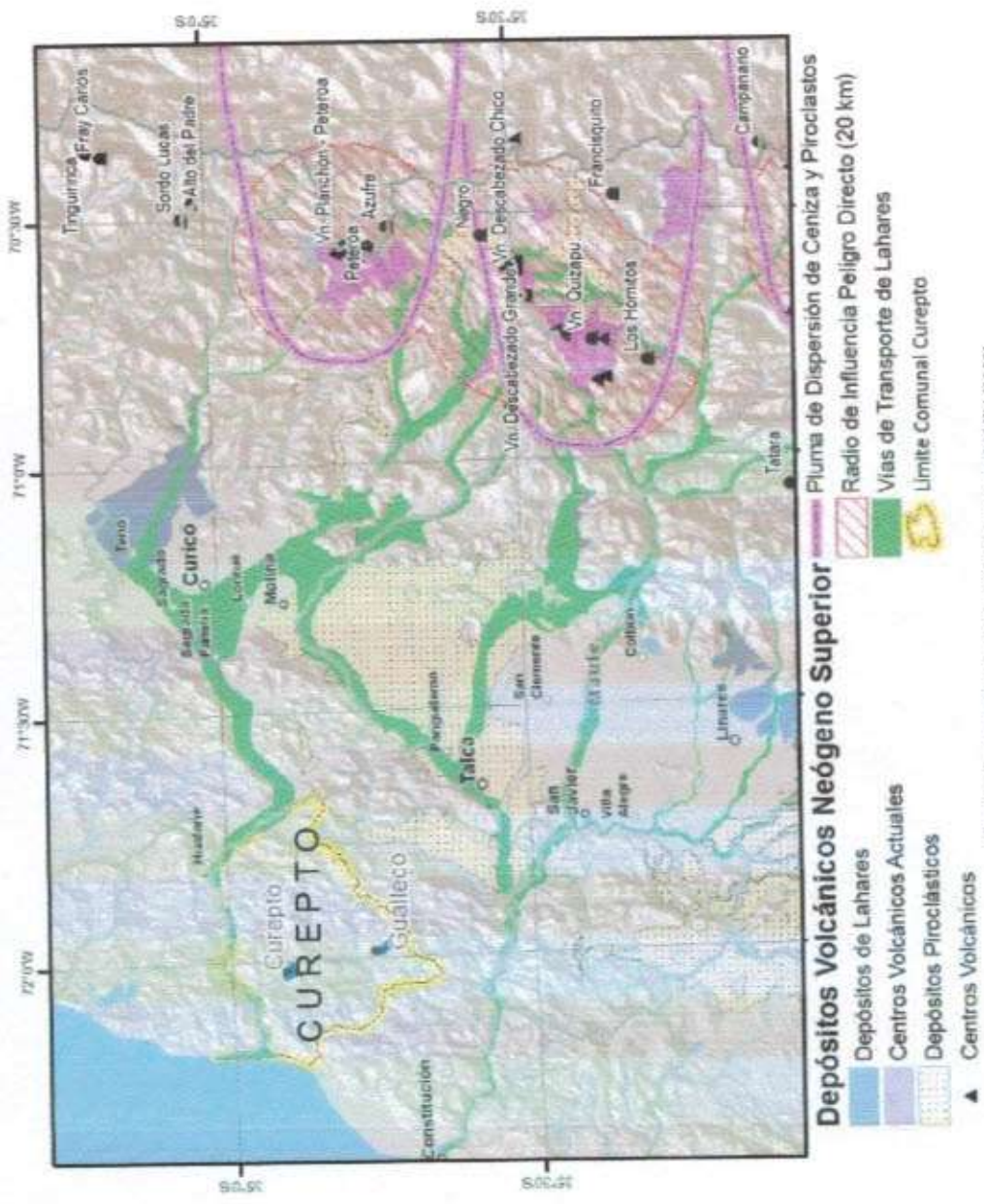
Cabe destacar que los flujos piroclásticos y lahares son capaces de remontar el relieve, por lo que la zonificación planteada solo demarca las vías de flujo preferencial y no considera la colmatación del cauce.

Resumiendo lo anterior, puede concluirse que la probabilidad de que la Comuna de Curepto sea afectada directamente por coladas de lava o flujos piroclásticos es muy baja, pues ésta se encuentra a más de 130 Km de distancia de los volcanes activos.

Por otro lado, con respecto a la caída de tefra, se define una parábola para indicar el sector hacia donde se dispersarían principalmente las cenizas en función de los datos de erupciones históricas (FIGURA N° 5-1). En la mayoría de los casos, las cenizas se dispersan hacia Argentina, pero dependiendo de cambios en la dirección del viento, pueden caer hacia la Depresión Central (véase caso del Quizapu en 1932). La probabilidad de que pequeñas cantidades de ceniza alcancen la Comuna de Curepto es prácticamente nula.

No obstante lo anterior, existen consecuencias indirectas asociadas a una gran erupción volcánica. Luego de una erupción, los grandes volúmenes de material volcánico son transportados por los ríos y pueden rellenar el cauce actual rápidamente, produciendo cambios drásticos en el régimen hidrológico. Un ejemplo de lo anterior es la Terraza Superior del río Mataquito, en el límite norte de la comuna, la cual está compuesta de cenizas de Loma Seca, los cuales son producto de una gran erupción ocurrida cientos de miles de años atrás. Eventos de tal magnitud son de una recurrencia muy baja que se estima como poco probable que ocurra en el corto plazo, sin embargo son procesos extremadamente destructivos que no pueden dejar de ser considerados en planes de emergencia y evacuación.

FIGURA Nº 5-1 Mapa de distribución de Peligros Volcánicos. Observar que la comuna de Curepto se encuentra al Oeste de la figura, fuera del alcance de los peligros volcánicos aquí ilustrados



Fuente: Elaboración Propia a partir de SERNAGEOMIN (2003)

5.2 Peligos Zonificables

5.2.1 Peligro de Inundaciones

Las principales inundaciones que han afectado al área de estudio tienen relación con desbordamientos de cauces, ya sean naturales o artificiales, y generalmente se manifiestan con una frecuencia anual. A partir del análisis de fotografías aéreas e imágenes satelitales, el mapeo geológico y la información proporcionada por la Dirección de Obras de la Municipalidad, se determinó la siguiente zonificación de susceptibilidad (FIGURA N° 5-2 y FIGURA N° 5-3):

- **Anegamiento (Susceptibilidad Muy Alta):** Sectores deprimidos de la localidad de Curepto. Geológicamente corresponden a pantanos o humedales con depósitos de arenas finas, limos y/o arcillas.
- **Cauces Naturales de Esteros y Quebradas (Susceptibilidad Muy Alta):** Sectores de cauces fluviales naturales de ríos, esteros y quebradas. Geológicamente corresponden a depósitos fluviales activos del estero Curepto y esteros menores de las áreas urbanas de Curepto y Gualleco.
- **Inundación por Desborde de Cauces (Susceptibilidad Alta):** Geológicamente corresponden a depósitos fluviales de la llanura de inundación del estero Curepto y fluvio-aluviales de esteros o quebradas cuya área drenada supera los 2 km².
- **Inundación por Desborde de Cauces (Susceptibilidad Moderada):** Geológicamente corresponden a depósitos fluvio-aluviales de quebradas cuya área drenada es menor a 2 km².

En este estudio no se realizaron modelos hidrológicos debido a la falta de series de precipitación y caudales. Por ello, no se realizaron mapas de peligrosidad o amenaza de inundaciones considerando el periodo de retorno y analizando el alcance máximo lateral del área de inundación sino que se tuvieron en cuenta, en el caso de los cauces naturales, las expresiones geomorfológicas y los depósitos asociados a cauces fluviales.

FIGURA Nº 5-2 Zonas de susceptibilidad de inundaciones para la localidad de Curipito

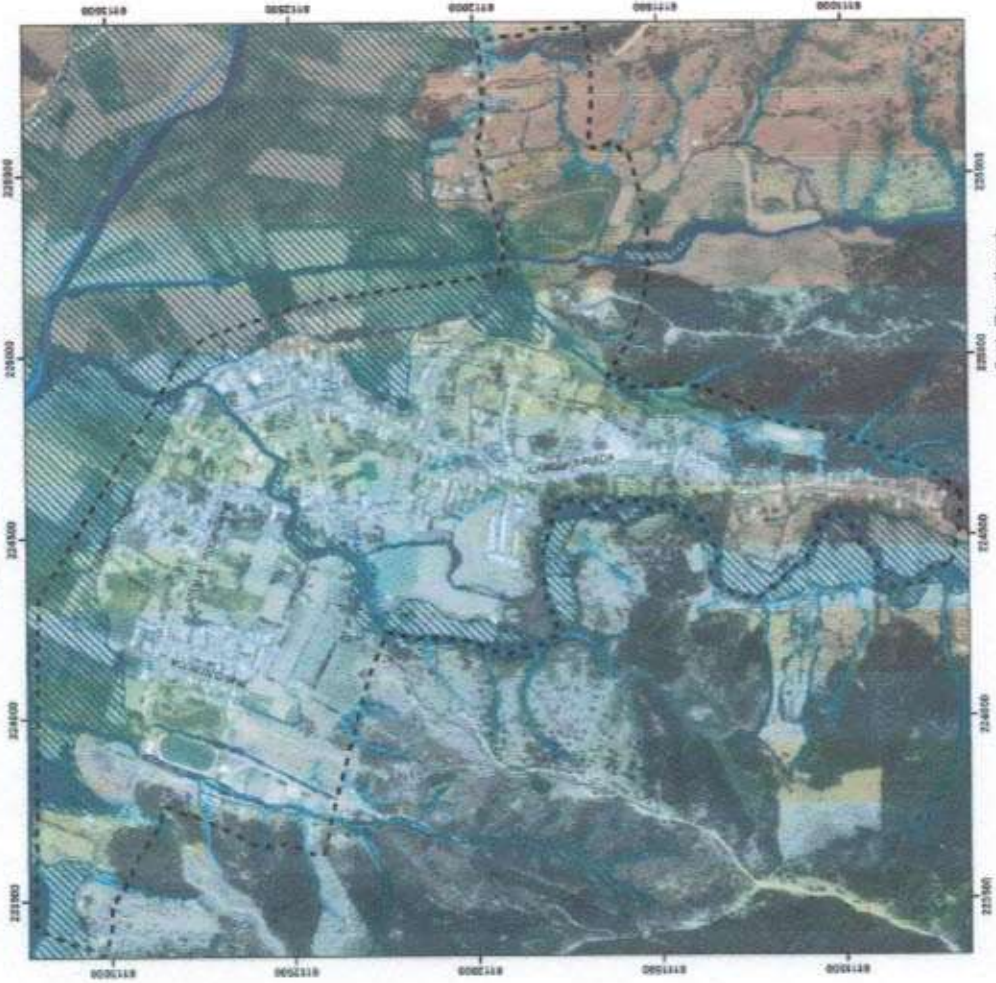
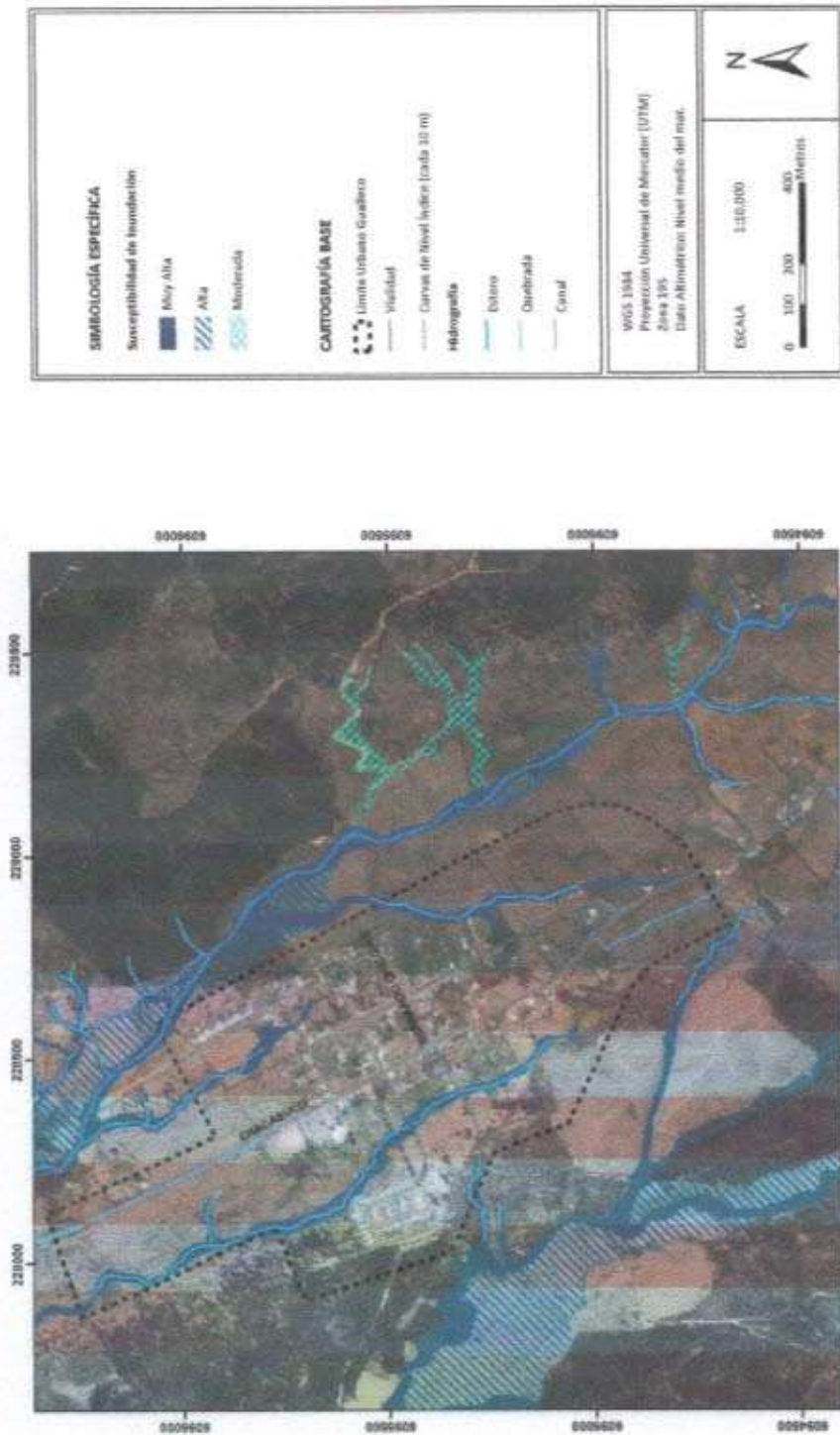


FIGURA N° 5-3 Zonas de susceptibilidad de inundaciones para la localidad de Qualleco



5.2.2 Peligro de Remociones en Masa

En el presente estudio se identificaron las zonas susceptibles de generar deslizamientos y caídas de bloques, y todas aquellas zonas susceptibles de ser alcanzadas por estos procesos generados inmediatamente pendiente arriba.

Los deslizamientos principalmente están asociados a laderas poco estables, meteorizadas o con cobertura de suelo. No se reconocieron procesos de este tipo gatillados por el terremoto del 27 de febrero de 2010, pero sí depósitos actualmente activos.

Para la zonificación de los sectores susceptibles de ser afectados por deslizamientos y caídas de bloques se realizó un análisis de fotografías aéreas, se realizó una visita a terreno, se utilizó la cobertura topográfica disponible (1:2.000 en algunos sectores o en su defecto y 1:30.000) y se revisaron estudios previos que documentan la ocurrencia de este tipo de procesos en la región.

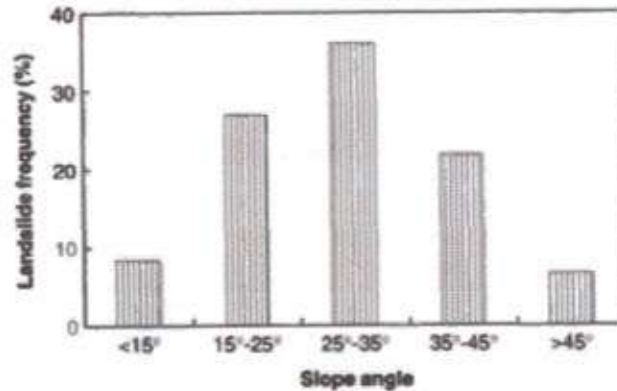
En el área de estudio afloran materiales geológicos que, producto de un intenso proceso de meteorización, se han transformado en suelos con un potente manto de material con poca cohesión. Esta situación provoca que todos los sectores con pendientes elevadas (laderas de cerros y escarpes) constituyen factores condicionantes para la generación de remociones en masa de diversas magnitudes (Naranjo et al., 2006). Considerando además la intervención antrópica en las laderas (excavaciones, modificaciones del drenaje natural, construcción de caminos sin sistemas de drenaje de aguas adecuados), se tienen las condiciones ideales para la generación de remociones en masa. Los eventos sísmicos y los eventos de precipitaciones intensas, y ocasionalmente con precipitaciones antecedentes abundantes que han saturado los suelos del terreno (e.g., Naranjo et al., 2006), constituyen los factores desencadenantes de este tipo de remociones en masa.

Para diferenciar que pendientes son las más susceptibles, se utilizó la información compilada a partir de diversas fuentes que han generado catastros de deslizamientos en distintos lugares del mundo. Esaki et al (2005) y Giraud y Shaw (2007), así como varios catálogos de deslizamientos, indican que la mayor frecuencia de deslizamientos se observa sobre pendientes de 25° a 35° de inclinación (FIGURA N° 5-4).

Considerando lo anterior y los antecedentes recopilados, se zonificó la susceptibilidad de generación de deslizamientos y caída de bloques (FIGURA N° 5-5 y FIGURA N° 5-6) de acuerdo a los siguientes criterios:

- **Zonas de Muy Alta Susceptibilidad de Generación:** En sectores de muy alta pendiente (escarpes), es decir, zonas de pendientes sobre 35°.
- **Zonas de Alta Susceptibilidad de Generación:** En sectores de alta pendiente (de 25° a 35°).
- **Zonas de Moderada Susceptibilidad de Generación:** Corresponde a sectores donde la pendiente se encuentra entre 15° y 25°.

FIGURA N° 5-4 Frecuencia de deslizamientos en función de la pendiente del terreno



Fuente: Esaki et al., 2005.

En el área de estudio se reconocieron depósitos activos de remociones en masa que se utilizaron para identificar las zonas susceptibles de ser alcanzadas por este tipo de fenómenos generados pendiente arriba. Para complementar esta información, se tomaron como referencia observaciones realizadas por el equipo consultor en otras áreas de la Región del Maule (por ejemplo Pelluhue, Iloca-Duao) y estudios realizados en la región del Biobío por Naranjo et al. (2006). Estos autores señalan que asociadas a las zonas de generación de remociones en masa, se debe implementar una franja de protección de 50 m pendiente debajo del lugar de generación del fenómeno. A partir de lo anterior y de la zonificación de áreas susceptibles de generar deslizamientos o caídas de bloques, se determinaron las zonas susceptibles de ser alcanzadas por estos fenómenos (FIGURA N° 5-5 y FIGURA N° 5-6) de la siguiente manera:

- **Zonas de alta susceptibilidad de ser alcanzadas por deslizamientos o caídas de bloques generados pendiente arriba:** Si el talud no supera 10 m de altura corresponden a áreas ubicadas a menos de 10 m pendiente abajo de zonas de Muy Alta y Alta Susceptibilidad de Generación de deslizamientos o caídas de bloques. Si el talud supera 10 m de altura corresponden a áreas ubicadas a menos de 25 m pendiente debajo de una zona de Muy Alta y Alta Susceptibilidad de Generación de deslizamientos o caídas de bloques.
- **Zonas de moderada susceptibilidad de ser alcanzadas por deslizamientos o caídas de bloques generados pendiente arriba:** Si el talud no supera 10 m de altura corresponden a áreas ubicadas a menos de 10 m pendiente abajo de una zona de Moderada Susceptibilidad de Generación de deslizamientos o caídas de bloques. Y si el talud supera 10 m de altura, corresponden a áreas ubicadas entre 25 y 50 m pendiente abajo de una zona de Muy Alta y Alta Susceptibilidad de Generación de deslizamientos o caídas de bloques, o zonas ubicadas a menos de 25 m pendiente abajo de zonas de Moderada Susceptibilidad de Generación de deslizamientos o caídas de bloques.
- **Zonas de baja susceptibilidad de ser alcanzadas por deslizamientos o caídas de bloques generados pendiente arriba:** Corresponden a todas aquellas áreas ubicadas entre 25 y 50 m pendiente abajo de zonas de Moderada Susceptibilidad de Generación de deslizamientos o caídas de bloques, en taludes que superan 10 m de altura.

A partir de los mapas generados, se deduce que las zonas susceptibles de ser afectadas por deslizamientos y caídas de bloques se encuentran ubicadas principalmente en las laderas de roca constituidas por el basamento meteorizado.

FIGURA Nº 5.5 Zonas susceptibles a la generación y avance de deslizamientos y caída de bloques para la localidad de Curiepto

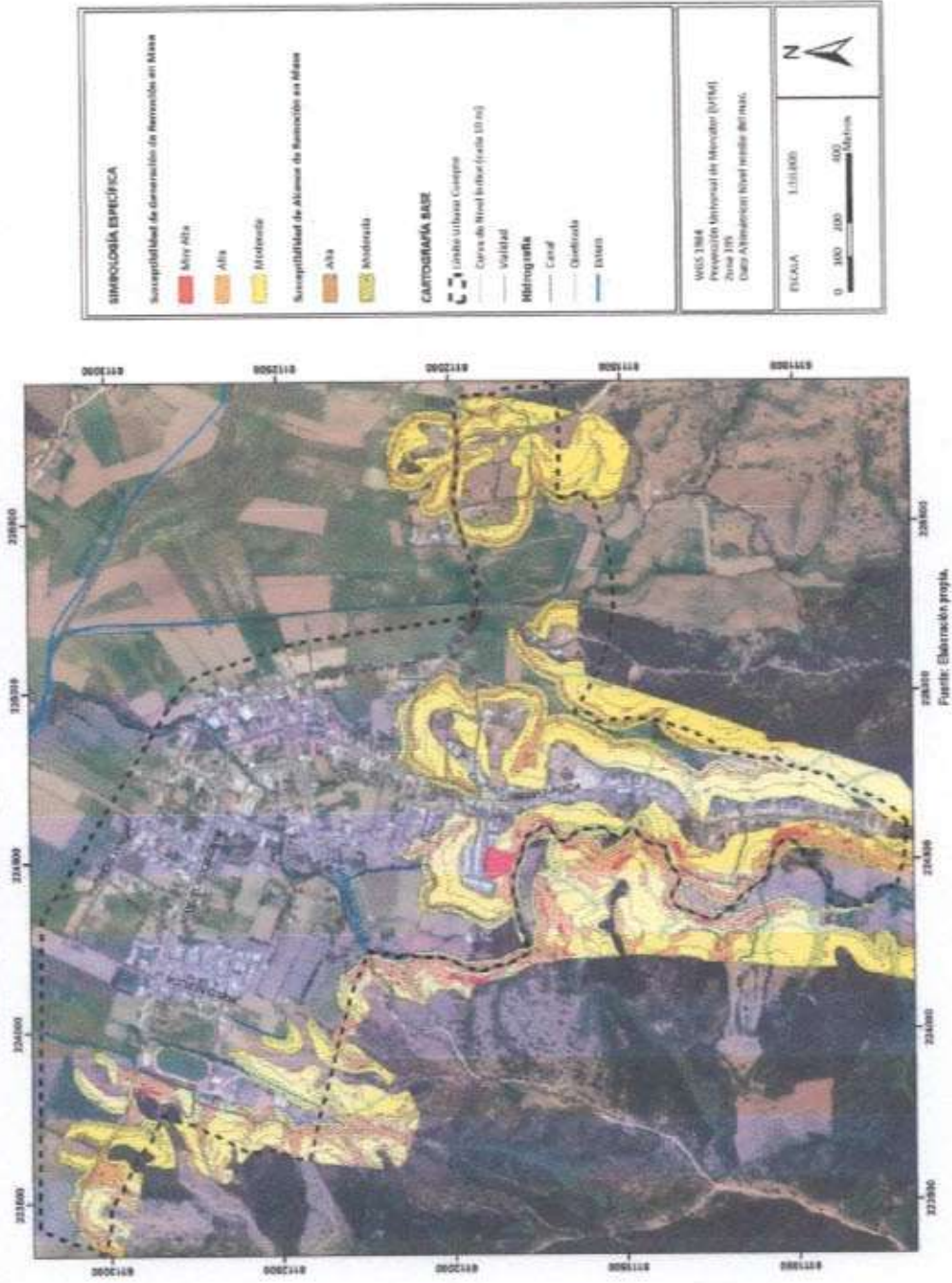
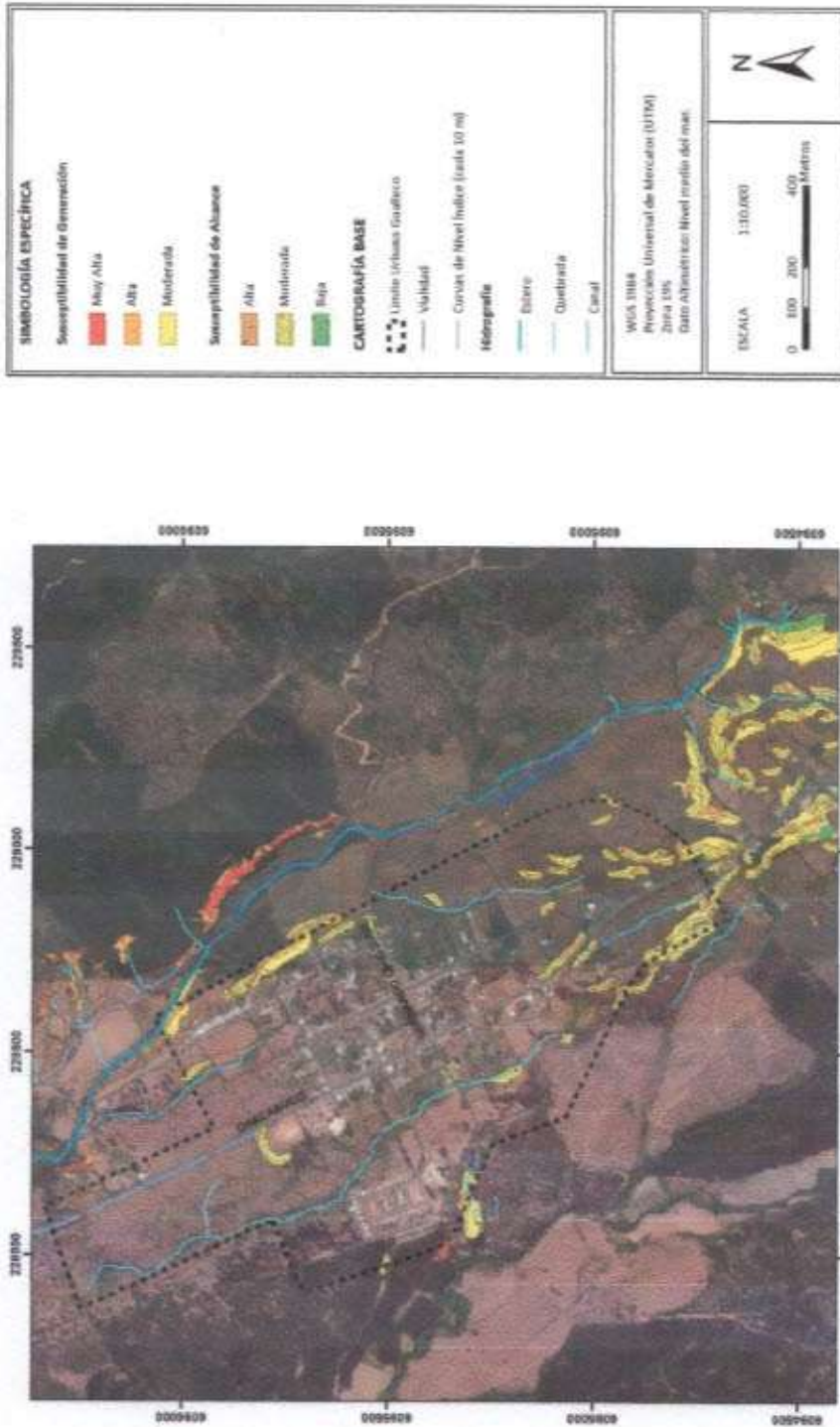


FIGURA N° 5-6 Zonas susceptibles a la generación y alcance de deslizamientos y caídas de bloques para la localidad de Gualleco



6. SÍNTESIS DE LOS RIESGOS NATURALES ANALIZADOS EN EL ÁREA DE ESTUDIO

En el siguiente cuadro (CUADRO N° 6-1) se resumen los peligros geológicos analizados en el área de estudio, describiéndolos brevemente, detallando el catastro de los eventos recopilados o reconocidos, describiendo la metodología para la zonificación de susceptibilidad y las zonas susceptibles a cada peligro. En las FIGURA N° 6-1 y FIGURA N° 6-2 se sintetizan las zonas susceptibles a ser afectadas por los peligros zonificables dentro de los límites urbanos de Curepto y Gualleco a escala 1:5.000.

CUADRO N° 6-1 Síntesis de los riesgos naturales analizados para el área de estudio, descripción, catastro, metodología y zonificación

Peligro	Sismicidad
Descripción	Este peligro está asociado a la zona de subducción de la Placa de Nazca por debajo de la Sudamericana. Los sismos que se analizaron son los de "costa afuera" asociados a extensión por abombamiento, sismos asociados al contacto interplaca y sismos de intraplaca de profundidad intermedia (FIGURA N° 4-3). Se analizaron los principales eventos sísmicos y los peligros asociados a ellos
Peligros Asociados	Movimientos de terreno
Factores Desencadenantes	Dinámica de subducción del borde Pacífico del continente Sudamericano
Catastro	Se presenta una figura con el resumen de los eventos históricos de magnitud mayor a 7,2 (FIGURA N° 4-7). Dos mapas con las profundidades y magnitudes de los eventos ocurridos en la región entre 1973 y febrero de 2011 (FIGURA N° 4-9 y FIGURA N° 4-10) y un perfil de los epicentros sísmicos en profundidad cercano al área de estudio (FIGURA N° 4-11)
Metodología de Zonificación	La sismicidad no es zonificable a escala local para los alcances de este estudio. En base a antecedentes históricos, mapas de intensidades y comparación con otras zonas, se pueden realizar algunas estimaciones
Zonas Susceptibles	Luego de un fenómeno de la magnitud del terremoto del 27 de Febrero de 2010, es esperable que se generen sismos superficiales de baja magnitud (réplicas) durante varios años después del evento principal. Tal como se ilustra en la FIGURA N° 4-9, la densidad de sismos superficiales de baja magnitud es moderada en la Comuna de Curepto. Además, luego de la gran energía liberada por el terremoto del 27 de Febrero de 2010, se estima poco probable a corto plazo la ocurrencia de un sismo de subducción de magnitud importante que afecte a la zona. Pero considerando que estos fenómenos son recurrentes y propios de la dinámica de subducción en que se encuentra Chile, no debe descartarse la ocurrencia de este tipo de fenómenos en la planificación a mediano y largo plazo.

Peligro	Volcanismo
Descripción	<p>El peligro volcánico, se asocia a los procesos relacionados con la erupción de un volcán. La zona ubicada entre las latitudes 33° a 46° S, presenta el índice de actividad volcánica más alto del país, con un promedio de una erupción cada 0,7 años entre los años 1.800 y 1.990 (Moreno, 1993). Aunque en general, los centros volcánicos se encuentran emplazados donde la densidad demográfica es baja, los productos asociados a una erupción volcánica pueden tener alcances de centenares de kilómetros</p>
Peligros Asociados	<p>Lluvia de Tefra y proyectiles balísticos Flujos Piroclásticos Escurrimiento de Lavas Remociones en masa y Lahares Sismicidad</p>
Factores Desencadenantes	<p>Dinámica de subducción del borde Pacífico del continente Sudamericano</p>
Catastro	<p>Se presenta un mapa con los centros volcánicos activos en la región (FIGURA N° 4-13) y un cuadro con las erupciones históricas y prehistóricas cercanas al área de estudio CUADRO N° 4-2</p>
Metodología de Zonificación	<p>El volcanismo es zonificable a nivel regional. Se presenta una imagen mostrando los posibles alcances de erupciones y zonas de transporte de lahares y/o flujos piroclásticos FIGURA N° 5-1. La zonificación se realiza en base a antecedentes históricos, mapas de acumulación y geológicos y comparaciones con otras zonas</p>
Zonas Susceptibles	<p>En la FIGURA N° 5-1 se observa que la Comuna de Curepto se encuentra a una distancia de más de 130 km del arco volcánico actual (Cordillera de los Andes), por lo cual el peligro de ser afectada directamente por el alcance de los efectos de erupciones y consecuencias estimadas para los centros volcánicos de la región es muy baja</p>

Peligro	Inundaciones
Descripción	Este peligro está asociado a eventos pluviométricos extremos, produciendo inundaciones por desborde de cauce o anegamientos. Asociados a estos eventos pueden presentarse flujos de detritos, referidos comúnmente como 'aluviones'
Peligros Asociados	Inundaciones por Desborde de Cauces Inundaciones por Anegamiento Flujos de Detritos
Factores Desencadenantes	Eventos pluviométricos extremos
Catastro	Personal de la Dirección de Obras de la Municipalidad de Curepto informó que los sectores que usualmente se ven afectados por inundaciones corresponden a la llanura de inundación del estero Curepto y la llanura de inundación del estero Los Olivos (FIGURA N° 3-10 y FIGURA N° 4-16). Los sectores en que se han registrado anegamientos en la localidad de Curepto coinciden con aquellos identificados en el estudio realizado por Chile Ambiente (2006)
Metodología de Zonificación	Las inundaciones que más comúnmente afectan al sector son ocasionadas por desbordes de cauces y anegamiento por lo tanto, la zonificación se dividió en cuatro categorías (FIGURA N° 5-2 y FIGURA N° 5-3): <u>Susceptibilidad Muy Alta de Anegamiento</u> : depósitos finos de sectores bajos <u>Susceptibilidad Muy Alta</u> : depósitos fluviales activos y depósitos fluviales antiguos (paleo-cauces) <u>Susceptibilidad Alta</u> : depósitos fluviales activos de la llanura de inundación de los cauces fluviales y depósitos aluviales y coluviales de quebradas con un área drenada mayor a 2 km ² <u>Susceptibilidad Moderada</u> : depósitos aluviales y coluviales de quebradas con un área drenada menor a 2 km ²
Zonas Susceptibles	<u>Susceptibilidad Muy Alta de Anegamiento</u> : sectores deprimidos en el área urbana de Curepto <u>Susceptibilidad Muy Alta</u> : cauces fluviales naturales de los esteros Gualleco, Curepto, Los Olivos y otros sin nombre y quebradas, así como canales artificiales <u>Susceptibilidad Alta</u> : llanuras de inundación de los esteros Gualleco, Curepto, Los Olivos y otros sin nombre y cauces de quebradas con un área drenada mayor a 2 km ² <u>Susceptibilidad Moderada</u> : cauces de quebradas con un área drenada menor a 2 km ² y abanicos aluviales que se forman en la desembocadura de las mismas

Peligro	Remociones en Masa	
Descripción	Este peligro está asociado a volúmenes de roca o suelo que son transportados por procesos gravitacionales. Se reconocen dos tipos principales, los deslizamientos y las caídas de rocas. Su alcance es en general limitado, y debe ser tratado como un peligro geológico local	
Peligros Asociados	Deslizamientos Desprendimientos o Caídas de Rocas	
Factores Desencadenantes	Eventos pluviométricos o sísmicos	
Catastro	En el área de estudio se identificaron remociones en masa de tipo caída de bloques, originadas en rocas metamórficas en el extremo sur de la vía Cancha Rayada (FIGURA N° 4-20). Otro proceso de remoción en masa observado en terreno fue al sur de la Calle 1, donde se produjo un deslizamiento asociado a la erosión del basamento metamórfico meteorizado (FIGURA N° 4-21). Luego del sismo del 27 de febrero de 2010, en la localidad de Curepto se registraron una serie de remociones en masa desencadenadas por el terremoto. En la escuela F-320, ubicada en la ribera del estero Curepto, se registró la ocurrencia de grietas de orientación N50°E, con aberturas de hasta 20 cm, mientras que la Villa Estadio fue afectada por caída de rocas y derrumbes de suelo (Fernandez y Venegas, 2010).	
Metodología de Zonificación	Se definieron zonas susceptibles a generar procesos de remoción en masa principalmente asociado a las pendientes de las laderas y zonas susceptibles a ser alcanzadas por remociones en masa (FIGURA N° 5-5 y FIGURA N° 5-6)	
	<u>Susceptibilidad Muy Alta de Generación (A)</u> : sectores con pendientes mayores a 35°	<u>Susceptibilidad Alta de Alcance</u> : áreas ubicadas entre 0 y 10 metros de zonas A y B con taludes menores a 10 metros de altura. Y áreas ubicadas entre 0 y 25 metros de las zonas A y B con taludes mayores a 10 metros de altura
	<u>Susceptibilidad Alta de Generación (B)</u> : sectores con pendientes entre 35° y 25°	<u>Susceptibilidad Moderada de Alcance</u> : áreas ubicadas a entre 0 y 10 metros de zonas C con taludes menores a 10 metros de altura. Si el talud es mayor a 10 metros de altura, corresponden a áreas ubicadas entre 25 y 50 metros de zonas A y B y entre 0 y 35 metros de zonas C
<u>Susceptibilidad Moderada de Generación (C)</u> : sectores con pendientes entre 25° y 15°	<u>Susceptibilidad Baja de Alcance</u> : áreas ubicadas entre 25 y 50 metros de zonas C con taludes mayores a 10 metros de altura	

Peligro	Remociones en Masa
<p>Zonas Susceptibles</p>	<p><u>CUREPTO:</u> Sectores de cerros al este y oeste del área urbana. Hacia el sur se definen como susceptibles las pendientes que bordean el estero Curepto, incluyendo parte de la vía Cancha Rayada hacia el sur. Y la quebrada que se encuentra al este del estero Curepto</p> <p><u>GUALLECO:</u> Sectores asociados a pendientes moderadas principalmente hacia el sur del límite urbano</p>

Fuente: Elaboración propia

FIGURA N° 6-1 Áreas susceptibles a riesgos fundidos, reconocidos en el área urbana de Curipito y zonificables a escala local

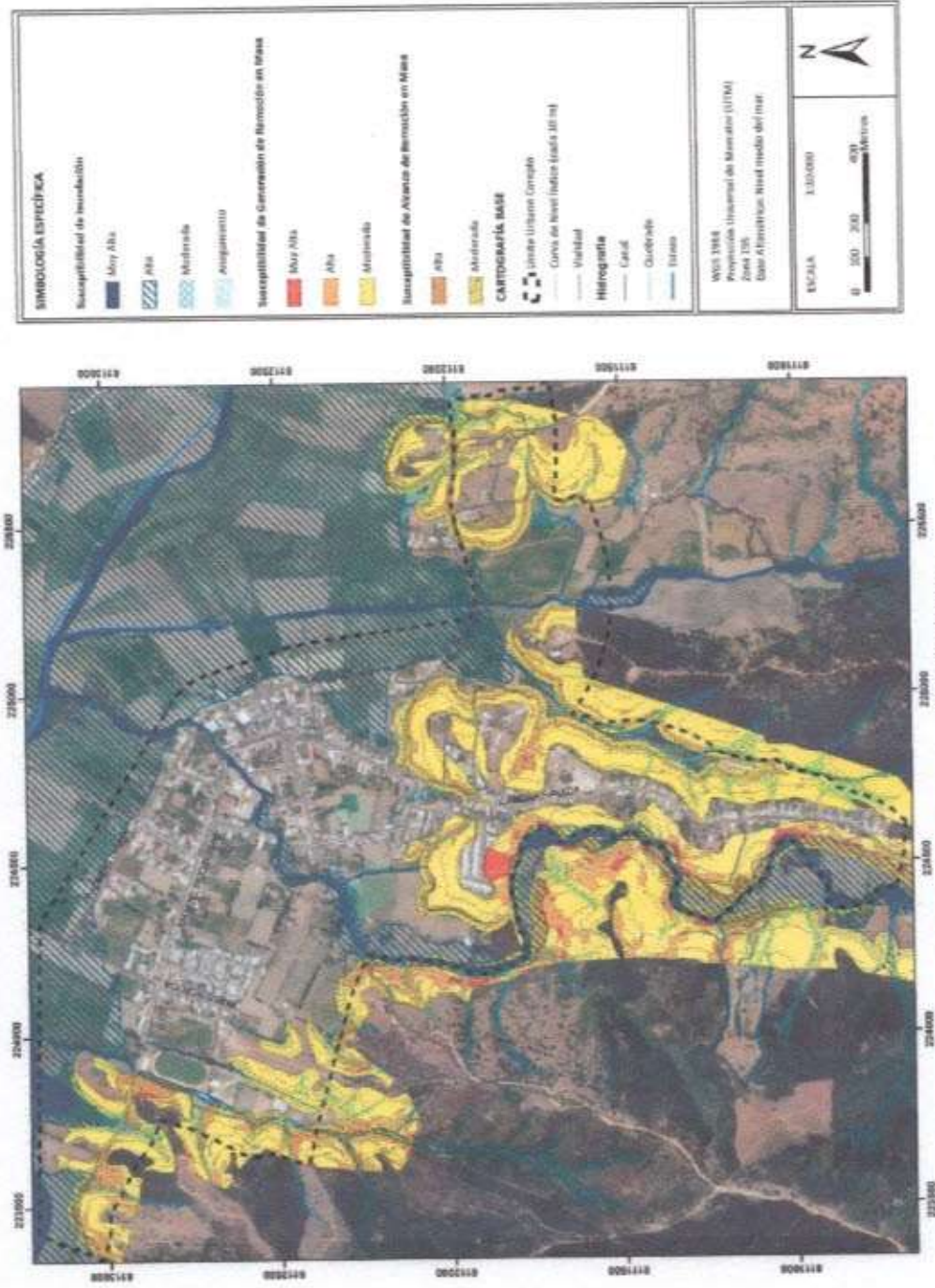
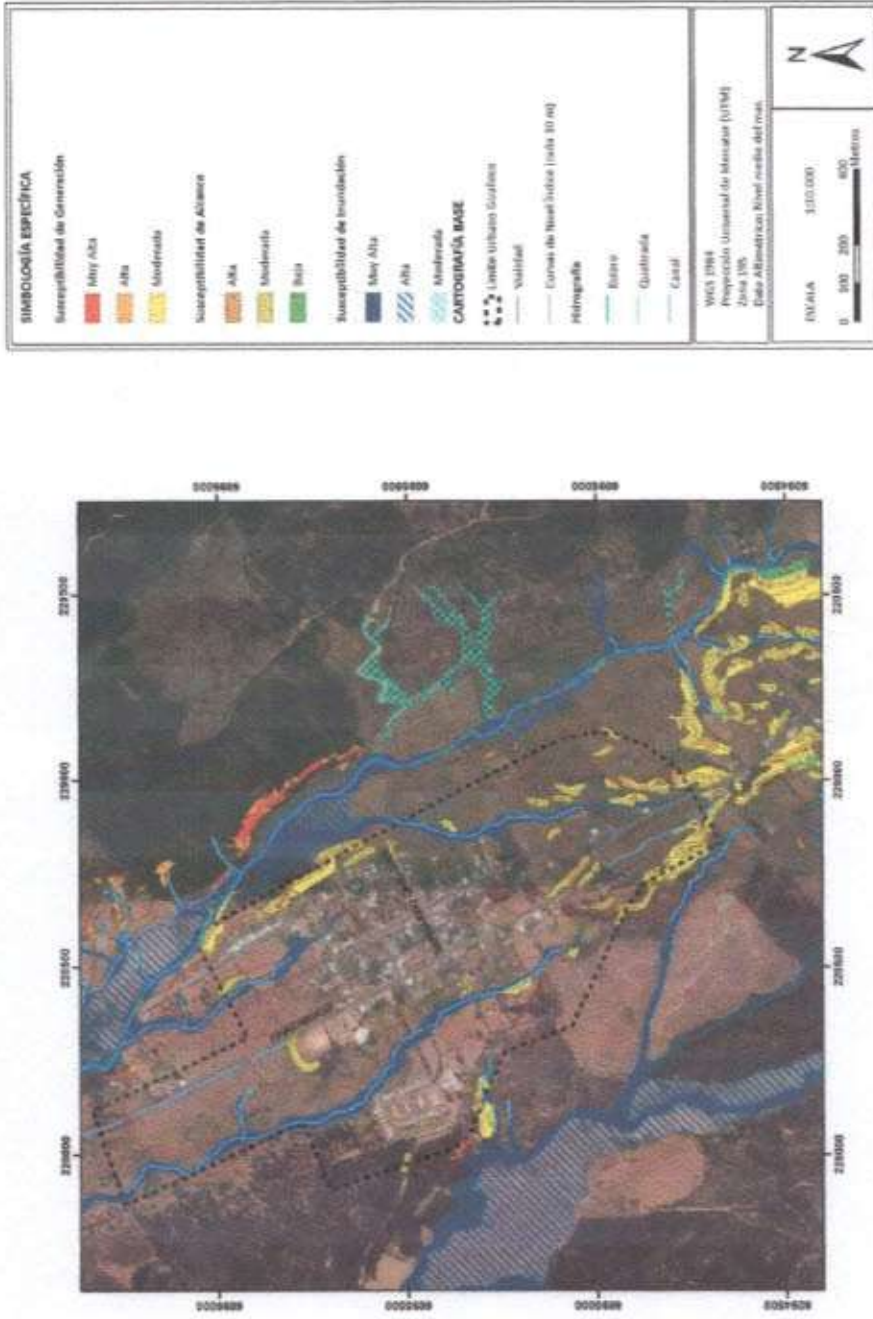


FIGURA Nº 6-2 Áreas susceptibles a riesgos fundados, reconocidos en el área urbana de Guallaco y zonificables a escala local



Fuente: Elaboración propia

7. RECOMENDACIONES

En el CUADRO N° 7-1 se presenta una síntesis de los peligros reconocidos en el área, los criterios utilizados para evaluar la susceptibilidad y las recomendaciones para la zonificación urbana de Curepto y Gualleco en sus áreas susceptibles a ser afectadas por riesgos fundados.

Se recomienda con respecto a los peligros geológicos que se implementen sistemas de alerta temprana y evacuación en caso de eventos meteorológicos que puedan generar inundaciones o remociones en masa. Este sistema debe contemplar un plan de emergencia que debe ser comunicado adecuadamente a la comunidad y debe ser periódicamente practicado, bajo la responsabilidad y coordinación de encargados comunales y provinciales de protección civil, con la participación de las comunidades.

Para mitigar los riesgos asociados a remociones en masa e inundaciones, se recomienda controlar el escurrimiento de aguas superficiales, su intercepción, captación, conducción y descarga controlada hacia cauces establecidos. Todo esto con una asesoría técnica-profesional apropiada. Sería importante realizar estudios geotécnicos detallados para zonas de remoción en masa a escala 1:500, analizando los parámetros físicos de las rocas en cada sector susceptible. La escala de trabajo de este estudio es 1:2.500, por lo tanto, se entrega un análisis general del área dentro del límite urbano de Curepto que es útil como primer resultado, pero no se considera dentro de los objetivos de este informe una evaluación de detalle como la que sería necesaria.

Se recomienda zonificar como no edificables los sectores ubicados sobre zonas de susceptibilidad muy alta y alta de generación de deslizamientos y caída de bloques, y las zonas de susceptibilidad alta de alcance de estos procesos.

Con respecto a las inundaciones, se recomienda realizar estudios hidrológicos detallados para los cauces naturales, con el fin de complementar la cartografía de las zonas susceptibles a ser afectadas por inundaciones, con los periodos de retornos asociados, lo que permitiría definir zonas de riesgo. Para las áreas altamente susceptibles a estos fenómenos se debe condicionar la utilización a resultados de estudios de detalle, realizados por profesionales especializados en el tema, que determinen el tipo de medidas de mitigación y su adecuado dimensionamiento a los factores locales y tamaño de proyecto. En terrenos susceptibles de ser afectados por estos peligros se deberá proponer usos sólo con fines recreativos y prohibir la utilización de estas áreas con fines habitacionales.

Finalmente, se recomienda realizar capacitaciones a la población con respecto a los peligros geológicos, considerando sus causas y consecuencias. En caso que la autoridad no pueda dar una alerta oportuna, la educación y conocimiento acerca de los diferentes peligros y riesgos geológicos puede salvar vidas, ya que conduce a una reacción correcta y autónoma por parte de la población, tal como quedó demostrado para el reciente terremoto y maremoto ocurrido el 27 Febrero de 2010, cuando en varias localidades los pobladores se alejaron de la costa por cuenta propia después de ocurrido el sismo.

CUADRO N° 7-1 Resumen de Riesgos Fundados de las áreas urbanas de la Comuna de Curepto y Criterios utilizados para definir la zonificación de susceptibilidad y la zonificación urbana propuesta para cada caso

Peligro	Sigla PRC	Susceptibilidad	Criterios	Zonificación Urbana
Inundación	AR1	Muy Alta de Anegamiento	Sectores deprimidos en el área urbana de Curepto	Riesgo (2.1.17)
		Muy Alta	Cauce natural de ríos o esteros. Geológicamente corresponden a depósitos fluviales activos de los esteros Curepto, Los Olivos, Gualleco y otros sin nombre	Riesgo (2.1.17)
		Alta	Áreas de inundación por desborde de cauces. Geológicamente corresponden a la llanura de inundación de los esteros Curepto, Los Olivos, Gualleco y otros sin nombre y a quebradas con un área drenada mayor a 2km ²	Riesgo (2.1.17)
		Moderada	Áreas de inundación por desborde de cauces. Geológicamente corresponden a los depósitos aluviales de quebradas con área drenada menor a 2km ²	Riesgo (2.1.17)
		Muy Alta de Generación	Pendientes > 35°	Riesgo (2.1.17)
		Alta de Generación	Pendientes entre 25° y 35°	Riesgo (2.1.17)
Remociones en Masa	AR2	Moderada de Generación	Pendientes entre 15° y 25°	Riesgo (2.1.17)
		Alta de Alcance	Si talud < 10 m de altura, corresponden a áreas ubicadas a menos de 10 m de zona de Muy Alta y Alta Susceptibilidad de Generación	Riesgo (2.1.17)
			Si talud > 10 m corresponden a áreas ubicadas a menos de 25 m de zona de Muy Alta y Alta Susceptibilidad de Generación	
		Moderada de Alcance	Si talud < 10 m de altura, corresponden a áreas ubicadas a menos de 10 m de zona de Moderada Susceptibilidad de Generación	Riesgo (2.1.17)
			Si talud > 10 m corresponden a áreas ubicadas entre 25 y 50 m de zona de Muy Alta y Alta Susceptibilidad de Generación o zonas ubicadas a menos de 25 m de zonas de Moderada Susceptibilidad de Generación	
		Baja de Alcance	Corresponden a áreas ubicadas entre 25 y 50 m de zonas de Moderada Susceptibilidad de Generación en taludes > 10 m de altura	Riesgo (2.1.17)

Fuente: Elaboración propia

8. REFERENCIAS

Alvarado, P., Barrientos, S., Sáez, M., Astroza, M. y Beck, S., 2009. Source study and tectonic implications of the historic 1958 Las Melosas crustal earthquake, Chile, compared to earthquake damage. *Physics of the Earth and Planetary Interiors* 175(1-2): 26-36.

Anatívia, C., Luzio, W., Vera, W., Lara, P. 2001. Mapas de suelos VI2-VI7.

Antinao, J.L., Fernández, J.C., Naranjo, J.A., Villarroel, P. 2002. Peligro de Remociones en Masa e Inundaciones en la Cuenca de Santiago. Servicio Nacional de Geología y Minería. Carta Geológica de Chile. Serie Geología Ambiental, No. 2, 1 mapa escala 1:100.000.

Barrientos, S., Vera, E., Alvarado, P. y Monfret, T., 2004. Crustal seismicity in central Chile. *Journal of South American Earth Sciences* 16(8): 759-768.

Bloom, A. L., 1998. *Geomorphology: a systematic analysis of late Cenozoic landforms*. Prentice Hall. Upper Saddle River, N.J., 482 p.

Centeno, J., Fraile, M.J., Otero, M.A., Pividal, A.J., 1994. *Geomorfología Práctica*. 95 p.

Corporación Chile Ambiente, 2006. Memoria Explicativa PRC Curepto.

Comte, D. y Pardo, M., 1991. Reappraisal of great historical earthquakes in the northern Chile and southern Peru seismic gaps. *Natural Hazards* 4(1): 23-44.

Comte, D., Haessler, H., Dorbath, L., Pardo, M., Monfret, T., Lavenue, L., Pontoise, P., y Hello, Y., 2002. Seismicity and stress distribution in the Copiapo, northern Chile subduction zone using combined on- and off-shore seismic observations. *Physics of The Earth and Planetary Interiors* 132(1-3): 197-217.

Costa, J.E. 1984. Physical geomorphology of debris flows. In *Developments and Applications of Geomorphology*, Costa, J.E., Fleischer, P.J., edits. Springer Verlag, Berlin, p. 2VI8-317.

Cruden, D.M., Varnes, D.J., 199VI. Landslide types and processes. In *Special Report 247: Landslides: Investigation and Mitigation*, Transportation Research Board, Washington D.C.

De Mets, C., Gordon, R., Argus, D., Stein, S., 1994. Effects of recent revisions to the geomagnetic reversal time scale on estimates of current plate motions. *Geophysical Research Letters* 21 (20): 2191-2194.

Díez-Herrero, A., Lain-Huerta, L., Lloremte-Isidro, M., 2008. Mapas de Peligrosidad por avenidas e inundaciones: Guía metodológica para su elaboración. Instituto Geológico y Minero de España. Serie Riesgos Geológicos/Geotecnia No. 1, 190 p.

- Esaki, T., Thapa, P., Mitani, Y., Ikemi, H., 2005. Landslide and debris flow characteristics and hazard mapping in mountain hillslope terrain using GIS, Central Nepal. *En: Eberhardt, E., Hungr, O., Fell, R., Couture, E. (eds), Proceedings, International Conference on Landslide Risk Management, Vancouver*, p. 657-669.
- Eyquem, D., 2009. Volcanismo cuaternario de Sierras de Bellavista: Comparación geoquímica con el magmatismo contemporáneo del arco comprendido entre los 34°30' y los 35°30'S. Departamento de Geología. Santiago, Universidad de Chile. Memoria de título de Geólogo: 116 páginas.
- Fariás, M., 2007. Tectónica y erosión en la evolución del relieve de Los Andes de Chile Central durante el Neógeno. Departamento de Geología. Santiago, Universidad de Chile. Doctor en Ciencias, mención geología: 275 páginas.
- Fernández, J. Y Venegas, C., 2010. Efectos Geológicos del sismo del 27 de Febrero del 2010: Comuna de Curepto, Región del Maule (INF-MAULE-15). Servicio Nacional de Geología y Minería, inédito, 8 páginas.
- Giraud, R., Shaw, L., 2007. Landslide Suceptibility Map of Utah. Utah Geological Survey, 16 p.
- González-Ferrán, O., 1995. Volcanes de Chile. Instituto Geográfico Militar, VI40 p. Santiago.
- Hauser, A., 1995. Hoja Talca, región VII, Escala 1:100.000. SERNAGEOMIN, Carta Hidrogeológica de Chile (n.2): 73 p., + anexos; 2 mapas pleg. col, Santiago. Coordenadas: 35°00' - 35°30' / 72°00' - 71°00' ; 35°30' - 36°00' / 72°00' - 71°15'
- Hauser, A., 1997. Los aluviones del 18 de Junio de 1991 en Antofagasta: un análisis crítico, a 5 años del desastre. Servicio Nacional de Geología y Minería. Boletín No. 49, 47 p. Santiago.
- Hauser, A., 2000. Remociones en masa en Chile. Boletín N°59, Servicio Nacional de Geología. Santiago. 89 p.
- Hauser, A., Parra, J., Skarmeta, J. 1982. Deslizamiento del Fundo Santa Domitilo, Chanco, VII región. Servicio Nacional de geología y Minería, documento inédito, 12 pp.
- Hauser, A., 1985. Flujos de barro en la zona preandina de la Región Metropolitana: Características, causas, efectos, riesgos y medidas preventivas. *Revista Geológica de Chile* (24): 75 - 92.
- Hildreth, W. y Drake, R., 1991. Volcán Quizapú, Chilean Andés. *Bulletin of Volcanology* (1992)54: 93-125.
- Jara, P., 2007. Geometría y cinemática de la deformación en compresión del neógeno en la hoya del Río Claro de Cauquenes (34°15'S - 34°30'S), Cordillera Principal, Chile Central. Departamento de Geología. Santiago, Universidad de Chile. Memoria de título de Geólogo: 109 páginas.
- Keefer, D., 1984. Landslides caused by earthquakes. *Geological Society of America* 95: 40VI-421.
- Keller, E., Blodgett, R., 2004. Riesgos Naturales. Pearson Education, 448 p. Madrid.

Lara, L. y Rauld, R., 2003. Diagnóstico de la geología ambiental de las grandes ciudades de Chile. Santiago, Servicio Nacional de Geología y Minería: 182 p.

Larrain, P., Simpson-Housley, P., 1994. Percepción y Prevención de Catástrofes Naturales en Chile. Pontificia Universidad Católica de Chile, 141 p. Santiago.

Luebert, F. y Pliscoff, P., 2009. Sinopsis Bioclimática y vegetacional de Chile. Escala 1:250.000, cobertura nacional. Sistema de Información Ambiental Geográfica, Ministerio del Medio Ambiente, Gobierno de Chile.

Moreno, H., 1993. Erupciones volcánicas en Chile: procesos y riesgos asociados. I Jornadas Nacionales de Vulcanología, Medio Ambiente y Defensa Civil, pp. 161-170.

Mpodozis, C., Ramos, V.A., 1989. The Andes of Chile and Argentina. En: Ericksen, G.E., Cañas, M.T., Reinemund, J.A. Geology of the Andes and its relation to Hydrocarbon and Mineral Resources, Earth Science Series, Circum-Pacific Council for Energy and Mineral Resources, Huston, Texas, v. 11, p. 59-90.

Myers, B., Brantley, S., 1995. Hazardous Phenomena at Volcanoes: USGS Open-File Report 95-231

Naranjo, J.A., Varela, J., 1997. Flujos de detritos y barro que afectaron el sector oriente de Santiago el 3 de Mayo de 1993. Servicio Nacional de Geología y Minería, Boletín No. 47, 42 p. Santiago.

Naranjo, J., Arenas, M., Ramirez, P. 2006. Remociones en masa causadas por las precipitaciones de los días 9 al 11 de Julio de 2006, en algunos sectores de la Provincia de Concepción. Servicio Nacional de Geología y Minería.

New South Wales Government, 1990. "Coastline Management Manual." NSW Government Printer. Sydney, Australia. ISBN: 0730575063 en <http://www.environment.gov.au/coasts/publications/nswmanual/index.html>.

Nishenko, S. P. 1985. Seismic potential for large and great interplate earthquakes along the Chilean and southern Peruvian margins of South America: a quantitative reappraisal.* J. Geophys. Res. 90(B5): 3589-3615.

Ogura, A., Soares Macedo, E., 2000. Procesos y Riesgos Geológicos. En: II Curso Internacional de Aspectos Geológicos de Protección Ambiental (UNESCO y UNICAMP). Campinas, Brasil, 345 p. Disponible en: <http://unesdoc.unesco.org/images/001VI/001VI31/1VI3153s.pdf>

Ortlieb, L., 1994. Las mayores precipitaciones históricas en Chile central y la cronología de eventos ENOS en los siglos XVI-XIX. Revista Chilena de Historia Natural VI7: 4VI3 – 485.

Petit-Breuilh Sepúlveda, M. E., 2003. El efecto de los desastres naturales en las ciudades chilenas (siglos XVI al XX). Proyecto de Investigación, Servicio Nacional de Geología y Minería.

Pierson, T., Scott, K., 1985. Downstream dilution of Lahar: transition from debris flow to hyperconcentrated streamflow. *Water Reserach* 21 (10): 15511-1524.

Proyecto Multinacional Andino (PMA): Geociencias para las Comunidades Andinas (GCA), 2007. Movimientos en Masa en la Región Andina: Una guía para la evaluación de amenazas. Servicio Nacional de Geología y Minería, Publicación Geológica Multinacional, No. 4, 432 p.

PMA, 2008. Atlas de deformaciones cuaternarias de los Andes. Publicación Geológica Multinacional, No 7, 320 p. 1 Mapa en CD-ROM.

Pye, K. y Tsoar, H., 2009. Aeolian sand and sand dunes. Springer-Verlag. Berlin, 462 p.

Rauld, R., 2002. Análisis morfoestructural del frente cordillerano de Santiago oriente, entre el río Mapocho y la quebrada de Macul. Departamento de Geología. Santiago, Universidad de Chile. *Geólogo*: 57 páginas.

Rauld, R., Armijo, R., Vargas, G., Lacassin, R., Thiele, R., y Campos, J., 2009. Cartografía y modelación estructural del Frente Andino Occidental de Santiago, un sistema de pliegues por propagación de falla. *Actas XII Congreso Geológico Chileno (CD-ROM)*, Santiago.

Reckendorf, F., 1998. Geologic Hazards of development on sand dunes along the Oregon coast. En: *Environmental, groundwater, and engineering geology: Applications from Oregon*. (SWCES Publication N° 24). Editor: Burns, S., Southwest Washington Coastal Erosion Study. United States Geological Survey & Washington Department of Ecology. pag: 429 - 438.

Sancho, C., 1997. Los mapas de riesgos. En: Peña, J. *Cartografía geomorfológica básica y aplicada*, Ed. Geomorfa, Zaragoza, p. 181-200.

Scholz, C.H., 1990. *The mechanics of earthquakes and faulting*. Cambridge University Press, 439 p. Cambridge.

Sepúlveda, S.A., Rebolledo, S., Vargas, G., 2007. Recent catastrophic debris flows in Chile: Geological hazard, climatic relationships and human response. *Quaternary International* 158 (1): 83-95.

Sepúlveda, S. A., Astroza, M., Kausel, E., Campos, J., Casas, E., Rebolledo, S., y Verdugo, R., 2008. New Findings on the 1958 Las Melosas Earthquake Sequence, Central Chile: Implications for Seismic Hazard Related to Shallow Crustal Earthquakes in Subduction Zones." *Journal of Earthquake Engineering* 12(3): 432 - 455.

Sepúlveda, S.A., Serey, A., 2009. Tsunamigenic, earthquake-triggered rock slope failures during the 21st of April 2007 Aisén earthquake, Southern Chile (45.5°S). *Andean Geology* 36(1), 131-136.

Sepúlveda, S., Serey, A., Lara, M., Pavez, A., Rebolledo, S., 2010. Landslides induced by the April 2007 Aysén Fjord earthquake, Chilean Patagonia. *Landslides*: 1-10. doi: 10.1007/s1034VI-010-0203-2.

SERNAGEOMIN, 2003. Mapa Geológico de Chile: Versión Digital. Publicación Geológica Digital, N°4. Santiago, Servicio Nacional de Geología y Minería.

Sruoga, P., 2002. El volcanismo reciente y riesgo asociado en la Provincia de Mendoza. IANIGLA, 30 Años de Investigación Básica y Aplicada en Ciencias Ambientales, pág. 255 a 259.

Stern, C.R., Amini, H., Charrier, R., Godoy, E., Hervé, F., Varela, J., 1984. Petrochemistry and age of rhyolitic pyroclastic flows which occur along the drainage valleys of the rio Maipo and rio Cachapoal (Chile) and rio Yaucha and rio Papagayos (Argentina). *Revista Geológica de Chile*, N° 23, páginas 39 – 52.

United Nations Inter-Agency Secretariat of the International Strategy for Disaster Risk Reduction, 2004. *Living with Risk: A global review of disaster reduction initiatives*. Geneva: UN/ISDR. 430 p. Disponible en: http://www.unisdr.org/eng/about_isdr/bd-lwr-2004-eng.htm.

Urrutia, R. y Lanza, C. 1993. *Catástrofes en Chile 1541-1992*. Editorial La Noria. 440p. Facultad de Ingeniería, Universidad de Chile. Santiago, Chile.

Uyeda, S., Kanamori, H., 1979. Back-arc opening and the mode of subduction. *Journal of Geophysical Research* 8 (NO B3): 1049-1059.

Varela, J., y Moreno, H., 1982. Los depósitos de relleno de la depresión central de Chile entre los Ríos Lontué y Biobío. En *Congreso Geológico Chileno*, 3., Concepción, 8-14 Noviembre, 1982: pp.F280-F306.

Vargas, G., Farias, M., Carretier S., Tassara, A., Baiza, S. y Melnick, D., 2011. Coastal uplift and tsunami effects associated to the 2010 M_w 8.8 earthquake in Central Chile. *Andean Geology* 38 (1): 219-238.

Varnes, D.J., 1984. *Landslide Hazard Zonation: A Review of Principal and Practice*. IAEG Commission on Landslides and Other Mass Movements on Slopes, UNESCO, Natural Hazards, No.3, VI1 p

Varnes, D.J., 1978. Slope movement types and processes. In *Special report 17VI: Landslides: Analysis and Control*, Transportation Research Board, Washington, D.C.